P. ANDREAS WERNER EBMER:

DIE BIENEN DES GENUS HALICTUS LATR. S. L. IM GROSSRAUM VON LINZ (Hymenoptera, Apidae)

Teil III Mit 19 Bildtafeln

LASIOGLOSSUM (EVYLAEUS ROB.)

Weibchen

Tabelle 1

1	Tergit 1 auf der gewölbten abschüssigen Basis mit sehr dichter, sehr
	feiner Querriefung, hier seidig matt
_	Tergit 1 mit polierter, stark glänzender Basis
2	Tergit 1 auf der abschüssigen Basis beiderseits mäßig dicht, auf dem
	horizontalen Teil überall sehr dicht, kräftig punktiert. Körper robust,
	plump. 9-10 mm. 22. obscuratum (Mor.)
-	Tergit 1 auf der abschüssigen Basis nicht, auf dem horizontalen Teil
	sehr fein und mäßig dicht punktiert. Körper schlank. 9–10 mm.
	21. nigripes (Lep.)
3	Mesonotum unregelmäßig, stellenweise zerstreut punktiert (15-25 μ /
	0,8-3,0), Zwischenräume mitten stark glänzend. Tergite 2-4 am End-
	rand mit einer schmalen, dichten weißgelblichen Wimperbinde, die auf
	Tergit 2 breit, auf Tergit 3 schmäler mitten unterbrochen ist.
	Gesicht viel kürzer als breit, nach unten stark verschmälert. Seitenfelder
	schwach chagriniert, Mittelfeld am Ende etwas konkav, Randlinie
	beiderseits nach unten gebogen. Hinterleib breit oval, glänzend, Tergite
	dicht punktiert. 8 mm. 17. marginatum (Br.)
_	Mesonotum dicht punktiert oder chagriniert. Tergite ohne solch aus-
	geprägte Wimperbinden 4
4	Senkrechte Stutzkante im oberen Teil abgerundet (Figur 69 b), Stutz
	unterhalb der oberen Querkante kräftig konkav, seine Fläche äußerst
	fein skulptiert, stark seidig schimmernd
	Senkrechte Stutzkante bis oben (an die Kanten der Seitenfelder an-
	schließend) gekantet. Stutz eben, manchmal kaum merklich konkav 6
5	Fühlergeißel unten schwarzbraun, gegen das Ende etwas heller. Hinter-
Ü	leib auf dem 2. Tergit mit spärlicher, auf den folgenden mit dichterer
	staubartiger, auf den Endteilen seidig wimperartiger, gelblicher Behaa-
	rung. Innerer Sporn der Hintertibien mit zwei sehr langen und einem
	kürzeren Dorn.
	Tergitenden ziemlich breit, nicht scharf abgesetzt rötlichgelb, am End-

	saum horngelb durchscheinend. Flügel gelblich getrübt, Adern und Stigma gelb. Punktierung des Mesonotums vorne 15–17 μ / 0,2–2,0, mitten 25 μ / 0,5–1,0, die Zwischenräume chagriniert, seidig schimmernd. Mittelfeld meist hinten scharf gerandet, mitten dicht, seitlich ebenso wie
	die kaum abschüssigen Seitenfelder weitläufiger, kräftiger gerunzelt, seidig matt. Tergit 2 mit Ausnahme der Beulen sehr fein gerieft, auf der Basis deutlicher, auf dem Endteil schwach, und dicht fein, auf dem Endteil sehr fein punktiert, unmittelbar davor eine schmale Zone punktlos, auf dem Endteil mitten häufig zerstreut punktiert. Tergit 3 ebenso, die Riefung deutlicher. 6-7 mm. 28. tricinctum (Schck.)
-	Fühlergeißel unten rötlichbraun bis rötlich gelbbraun. Tergit 2 mit mitten unterbrochener, 3 mit verschmälerter weißer Binde, 4 bis zum niedergedrückten Endteil weißlich beschuppt, staubartige Behaarung und Bewimperung weißlich. Bedornung des Tibiensporns etwas kürzer und feiner, drei längere und ein angedeuteter Dorn. Tergitenden blasser, hornweißlich, an der Basis mehr rötlich, breiter und \pm scharf abgesetzt entfärbt. Flügel fast wasserhell. Mesonotumzwischenräume hinten glatter und glänzender. Die Runzelung des Mittelfeldes feiner und flacher, nach dem Ende zu verschwindend. Riefung auf Tergit 2 kaum bemerkbar, am ehesten noch auf dem sehr breiten Endteil. 6-7 mm.
6	Tergit 3-5 (manchmal auf 3 schwächer) dicht beschuppt oder befilzt. Tergit 1 auf Basis, Wölbung und Beulen glatt und lebhaft glänzend, vor den Beulen und auf dem Endteil äußerst fein und sehr dicht, auf der Scheibe etwas kräftiger und weniger dicht flach punktiert. Mittelfeld bis ans gerandete Ende wellig gerunzelt. 6-7 mm. 26. damascenum (Pèr.)
	Tergite nur mit Basalbinden oder Basalflecken
7	Tergit 1-3 oder wenigstens eines von diesen ganz oder ausgedehnt rot
_	gefärbt
8	Kopf etwas schmäler als der Thorax, Gesicht langgestreckt, herzförmig. Tergite winzig fein punktiert, z. B. auf Scheibe von Tergit 15–8 μ. 8 mm. cf. 60. elegans (Lep.)
	Kopf so breit wie der Thorax. Tergite (absolut oder relativ zur Körpergröße) viel stärker punktiert. Rote Formen von calceatum, albipes, nigripes, euboeense
9	Mesopleuren in der oberen Hälfte fein, runzelig dicht bis dicht, aber deutlich punktiert, Zwischenräume oberflächlich chagriniert bis stellenweise glatt. Zwei kleinere Arten, 5-7 mm. cf. Tabelle 2, Nr. 3.
	Mesopleuren grob netzartig bis sehr fein chagriniert, ohne deutlich eingestochene Punkte
10	Tergit 1 auf der Scheibe nicht oder spärlich, oder wenn dichter, ungleichmäßig punktiert (Punktabstände 1,5- bis 3,0fache Punktgröße, auf der Scheibe mitten gemessen)
	Tergit 1 auf der Scheibe dicht und gleichmäßig punktiert

11	Stirrischildchen (und Basainairte des Crypeus) mit feiner, sehr dichter $(0,2-0,8)$, selten bis 1,0), gleichmäßiger Punktierung. Größere Arten von $(0,5-9)$ mm	12
-	Stirnschildchen (und Basalhälfte des Clypeus) zerstreuter (0,5-2,5) und	13
12	Propodeum (von oben gesehen) etwas kürzer als das Scutellum, Mittelfeld hinten weit gerundet, hier meist scharf gerandet, Seitenfelder weniger abschüssig und meist stark runzelstreifig. Gesicht so lang wie breit, im Gesamteindruck rundlicher, mit breiterem Scheitel, stärker konvexem äußerem Augenumriß und kürzerem Clypeus. Tergit 1 schwarz, stark glänzend, manchmal mit schwach blaugrauem Schein, der Endteil von den Seiten her (hinter den Beulen) weit nach der Mitte eingedrückt, aber mitten vorn nicht von der Scheibe abgesetzt. Punktierung auf Tergit 1 variabel. 8–9 mm.	.)
	Propodeum fast so lang wie das Scutellum, Mittelfeldfläche hinten schmäler, Seitenfelder stärker abschüssig und meist schwach gerunzelt. Gesicht um ein klein wenig länger als breit, im Gesamteindruck schlanker, mit schmalerem Scheitel, schwächer gebogenem äußerem Augenumriß und längerem Clypeus. Tergit 1 meist mit starkem graublauem Schein, der Endteil auch mitten vorn von der Scheibe abgesetzt. 7–8,5 mm. 18. albipes (F	'.)
	Bei der Unterscheidung dieser Arten sind alle Merkmale zusammen zu beachten, weil Einzelexemplare in einem Merkmal sich oft in der Varia- tionsbreite mit der anderen Art überschneiden.	
13	Tergit 1 (und die folgenden) mit breitem, eingedrücktem, auch mitten von der Scheibe abgesetztem Endteil. Dieser fein quergerieft, ziemlich dicht, sehr fein punktiert. Hinterleib elliptisch. Mesonotum je nach Körpergröße $16-28\mu/0.8-1.5$ punktiert, vorne deutlich, hinten nur ganz oberflächlich chagriniert bis glatt, daher hier glänzend. Gesicht kürzer als breit (z. B. l : b = $1.80:1.84$ bis $1.56:1.72$), rundlich, breiter Scheitel. Tergit 2 und 3 mit kleinen Basalflecken. $5-7$ mm.	.)
-	Tergit 1 am Ende nicht eingedrückt (außer hinter den Beulen), oder der Eindruck ist vorn mitten nicht scharf von der Scheibe abgesetzt. Hinterleib oval	4
14	Gesicht viel kürzer als breit (Figur 65 a). Mesonotum hinten nicht oder nur ganz schwach chagriniert und glänzend. Propodeum kaum länger als Postscutellum. Clypeus gröber $(24-45\mu)$ punktiert. Tergit 1 auf der Scheibe und Endteil reichlicher punktiert. Tibiensporn kurz fein und undeutlich gezähnelt. $6-7$ mm.	.)
_	Gesicht so lang wie breit bis länger (Figur 66 a, 72). Mesonotum hinten dicht chagriniert und seidig matt. Propodeum ungefähr so lang wie das Scutellum. Clypeus feiner $(16-25\mu)$ punktiert. Tergit 1 auf der Scheibe oder auch auf dem Endteil nicht oder spärlich punktiert. Tibiensporn deutlicher, länger gezähnt	5

15	dunkelbraun. Tergit 2 und 3 mit deutlichen Basalseitenflecken. Mittel- feldstruktur verworrener, im ganzen matt erscheinend. Tibiensporn mit 2-3 langen dünnen und einem, selten zwei kurzen Dornen. 6-7 mm. 31. fulvicorne (K.)
-	Gesicht länglicher, im Scheitel schmaler (Figur 72). Chitinfärbung braunschwarz bis schwarz. Tergit 2 und 3 nur mit Spuren von Basalflecken, die Tergitenden oft nur sehr undeutlich aufgehellt. Mittelfeld mit weniger verworrenen Längsrunzeln, in der Struktur sehr variabel. Tibiensporn mit 4-5 feinen, spitzen, schräggestellten kurzen Dörnchen. 6-7,5 mm.
16	Gesicht viel kürzer als breit, $l:b=q=0.95$ und kleiner (Figuren 71 b und 65 a)
-	Gesicht nur klein wenig kürzer als breit, $l:b=q=0.97$ und größer, bis länger als breit
17	Endteil von Tergit 1 mitten nicht oder kaum eingedrückt. Gesicht (Figur 65 a) nach unten zu rundlich verschmälert, der Scheitel gewölbter. Mittelfeld bis ans Ende gleichmäßig wellig gerunzelt. 6-7 mm. cf. 30. laticeps (SCHCK.)
	Tergit 1 (und die folgenden) mit niedergedrücktem Endteil 18
18	Kleine Art, 5-7 mm. Gesicht nach unten rundlich verschmälert, etwas kürzer als breit. cf. 27. pauxillum (Schck.)
-	Größere Arten, 8,5-10 mm. Gesicht (Figur 71 b) nach unten geradlinig verschmälert, der Scheitel flacher
19	Clypeus an der Basis seitlich matt, dicht fein punktiert, Zwischenräume chagriniert, Mittelfeldrunzlung schwach, nicht bis ans Ende reichend, hier flach konkav, chagriniert, matt. Tergitenden ziemlich schmal und vorn nicht scharf abgesetzt horngelb aufgehellt. Körperbehaarung graugelb, neben der Furche des 5. Tergites blaß rostgelb behaart. 8,5-10 mm.
	Clypeus auch an der Basis glänzend, zerstreut punktiert, glatte Zwischenräume. Mittelfeldrunzlung bis ans Ende ausgebildet. Tergitenden breiter, scharf abgesetzt und blasser, heller, in der Übergangszone zur Scheibe rötlich. Behaarung blasser, auf dem Abdomen weißlich, neben der Furche des 5. Tergits blaßgeblich. 9–10 mm. 23. subhirtum (Lep.)
20	Größer, $9-10$ mm. Gesicht deutlich länger als breit $(1:b=q=ca\ 1,03)$, nach unten zu etwas verschmälert, Scheitel zwischen Augenoberrand und Nebenauge zerstreuter $(0,3-1,5)$ punktiert, Zwischenräume glatt, glänzend. Tergit 1 schlank, die Beulen mitten ziemlich nahestehend, der niedergedrückte Endrand mitten von der Scheibe nicht deutlich abgesetzt.
	Mesonotumpunktierung relativ zur Körpergröße fein $(24-32 \mu)$, Zwischenräume besonders hinten glatt und glänzend. Mittelfeld am Ende nicht scharf erhaben gerandet, Seitenfelder stark abfallend.
	20. euboeense (Strd.)

- 21 Mesonotum stärker punktiert (24-35 μ), ganz vorn kaum feiner, etwas dichter; Zwischenräume hinten und auf dem Scutellum glatt und glänzend. Thorax (von oben gesehen) schlank. Gesicht nach unten zu kaum verschmälert. Stutzkante hinter den Seitenfeldern immer auffallend stark erhaben gerandet. 6,5-8 mm.
 25. lineare (Schck.)
 - Diese Art bildet in Südeuropa und im südlichen Mitteleuropa eine Arbeiterinnenform aus, die in der Variationsbreite die Weibchen der folgenden erreichen.
- Mesonotum feiner (Arbeiterin ca. 16-24 μ, Weibchen 20-28 μ) punktiert, vorne feiner und zerstreuter. Zwischenräume hinten und auf dem Scutellum durchschnittlich bei den Weibchen ganz leicht chagriniert, bei den Arbeiterinnen glatt und glänzend. Thorax (von oben gesehen) kürzer und breiter. Gesicht nach unten zu etwas stärker verschmälert. Stutzkantenausbildung variabel. 5-7 mm.
 27. pauxillum (Schck.)

Tabelle 2

- 1 Mesonotum dicht fein $(15-25\,\mu/0.3-1.2)$ punktiert, die Zwischenräume überall dicht, sehr matt chagriniert. Gesicht länglich oval (Figur 72). Mesopleuren fein gerunzelt, seidig matt. 6-7.5 mm. cf. 32. nigrum (Vier.) Selten hier auch fulvicorne (K.), Tabelle 1, Nr. 15, bei der sich die kleinen Basalflecken leicht abreiben und die Tergitenden undeutlich aufgehellt sein können. Gesicht kürzer (Figur 66 a).
- Mesopleuren, meist auch das Hypoepimeralfeld, \pm grob gerunzelt bis chagriniert, nur ganz selten hinten einige rund eingestochene Punkte .
- 3 Mesonotum zerstreuter $(15-22\,\mu/1-3)$ punktiert. Horizontaler Teil des Propodeums (0,29 mm) merklich länger als das Postscutellum (0,19 mm). Tergit 1 auf der Scheibe zerstreut, äußerst fein $(5-8\,\mu/2-6)$ punktiert, auf dem gewölbten polierten Endteil nur seitlich einzelne Punkte, Tergit 2 mit deutlicherer, an der Basis dichter, nach dem Endteil zu sehr spärlicher Punktierung, Zwischenräume auf Basis und Endteil, zum Teil auch auf der Scheibe fein quergerieft. Tergit 2 seitlich, 3-4 querüber am Ende des Endteils dicht weißlich gewimpert, Endteil im übrigen mäßig dicht behaart; Tergit 2 ohne weißen Basalfleck. 6-7 mm.

36. minutulum (Schck.)

 Mesonotum dichter (15-20 μ/1,0-1,5) punktiert. Horizontaler Teil des Propodeums (0,20 mm) nur etwas länger als das Postscutellum (0,17 mm). 4

Tergit 1 auf der Scheibe seitlich der Mitte mit zwei dichter $(5-10\,\mu\,/\,1-3)$ punktierten Zonen, ebenso auf dem Endteil, auf Tergit 2 dicht punktiert, Zwischenräume ganz bei der Basis kaum erkennbar querchagriniert, sonst glatt. Tergit 2 an der Basis seitlich mit kleinem weißem Fleck, auf dem Endteil seitlich, 3-4 auf dem ganzen Endteil dicht blaß gelblichgrau gewimpert, bei seitlicher Beleuchtung als breite Binde erscheinend. 5-5,5 mm.

Beide Arten sehen habituell pauxillum (Schck.) ähnlich, unterscheiden sich von diesen neben der Mesopleurenstruktur unter anderem durch den mitten nicht abgesetzten Endteil von Tergit 1.

- 4 Tergit 1 auf der abschüssigen Basis sehr fein (oft schwer sichtbar) quergerieft, ganz matt, hier seidig lang, eng anliegend, weißlich behaart. (Struktur der Seitenfelder und des Stutzes manchmal so verworren, daß eine Querkante hinter den Seitenfeldern vorgetäuscht werden kann.) 6,5-8 mm.
- Abschüssige Basis auf Tergit 1 ohne Querriefung; wenn oben auf der Wölbung eine ganz leichte angedeutet ist, dann zumindest im unteren Teil zwischen den Punkten glatt und Behaarung anders

5

7

- 6 Horizontaler Teil des Propodeums lang (Scutellum: Propodeum ~ 0,44: 0,30); Struktur sehr variabel, normalerweise mitten mit verworrenen Runzeln, diese gegen die Seitenfelder verloschen, dann am Ende der Seitenfelder wieder stärker und einzelne erhabene feine Längskiele laufen über die seitliche Stutzkante auf die Stutzfläche hinab. Mesonotum ungleichmäßig, zerstreuter punktiert (0,5-3,0). Tergit 1 am Endteil mitten gröber, dichter (ca. 12 μ/0,5-1,0) punktiert. Hinterleib flacher, schlanker. Tergit 2-3 an der Basis seitlich mit kleinen weißen Haarflecken. 5,5-8 mm.
- Mittelfeld nimmt die ganze horizontale Propodeumfläche ein, diese ist kürzer (Scutellum: Propodeum ~ 0,34:0,18), halbmondförmig, rings scharf erhaben umrandet, mit kräftigen, scharfen Längskielen, zum Teil mit kurzen Querkielen. Mesonotum gleichmäßiger, dichter punktiert (0,2-0,8). Tergit 1 am Endteil mitten feiner, zerstreuter punktiert (7-10 µ/2-3); Hinterleib kurz, breit oval, gewölbt. Tergite ohne basale Seitenflecken. 6 mm.
- 7 Schläfen dicht fein punktiert. Hinterleib langgestreckt, Endteile breit, deutlich abgesetzt, Tergit 2 an der Basis eingedrückt; Tergit 1-2 fast punktlos, poliert, spiegelglatt. Tergit 3 bis auf die Borstenreihe an der Basis des Endteils kahl, Tergit 4 spärlich behaart. Mittelfeld am Ende nicht scharf gerandet. 8 mm.
 39. laeve (K
- Schläfen scharf und tief längsgefurcht (Abstand der erhabenen Leisten 0,05-0,08 mm, Tiefe der Furchen ca. 0,03 mm). Hinterleib kurz und ge-

drungen, Endteil von Tergit 1 und Basis von Tergit 2 nicht eingedrückt; Tergit 1 an der Basis des Endteils und Tergit 2 fein und zerstreut, aber deutlich punktiert. Tergit 3-4 reichlich behaart. Mittelfeld am Ende scharf gerandet. 6-7 mm. 41. puncticolle (Mor.)

Bei der nahe verwandten villosulum (K.) kommen vereinzelt Weibchen vor, deren Stutz so grob gegen die Seitenfelder gerunzelt ist, daß eine Stutzkante vorgetäuscht wird. Solche lassen sich durch die fein punktierten Schläfen unterscheiden, die dazwischen nur ganz oberflächliche seichte Längskiele haben und die Schläfen ganz leicht gerieft erscheinen lassen.

Tabelle 3

1	Tergit 1 auf der Basis oder auch auf der gewölbten Mittelpartie dicht quergerieft, hier deswegen mit geringerem, seidigem Glanz (diese Riefung ist bei verschmutzter Oberfläche kaum zu erkennen)	2
-	Tergit 1 daselbst poliert	8
2	Gesicht nach unten wenig verschmälert, Augeninnenabstand unten nur wenig kleiner als oben (z. B. Aui o : $u=0.85:0.72$ bis unten größer als	
	oben). Clypeus sehr kurz (z. B. h = 0,22), ähnlich wie Figur 98 b	3
~	Gesicht nach unten deutlich verschmälert bis lang eiförmig (z. B. Aui o: $u = 1,18:0,92$ bis noch mehr verschmälert), Clypeus länger (z. B. $h =$	
	0.38 und größer)	4
3	Körper braunschwarz. Kopf länglicher; Augeninnenabstand nach unten wenig, aber deutlich verschmälert. Vordertibien und Tarsen einheitlich dunkelrotbraun. Pronotumecken kaum heller als die Körperfarbe.	
	4-4,5 mm. 75. glabriusculum (Mo	R.)
	Körper dunkelbraun, mit grünlichem Bronzeschimmer. Kopf kubischer; Augeninnenabstand unten, besonders bei großen Exemplaren, größer als oben, nur bei ganz kleinen Exemplaren Aui o : $\mathbf{u}=0.92:0.96$. Vordertibien hellbraun, auf der Außenkante mit breitem, hellgelbem Längsstreif. Tarsen hellgelb. Pronotumecken weißgelb. $4-6$ mm. 76. mandibulare (Mo	r.)
4	Mesopleuren grob runzlig chagriniert, völlig matt, höchstens ganz unten	
	einige undeutliche Punkte	5
	Mesopleuren mit deutlich scharf eingestochenen Punkten, Zwischen- räume ± glänzend	6
~	Mesopleuren nur oben mit einzelnen winzigen Punkten und Runzeln, unten weitgehend glatt und sehr stark glänzend	7
5	Tergit $1-3$ rot. Gesicht länglich herzförmig, Clypeus außer der Punktierung mit Längsfurchen. Mesonotumpunktzwischenräume weitgehend	
	chagriniert. 7-8 mm. 60. elegans (Le	P.)
~	Tergite ohne Rot. Gesicht rundlich, nach unten gleichmäßig verschmälert, Clypeus nur punktiert, höchstens einige Punkte schräg eingestochen. Punktzwischenräume auf Mesonotum nur ganz vorn chagriniert. 7–8 mm. 42. truncaticolle (Mo	R.)

ь	= 2,32:1,44). Mesonotum und Mesopleuren grob eingestochen, Zwischen-	
	räume glatt, stark glänzend. Endteil von Tergit 1 punktlos, fein quer-	
	gerieft. Rotfärbung der Tergite in der Ausdehnung variabel. 6,5-7 mm. 63. dolichocephalum (B	- ++ \
	-	LU.)
_	Kopf nur wenig schmäler als der Thorax, Gesicht kurz eiförmig (1:b =	
	1,36:1,24). Mesonotum und Mesopleuren sehr dicht, fein punktiert, Zwi-	
	schenräume chagriniert, matt. Endteil von Tergit 1 (wie auf der Scheibe)	
	fein punktiert. 4-5 mm. 67. griseolum (M	OR.)
7	Mesonotum mit mäßig feiner, mitten zerstreuter (15-30 μ / 1-3), un-	
	scharfer Punktierung. Tergit 1 auf den Seiten sehr dicht, sehr fein, aber	
	deutlich punktiert. Tergit 4 bis zum Endteil fast filzig dicht grob, kurz,	
	weiß behaart, die Borsten an der Basis des Endteils von Tergit 3 und 4	
	lang und zahlreich, weißlich; ebenso die Beborstung der Tergite seitlich.	
	Körperbehaarung viel reichlicher und länger, Flügel milchigweiß,	
	Adern und Stigma blaßgelb. 6-7 mm. 44. brevicorne aciculatum (B	LÜ.)
_	Mesonotum mit feiner, scharf eingestochener, unregelmäßig dichter	
	$(8-15\mu/2-5)$ Punktierung. Tergit 1 seitlich spärlicher und flacher	
	punktiert. Tergit 4 mit weißer Basalbinde, dahinter unauffällig fein	
	gelblich behaart. Beborstung an der Basis des Endteils von Tergit 3 und	
	4 und längs der Tergite seitlich spärlicher, kürzer, feiner, gelblich. Be-	
	haarung des Körpers feiner, kürzer, weniger dicht. Flügel schwach grau-	
	lich getrübt. Adern und Stigma braun. 6-7 mm. 45. limbellum (M	OR.)
8	Clypeus (außer der Punktierung) mit zerstreuten, unregelmäßigen fla-	
	chen Längsfurchen und Körpergröße 6-8 mm, selten bis 5,5 mm	
	herab	9
	Clypeus ohne Längsfurchen (höchstens seitlich einige schräg eingesto-	
	chene Punkte, die Längsfurchen vortäuschen können, so z. B. bei pere-	
	grinum, illyricum, mesosclerum, brevicorne u. a.). Wenn undeutliche	
	Längsfurchen vorhanden, dann Körpergröße 4-5 mm	16
9	Mesopleuren mit feiner, sehr dichter Punktierung (oben vorne $15-20\mu$ /	
-	0,3-1,0), Zwischenräume unten dicht chagriniert	10
	Mesopleuren mit kräftiger Punktierung (oben vorne 25–40 u/2–5,	
	manchmal bis 0,5 herab), die Zwischenräume unten vorne glatt und	
	glänzend	13
10	Mesonotum zwischen den Punkten glatt und stark glänzend, nur ganz	10
	vorne vereinzelt chagriniert. Tergit 1 auf der Scheibe mitten nur mit	
	einzelnen weit zerstreuten Punkten, seitlich dichter punktiert, Endteil	
	seitlich dichter punktiert, mitten meist auch punktlos. Gesicht durch-	
	schnittlich kürzer (z. B. $1:b=1,68:1,61$ und kürzer). Tergit 2 und 3	
	1 0 0 10 7 10 1	11
		11
	Mesonotum zwischen den Punkten fein chagriniert, matt. Tergit 1 auf	
	der Scheibe und Endteil dicht fein punktiert, nur die Basis und die	
	Beulen punktlos und glänzend. Gesicht durchschnittlich länger (z. B.	
	1:b = 1,80:1,66). Tergit 2 und 3 an der Basis mit Spuren weißer	4.0
	Seitenflecke	12

- 11 Mesonotum seitlich (zwischen Tegulae und Notaulix) gröber punktiert $(25-33\,\mu)$, Punktzwischenräume glatt. Mittelfeld kürzer $(0,20-0,22\,\text{mm})$, am Ende mit einer scharf erhabenen Kante. Gesicht durchschnittlich länger, $1:b=q \le 1,018.$ 5,5-6 mm. 59. transitorium transitorium (Schck.)
- Mesonotum seitlich feiner punktiert $(16-20\,\mu)$, Punktzwischenräume matt. Mittelfeld länger $(0.24-0.28\,\text{mm})$, am Ende abgerundet bis ganz leicht wulstig. Gesicht durchschnittlich kürzer, $l:b=q\geq 1.018.$ 5,5 bis 6 mm. 59. transitorium planulum (Pér.)
- 12 Mesonotum fein punktiert $(15-20\,\mu/0,5-1,0)$. Gesicht oberhalb der Fühler fein punktiert $(17-25\,\mu)$. 6-7 mm. 66. punctatissimum (Schck.)
- Mesonotum gröber punktiert, Zwischenräume aber kleiner $(20-28\,\mu/0.3-0.8)$. Gesicht oberhalb der Fühler gröber punktiert $(24-28\,\mu)$. 6-7 mm. 65. angusticeps (Perk.)
- 13 Kopf unten und Schläfen scharf längsgerieft ohne Punktierung. Mittelfeld auch mitten mit groben Längsstreifen, die in der Mitte etwas verworren sind, sich aber nicht in feiner Granulierung auflösen. Gesicht (1:b=2,12:1,80 bis 1,88:1,56) länglich, leicht viereckig wirkend; Augeninnenrand nur wenig ausgerandet, unten nur wenig schmäler als oben. Mesopleuren oben sehr grob, sehr unregelmäßig zerstreut punktiert (ca. $30\,\mu/2-5$). Mesonotum grob punktiert ($25-40\,\mu/0,5-1,5$), Zwischenräume nur ganz vorne schwach chagriniert, sonst glatt und stark glänzend. 6-7 mm.
- 14 Gesicht so lang wie breit bis wenig länger als breit (l:b = $q \ge 1,06$), oberer Augenaußenrand geht gleichmäßig halbkreisförmig gekrümmt in den Scheitel über.
 - Mesopleuren dicht punktiert (0,5-1,0). Mesonotum grob, gleichmäßig dicht, Scheibe auf Tergit 1 fein, sehr spärlich punktiert. Stirnschildchen im Profil stark vorgewölbt. 6,5-7 mm. 61. convexiusculum (Schck.)
- Gesicht deutlich länger als breit, $l:b=q\le 1,16$, Schläfen (von vorn gesehen) leicht nach oben verlängert und Scheitel abgeflacht 15
- 15 Gesicht schlanker (z. B. 1:b=2,24:1,64), nach unten weniger verschmälert; Kopf viel schmäler als der Thorax, Mesonotumpunktierung einheitlich in der Stärke $(32-40\,\mu)$, Zwischenräume glatt, höchstens ganz vorne chagriniert. Mesopleuren ungefähr so stark wie Mesonotum punktiert, doch mitten und hinten viel dichter (0,1-0,3). Tergit 2 und 3 ohne weiße Basalhaarflecken. 6-7 mm. 64. clypeare (Schck.)
- Gesicht kürzer (z. B. 1 : b = 2,28 : 1,88 oder noch kürzer), nach unten stärker verschmälert; Kopf nur wenig schmäler als der Thorax. Mesonotumpunktierung aus groben und feinen Punkten gemischt (\pm 15 μ und \pm 30 μ), Zwischenräume bis hinten leicht chagriniert, matt. Mesopleuren sehr zerstreut punktiert (1,5-4,0). Tergit 2 und 3 bei frischen Exemplaren an der Basis mit kleinen weißen Haarflecken. 7-8 mm.

62. buccale (Pér.)

16	Mesopleuren sehr grob punktiert, \pm 30 μ und gröber
-	Mesopleuren feiner, bis 20μ punktiert
17	Mesonotum ungewöhnlich grob, grubenartig punktiert (35 $-$ 48 μ). Meso-
	pleuren oben ebenso punktiert, unten grob netzartig gerunzelt. Tergi-
	tenden völlig schwarz.
	Gesicht sehr kurz, $1:b=1,71:1,83$. Mittelfeld am Ende scharf erhaben
	gerandet. Körperfarbe tiefschwarz. 6 mm. 53. quadrisignatum (Schck.)
_	Mesonotum nicht gar so grob punktiert $(20-35\mu)$. Mesopleuren ent-
	weder bis unten punktiert, oder unten ohne Punkte, hier fein gerunzelt.
	Tergitenden schmal rötlich bis gelblich aufgehellt
18	Mittelfeld konkay, am Ende mit ca. 30 µ breitem, glänzendem Wulst.
10	Gesicht länger, $1:b = 1.74:1.77$. Mesonotum zerstreuter punktiert
	(0,5-2,0), die Punktränder wie überwallt, nach innen abgerundet.
	6-6.5 mm. 56. peregrinum (BLÜ.)
	Mittelfeld am Ende scharf gerandet oder gekantet, ohne glänzenden
	Wulst. Gesicht kürzer, z. B. 1: b = 1,72:1,81. Mesonotum dichter punk-
40	tiert (0,1-1,0), die Punkte scharf eingestochen
19	Mittelfeld ohne Begrenzung zu den Seitenfeldern, hinten in der Mitte im
	Ubergang zum Stutz rechtwinklig gekantet. Mesopleuren im unteren
	Drittel ohne Punkte, nadelrissig chagriniert. Stigma ockergelb. 6 mm.
	54. marginellum (Schck.)
-	Mittelfeld rings mit erhabener Randleiste. Mesopleuren bis unten punk-
	tiert, Zwischenräume stark glänzend. Stigma braunschwarz. 5,5 mm.
	56. illyricum n. sp.
20	Mittelfeld am Ende scharf gerandet, gekantet oder durch einen äußerst
	schmalen (20-30 μ), \pm glänzenden Wulst begrenzt und Gesicht
	breiter als lang
-	Mittelfeld am Ende abgerundet. Wenn gerandet, gekantet oder mit
	Wulst, dann Gesicht länger als breit bis so lang wie breit
21	Mesopleuren oben punktiert, wenn auch sehr fein oder runzlig dicht 22
	Mesopleuren chagriniert, ohne jegliche Punkte
22	Mesopleuren ganz vorne nadelrissig chagriniert, oben fein punktiert,
	nach unten weitgehend punktlos, glatt, sehr glänzend. Mittelfeld nur am
	Ende scharf erhaben gerandet, Runzeln stark verästelt. Mesonotum un-
	regelmäßig punktiert (0,5-3,5), Zwischenräume vorn leicht chagriniert.
	Gesicht Figur 78 c. 5,5-6 mm. 50. patulum (Vach.) östliche Rasse
_	Mesopleuren oben ca. 25 μ, sehr unregelmäßig runzlig dicht punktiert,
	bis ganz unten stark chagriniert, völlig matt. Mittelfeld mit erhabener
	Kante, Längsrunzeln ohne deutliche Verästelung. Mesonotum regel-
	mäßiger punktiert (0,8-1,5), Zwischenräume glatt. Gesicht Figur 87 b.
	6 mm. 49. denislucum (STRD.)
_	,
-	Mesopleuren deutlich, sehr dicht $(0,1-0,3)$ punktiert, die schmalen Run-
-	Mesopleuren deutlich, sehr dicht $(0,1-0,3)$ punktiert, die schmalen Runzeln glänzend; nach unten Punktierung undeutlicher, im unteren Drittel
_	Mesopleuren deutlich, sehr dicht $(0,1-0,3)$ punktiert, die schmalen Runzeln glänzend; nach unten Punktierung undeutlicher, im unteren Drittel nur mehr chagriniert, matt. Mittelfeld konkav, am Ende mit schmalem
	Mesopleuren deutlich, sehr dicht $(0,1-0,3)$ punktiert, die schmalen Runzeln glänzend; nach unten Punktierung undeutlicher, im unteren Drittel

23	Endteil von Tergit 2 (zwischen den Punkten) fein quergerieft. Tergitenden 1-3 deutlich, breit, gelblich durchscheinend
_	Endteil von Tergit 2 ohne Querriefung. Tergitenden 1-3 nur undeutlich aufgehellt
24	Größere Art, 7–8 mm. Gesicht viel kürzer als breit ($l:b=1,88:2,24$), unten stark verschmälert. Tergit 1 mit breit niedergedrücktem Endteil, auf der Scheibe zerstreut, auf dem Endteil mit Ausnahme der glatten Mitte dicht fein punktiert, Zwischenräume mit öligem bläulichem Schimmer glänzend.
	cf. Lasioglossum (Lasioglossum) pallens (Br.), Teil II, Nr. 14
	Kleinere Art, 5-7 mm. Gesicht nicht gar so kurz (l:b=1,56:1,72 oder noch länger), nach unten weniger verschmälert. Niedergedrückter Endteil von Tergit 1 schmäler, auf Scheibe und Endteil zerstreut punktiert. cf. 27. pauxillum (Schck.)
25	Tergit 1 auf der Scheibe sehr zerstreut, unregelmäßig punktiert $(10-20\mu/0.5-5.0$ und noch zerstreuter); der nur hinter den Beulen undeutlich abgesetzte Endteil im Kontrast zur Scheibe ebenso stark, aber dicht und regelmäßig $(0.2-1.0)$ punktiert. Tergit 2 samt Endteil und Scheibe von Tergit 3 ebenfalls dicht, gleichmäßig, scharf eingestochen punktiert. Gesicht durchschnittlich etwas kürzer, scharf eingestochen punktiert, Stirnschildchen sehr dicht $(0.1-0.5)$ punktiert. 4.5-6 mm.
_	Tergit 1 auf der Scheibe und Endteil mit winziger, sehr unregelmäßiger, zerstreuter Punktierung (8–15 μ /1,5–10). Tergit 2 an der Basis etwas stärker und dichter, sonst samt Endteil und Scheibe von Tergit 3 ebenfalls sehr oberflächlich, fein, sehr zerstreut punktiert. Gesicht durchschnittlich etwas länger, flacher eingestochen punktiert, Stirnschildchen zerstreuter (0,5–1,0) punktiert. 5–6 mm.
	50. patulum (VACH.) westliche Rasse
26	Gesicht (wenn auch oft nur sehr wenig) kürzer als breit. (Genaue Messung zur Vermeidung einer optischen Täuschung ist erforderlich) 27
27	Gesicht länger als breit bis so lang wie breit
_	Weibchen 5-6 mm, Arbeiterinnen 4-5 mm. 74. politum (Schck.) Clypeus nicht so breit, Gesicht rundlich, nach unten verschmälert 28
28	Größere Art, 7,5-8 mm. Mesonotum sehr unregelmäßig punktiert (0,5-4,0), größere und kleinere Punkte gemischt, Zwischenräume außer ganz vorn, glatt, sehr stark glänzend. Tergit 1 bis auf winzige erhabene haartragende Punkte punktlos, eben-

	Tails graft und sent stark granzend. Mesophetren unter under under
	flächlich skulptiert (Punkte und Runzeln), glänzend. Hintertibien am
	Ende und Hintertarsen meist rostrot, bei manchen Exemplaren aber
	auch völlig dunkel. 38. quadrinotatulum (Schck.)
	Kleinere Arten, bis 7 mm. Mesonotum dichter und regelmäßiger punk-
	tiert, wenn Abstände bis vierfaches der Punktgröße, dann die Punkte
	in ihrer Stärke gleichmäßig
29	Mesopleuren unten hinten stark glänzend, weitgehend ohne oder nur
45	mit oberflächlicher Skulptur
_	Mesopleuren unten hinten matt bis schwach seidig glänzend, nahezu bis
	ganz unten chagriniert
30	Die Runzeln des Mittelfeldes erreichen nicht das Ende des horizontalen
	Teiles des Propodeums. Punktzwischenräume auf Mesonotum glatt,
	glänzend. Tergite 2 und 3, manchmal auch 4, mit weißen Basalhaar-
	flecken. 5,5 mm. 72. tarsatum (Schck.)
_	Die Runzeln des Mittelfeldes reichen zumindest bis ans Ende des hori-
	zontalen Propodeumteiles, ragen meist auch seitlich weit in die Seiten-
	felder hinein. Punktzwischenräume auf dem Mesonotum entweder mit
	öligem, leicht bläulichem Schein, dann Punkte zerstreut stehend (1–4)
	oder Zwischenräume deutlicher chagriniert, dann dichter (0,5-1,5) punk-
	tiert. Tergite ohne Basalhaarflecken. 6–7 mm. 43. villosulum (K.)
31	Tergit 2–4 am Endrand seitlich mit bindenartig dichter weißlicher
	Bewimperung, auf Tergit 4 die Wimperbinde nur schmal unterbrochen
	(die Borstenreihe an der Basis des Endteiles der Tergite ist zusätzlich
	wie üblich vorhanden).
	Tergit 2 und 3 an der Basis seitlich mit weißem Filzfleck. Tergit 1 mit
	punktlosem, poliertem, gewölbtem Endteil, Tergit 2 fein, an der Basis
	sehr dicht, nach dem Ende zu zerstreuter punktiert. Gesicht rundlich,
	Stirnschildchen dicht chagriniert und zerstreut fein punktiert, glanzlos.
	Mesonotum auf chagriniertem Grund dicht fein punktiert. Mittelsegment
	nur so lang wie das Postscutellum, der horizontale Teil am Ende abge-
	rundet. Mittelfeldstruktur mitten verworren, seitlich mit deutlicheren,
	gewellten Runzeln. Stigma bräunlichgelb. 6–6,5 mm.
	73, sexstrigatum (Schck.)
_	Tergitenden ohne oder mit spärlicherer, gelblicher, niemals bindenartig
	- 11 1 1
20	
32	Stigma hell ockergelb. cf. 27. pauxillum (Schck.)
_	Stigma schwarzbraun bis dunkelbraun
33	Mesopleuren oben und Hypoepimeralfeld sehr dicht $(0,1-0,5)$ punktiert,
	die schmalen Zwischenräume glänzend. Mesonotum zwischen den Punk-
	ten (außer sehr schmal ganz vorn) glatt und stark glänzend. Stirn grob
	punktiert (15 $-25~\mu$ / 0,1 -0 ,5), die Punktzwischenräume glatt und stark
	glänzend.
	Mittelfeld etwas kürzer als das Scutellum, die geraden, kaum verzweig-
	ten Längsstreifen bis ans abgerundete, glänzende Ende reichend.
	5-6 mm. 52. blüthgeni nom. nov.
	52. Mutagent nom. nov.

-	Mesopleuren oben, meist auch Hypoepimeralfeld nur gerunzelt, matt. Mesonotum zwischen den Punkten von vorne bis zur Mitte, oft auch bis ganz hinten, chagriniert, matt. Stirn feiner (ca. 15 μ), runzlig dicht
	• • • • • • • • • • • • • • • • • • • •
34	punktiert, Zwischenräume chagriniert, matt
	nur mitten, etwa in Form eines stumpfen Winkels, das Ende erreichend.
	Tergit 1 samt Endteil nur mit einzelnen, winzigen Punkten. 5-5,5 mm.
	cf. 70. semilucens (ALFK.)
_	Propodeum fast so lang wie Scutellum, Skulptur des Mittelfeldes (fast)
	die ganze horizontale Propodeumfläche einnehmend. Tergit 1 sehr
	unterschiedlich punktiert, doch zumindest auf dem Endteil einige dichter
	stehende Punkte. 6 mm
35	Mittelfeld glanzlos; die sehr feine, dichte, aber scharf ausgeprägte
	Runzlung reicht bis ans Ende der horizontalen Propodeumfläche. Seiten-
	felder rauher chagriniert, matt. Tergitpunktierung viel spärlicher, be-
	sonders auf den Endteilen, durchschnittlich auch feiner. Endteil von
	Tergit 1 nicht abgeflacht, von Tergit 2 selten äußerst schwach, von
	3 deutlicher, von 4 deutlich fein quergerieft. 6 mm. 34. minutum (K.)
_	Mittelfeld sehr schwach glänzend (bei schwacher Vergrößerung). Die
	Struktur erscheint wie eine ungemein dichte, verworrene Körnelung,
	nur an den Seiten der Basis einzelne kurze feine Runzeln. Der Endrand
	ganz leicht wulstig, sehr fein chagriniert, seidig glänzend. Tergitpunk-
	tierung viel dichter, durchschnittlich gröber, auf dem Endteil von Ter-
	git 2 und 3 nur wenig zerstreuter als auf der Scheibe. Endteil von
	Tergit 1 abgeflacht oder sehr schwach eingedrückt. Riefung auf den End-
	teilen der Tergite deutlicher. 6 mm. 35. nitidiusculum (K.)
36	Mesonotumpunktierung mit feineren (8–12 μ) und gröberen (15–18 μ)
	Punkten gemischt, zerstreut (1-3) punktiert, Zwischenräume nur ganz
	vorn chagriniert. Mesopleuren unten hinten stark glänzend. Flügel was-
	serhell, oft milchigweiß getrübt, Stigma blaßgelb, Adern etwas stärker
	gelb.
	Tergit 1 auf der abschüssigen Basis mitten punktlos, beiderseits winzig
	fein (5-8 \mu / 1-3) punktiert. Mittelfeld in Form und Ausdehnung der
	Struktur, Clypeus und Stirnschildchen in der Punktierung sehr variabel.
	6-7 mm. 44. brevicorne brevicorne (Schck.)
	Vor allem im Süden gibt es vereinzelt Exemplare von villosulum (K.), deren Gesicht etwas länger als breit ist. Mit brevicorne hat villosulum
	die unten hinten stark glänzenden Mesopleuren gemeinsam; ebenfalls
	gibt es im Süden brevicorne mit dunklerem Stigma. Wichtigster Unter-
	schied: im Gegenteil zu brevicorne ist bei villosulum die Punktierung
	auf Tergit 1 ziemlich gleichmäßig verteilt, ohne die beiderseits dichter
_	punktierten Zonen. Mesonotumpunktierung dichter, wenn zerstreuter, dann die Punkte in
_	der Stärke gleichmäßiger. Mesopleuren unten hinten (außer sphecodi-
	morphum) matt bis seidig glänzend. Flügel gelblich bis grau getrübt,
	Adern und Stigma hellbraun bis schwarzbraun
	Arderia dire evigine Helitatani ett barriari

37	Mittelfeldstruktur bis ans Ende der horizontalen Propodeumfläche	
	reichend; am Ende kann ein erhabener Rand oder Wulst sein	38
		10
38	Hypoepimeralfeld zwischen den Punkten chagriniert, Mesopleuren oben	
	dicht grob chagriniert. Endteil von Tergit 2 nur mit wenigen winzigen,	
	haartragenden, erhabenen Punkten, dazwischen fein quergerieft. Ter-	
	gitenden nicht oder von Tergit 2 an sehr schmal rötlich aufgehellt. 6-8 mm. 33. rufitarse (Zett	r.)
_	Hypoepimeralfeld zwischen den Punkten glatt, Mesopleuren oben deut-	••,
	lich, runzlig dicht punktiert, selten die einzelnen Punkte in der Runz-	
	lung verschwindend. Endteil von Tergit 2 \pm dicht, deutlich, fein punk-	
	tiert, ohne Querriefung. Tergitenden breit gelblich bis rötlich durch-	20
39	scheinend. 5,5-6,5 mm	39
55	gite, außer auf der abschüssigen Basis und Beulen von Tergit 1, sehr	
	fein, ziemlich gleichmäßig punktiert (ca. 10 μ / 1-3). Mittelfeld rings	
	mit scharf erhabener Leiste, Längsrunzeln wenig verästelt. $6-6.5$ mm.	
	58. mesosclerum (Pér	R.)
	Punktzwischenräume auf dem Mesonotum glatt, glänzend, nur vereinzelt ganz schmal vorne chagriniert. Tergit 1 auf der Scheibe mitten nur	
	mit einzelnen, weit verstreuten Punkten, seitlich dichter punktiert, End-	
	teil ebenfalls seitlich dichter punktiert, mitten meist auch punktlos, die	
	folgenden Tergite auch sehr fein, an ihrer Basis dichter $(1-3)$, nach	
	hinten zu zerstreuter punktiert. Mittelfeld gegen die Seitenfelder zu	
40	nicht gerandet, Runzeln mitten verworren. 5,5-6 mm	11
.0	mäßig, mäßig dicht punktiert (0,5–1,5), selten die Punktierung auf der	
	Scheibe von Tergit 1 etwas zerstreuter.	
	Gesicht kurz eiförmig (z. B. l : b = 1,36 : 1,24). Mesonotum und Meso-	
	pleuren sehr dicht, fein punktiert, Zwischenräume chagriniert, matt. 4-5 mm. cf. 67. griseolum (Mo	٠,١
_	4-5 mm. cf. 67. griseolum (Mozumindest Scheibe von Tergit 1 viel zerstreuter als der Endteil punk-	н.)
		41
41	Gesicht rundlich viereckig, nach unten wenig verschmälert (Figur 97 b).	
	Schläfen (im Profil) fast breiter als die Augen. Kopf, von oben gesehen,	
	nach hinten um Augenbreite verlängert, wenig verschmälert. Mesonotum sehr unregelmäßig punktiert (0,5-5,0), ganz vorne Zwi-	
	schenräume chagriniert, sonst glatt. Tergit 1 nur am Endteil mit einigen	
	winzigen Punkten, Tergit 2-4 an der Basis sehr fein punktiert, Endteil	
	quergerieft. 3,5-4,5 mm. 77. trichopygum (Bu	Ü.)
-	Gesicht nach unten rundlich verschmälert. Schläfen weit schmäler als	40
42		42
12	notum bis Propodeumende ganz unten beim Übergang ins erste Tergit):	
	Thoraxbreite (innen zwischen den Tegulae gemessen) = $q \ge 1,86$ (z. B.	
	1:b = 1,56:0,84 bis $1,62:0,80$); kleinere Arten, $4,5-5,0$ mm	43

Thorax von oben gesehen plumper und breiter, l: $b = q \le 1.84$ (z. B. 2,12:1,16 bis 1,80:1,08); größere Arten, 5,5-6,5 mm 44 43 Tergit 1 auf dem Endteil deutlich, dicht $(8-10 \mu / 1-2)$ punktiert, auf der Scheibe Punktierung variabel. Tergit 2 an der Basis deutlich eingeschnürt, hier fast runzlig dicht punktiert, auf der Scheibe zerstreuter (1-3) punktiert. Mesonotum durchschnittlich feiner punktiert $(10-20 \mu)$, Zwischenräume meist ausgedehnter chagriniert, doch Variationsbreiten überschneiden sich. 4,5-5,0 mm. 68. minutissimum (K.) Endteil von Tergit 1 punktlos, auf der Scheibe vereinzelt kleine Punkte. Tergit 2 an der Basis nicht oder kaum erkennbar eingewölbt, hier in ganz schmaler Zone 0,5-2,0 punktiert, Scheibe und Endteil punktlos. Mesonotum etwas gröber punktiert (15-20 μ), Zwischenräume, besonders mitten, glatt. Gesicht Figur 101 a. 4,5-5 mm. 69. lucidulum (Schck.) Mesopleuren ganz oben (in sehr schmaler Zone) runzlig dicht punktiert, sonst sehr unregelmäßig $8-16 \mu / 1,0-5,0$, zum Teil noch zerstreuter punktiert, Zwischenräume vereinzelt leicht chagriniert, im ganzen aber glänzend. Hypoepimeralfeld scharf eingestochen dicht punktiert, 12-18 µ/ 0.5-1.5, Zwischenräume glatt. Stirnschildchen am Ende mitten zerstreut punktiert, Zwischenräume glatt. Punktierung auf Scheibe von Tergit 1 sehr variabel. Die ersten Tergite rot oder schwarz gefärbt. Gesicht Figur 88 a, Propodeum Figur 88 b. 5 mm. 57. sphecodimorphum (Blü.) Mesopleuren lederartig runzlig dicht punktiert, matt, ganz unten manchmal die Lederrunzlung etwas schwächer und hier leicht seidig glänzend. Hypoepimeralfeld entweder undeutlich punktiert oder Zwischenräume chagriniert, matt. Stirnschildchen an seinem Ende nicht zerstreuter als sonst punktiert und die Zwischenräume hier genauso dicht chagriniert, 45 Endteil von Tergit 1 mitten nicht abgesetzt, Tergit 2 und 3 an der Basis (relativ zur Körpergröße) feiner $(5-8~\mu)$ punktiert. Tergit 2 und 3 mit weißen Basalhaarflecken. Mesonotum relativ feiner punktiert (14-17 μ). Tergit 5 neben der Furche schwarzbraun behaart, Hintertibienbehaarung innen graulich weiß, 6 mm. 71. intermedium (Schck.) Endteil von Tergit 1 mitten meistens abgesetzt. Tergit 2 und 3 an der Basis (relativ zur Körpergröße) gröber $(5-15 \mu)$ punktiert. Tergit 2 und 3 mit äußerst kleinen weißen Basalhaarflecken. Mesonotum relativ gröber punktiert (15-18 µ). Tergit 5 neben der Furche gelbbraun beharrt. Hintertibienbehaarung innen blaßgelb. 5-5,5 mm. 70. semilucens (Alfk.)

Männchen

Tabelle C

	Fühlergeißel unten dunkelbraun bis schwarz	
_	Fühlergeißel unten vollständig oder wenigstens die Basisglieder gelb-	
	braun bis ockergelb, die Endglieder manchmal dunkler	11
2	Geißelglied 3 kürzer, $1:b=0.22:0.19$ bis $0.41:0.24; q \le 1.73$	3
	Geißelglied 3 länger, 1: $b = 0.46$: 0.26 bis noch schlanker; $q \ge 1.93$	6

3	Gesicht deutlich breiter als lang $(1:b=1,9:2,2)$. Tergitenden mit
	lockeren Wimperbinden ähnlich wie das Weibchen, aber nicht so deut-
	lich ausgeprägt. Fühlergeißelglied 3 kurz ($1:b=0.48:0.72$). Stirnschild-
	chen nach oben in eine flache Spitze ausgezogen, Clypeus immer
	schwarz. Tergite, außer Basis von Tergit 1, dicht, sehr fein, gleichmäßig
	punktiert. 8–9 mm. 17. marginatum (Br.)
	Gesicht länger als breit bis so lang als breit. Tergitenden ohne solche
	Wimperbinden
4	Tergit 1 auf der abschüssigen Basis und Mitte dicht fein quergerieft, hier seidig matt, fein, sehr zerstreut punktiert.
	Labrum und Mandibeln schwarz, Clypeus häufig nur mit kleinem,
	undeutlichem gelben Fleck oder ganz ohne solchen. Stutzkanten sehr
	schwach ausgebildet. 8–11 mm. 21. nigripes (Lep.)
_	Tergit 1 ohne Querriefung, zwischen den Punkten glatt und glänzend. 5
5	Fühler länger, Geißelglied 3 l : b = 0,41 : 0,24. Labrum gelb, Gesicht
J	länglich. Tibien an Basis, Ende und Hinterkante hellgelb. Basis von Ter-
	- · · · · · · · · · · · · · · · · · · ·
	git 1 dicht punktiert, Zwischenräume 1–2,5. Stutzkante sehr undeutlich.
	10-11 mm. 20. euboeense (STRD.)
_	Fühler kürzer, Geißelglied $31:b=0.22:0.19$. Labrum schwarz, Gesicht
	rundlich. Tibien nur mit kleinem gelbem Fleck an Basis und Ende.
	Basis von Tergit 1 glatt, stark glänzend, äußerst zerstreut punktiert,
	Zwischenräume $4-10$. Stutz seitlich und oben scharf erhaben gerandet.
	8 mm. cf. 39. laeve (K.)
6	Sternit 2 (und ebenso 3-5) mit büschelartig dichter, sehr deutlicher, ca. 0,2 mm langer, abstehender Behaarung
_	Sternit 2 völlig kahl oder nur mit besonders in der Mitte des Sternits
	spärlicher anliegender bis etwas schräg abstehender, kürzerer Behaarung 8
7	Tergit 1 auf der abschüssigen Basis fein gerieft, beiderseits zerstreut
•	kräftig (ca. 30 μ) punktiert.
	Mesonotum zerstreuter punktiert (0,3-1,0), Zwischenräume glatt, stark
	glänzend. Tergite am Ende, das 2. und 3. auch an der Basis, deutlich
	niedergedrückt, die Punktierung gröber (Tergit 1 auf Scheibe $15-25 \mu$).
	10–11 mm. 22, obscuratum (Mor.)
_	Tergit 1 auf der abschüssigen Basis nicht gerieft, poliert, nicht oder nur
	ganz oben punktiert.
	Mesonotum dichter punktiert $(0,3-0,6)$, Zwischenräume ganz leicht
	chagriniert, seidig glänzend. Tergite am Ende schwach niedergedrückt,
	das 2. und 3. an der Basis schwächer eingedrückt, die Punktierung feiner
	(Tergit 1 auf Scheibe $12-16~\mu$). Gonostylus Figur 70. $9-10~mm$.
	23. subhirtum (Lep.)
8	Gesicht deutlich länger als breit, Augeninnenabstand oben bedeutend
	schmäler als die Augenlänge 9
-	Gesicht \pm so lang wie breit, Augeninnenabstand oben nur etwas kleiner
	als die Augenlänge (Figur 66 b)
9	Gesicht (ohne Clypeus gedacht) so breit wie lang und kreisrundlich, die
	äußere Augenlinie unten kräftig konvex, Clypeus kürzer. Stutz seitlich

	bis oben und hinter den Seitenfeldern scharf gerandet. Punktzwischen- räume auf Tergit 1-2 glänzend, Punktierung auf Tergit 2 zum Ende zu zerstreuter werdend, an der Basis nur flach konkav eingedrückt. Labrum meist schwarz. Tergite mit spärlicher staubartiger kurzer Behaarung, 2-4 mit mitten stark verschmälerter, meist unterbrochener Filzbinde. 8-10 mm.	cop.)
_	Gesicht (ohne Clypeus gedacht) etwas länger als breit, nach unten stärker verjüngt, die Augenaußenlinie flacher konvex, Clypeus stärker vorgezogen. Stutz seitlich oben und hinter den Seitenfeldern meist sehr undeutlich gerandet. Punktzwischenräume auf Tergit 1 und 2 mit graublauem Schimmer, Tergit 2 bis ans Ende zu dicht punktiert, an der Basis sehr breit und tief eingesattelt. Labrum immer gelb. Tergite mit dichter staubartiger kurzer Behaarung, 2 und 3 mit lockeren Basalbindenflecken. 6–9 mm.	(F.)
10	Tarsenglied 2 der Hinterbeine (von der Seite gesehen) wenig über $1^{1/2}$ mal so lang als breit, mit gebogener Hinterseite (Figur 66 c). Mandibeln und Labrum häufiger braun bis schwarz. Gonostylus, gerade von oben gesehen, ungefähr doppelt so lang wie breit, ragt nicht über den Innenrand der Gonocoxiten vor. $6-8$ mm. 31. fulvicorne ((K.)
-	Tarsenglied 2 der Hinterbeine über doppelt so lang wie breit, mit gerader Hinterseite (Figur 65 b). Mandibeln und Labrum fast immer gelb. Gonostylus, gerade von oben gesehen, nur ungefähr um die Hälfte länger als breit, nach innen zu um die Hälfte seiner Breite über den Gonocoxiteninnenrand vorragend. 6-8 mm. 30. laticeps (School	c k.)
11	Sternit 2 völlig kahl oder nur mit besonders in der Mitte der Sternite spärlicher anliegender bis etwas schräg abstehender kürzerer Behaarung	12
-	Sternit 2 (und ebenso 3-5) mit büschelartig dichter, sehr deutlicher, ca. 0,2 mm langer, abstehender Behaarung	17
12	Tarsenglied 2 der Hinterbeine (von der Seite gesehen) nicht oder kaum länger als breit (z. B. l: b = 0,17:0,16), (Figur 108 b), Beine auch sonst auffallend kurz und gedrungen. Fühler ungewöhnlich schlank, Geißelglied 3 l: b = 0,38:0,21. Basalflecken auf den Tergiten auch bei ganz frischen Tieren kaum angedeutet. Gesicht oval, l: b = 1,92:1,74 bis 2,16:1,86. Endtergite im Profil auf der Endhälfte oben mit reichlicher, ziemlich langer, aufrechter Behaarung.	
	Mesonotum glanzlos, chagriniert, dicht punktiert. Gonostylus Figur 108 a. 7-8,5 mm. 32. nigrum (Vii	ER.)
-	Tarsenglied 2 der Hinterbeine schlanker, Beine schlanker und länger. Fühler nicht ganz so lang. Frische Tiere haben deutliche Basalhaarflecken auf Tergit 2 und 3, auch 4	13
13	Gesicht ungefähr so lang wie breit, Augeninnenabstand oben nur etwas kleiner als die Augenlänge (Figur 66 b)	10
-	Gesicht deutlich länger als breit (Figur 66 b), Augeninnenabstand oben bedeutend schmäler als die Augenlänge	14

- 14 Gonostylus groß, pfeilspitzenförmig (Figur 69 a); ventrale Membran groß, lang dreieckig, tütenartig eingedreht. Mesonotum kräftig punktiert (24–32 μ / 0,2–0,8, vereinzelt bis 1,5), nur wenig skulptiert und ziemlich Gonostylus und ventrale Membran anders geformt (Figur 67). Meso-. . 16 15 Gonostylus am Außen- und Innenrand mit langen gekrümmten Wimperhaaren besetzt (Figur 69 a). Körperfarbe braunschwarz, Tergitenden schmal und nicht scharf abgesetzt rötlichgelb durchscheinend. Flügel schwach graulich, Adern und Stigma gelbbraun. Tibien zum größten Teil oder ganz und die Tarsen rötlichgelb. Horizontaler Teil des Propodeums so lang wie das Scutellum, Mittelfeld scharf gerandet, dicht grob gerunzelt, mit glänzenden Furchen. Tergit 1 vor den Beulen dicht, mitten zerstreuter, die folgenden Tergite bis zum Endteil dicht und scharf eingestochen punktiert, die niedergedrückten Endränder meist punktlos, manchmal die ersten zerstreut punktiert. 6,5-8 mm.
 - 28. tricinctum (Schck.)
- Gonostylus nur auf der Innenseite am Ende gewimpert, im übrigen unbehaart. Körperfarbe grauschwarz mit schwachem Bronzeschimmer, Tergitenden breiter und blasser aufgehellt. Flügel schwach milchigweiß, Adern und Stigma blaßgelb. Tibien braunschwarz gezeichnet. Mittelfeld mit schwächerer Skulptur. Endteil des 1. und 2., manchmal auch des 3. Tergits punktiert. 6-7 mm.
 29. setulellum (STRD.)
- Stutz nur seitlich unten scharf gerandet, Rand oben kaum bemerkbar oder fehlend. Mittelfeld hinten meist undeutlich gerandet, die Runzeln flach, zerstreut, verworren. Gesicht (ohne Clypeus gedacht) annähernd kreisförmig, Scheitel flacher. Tergit 1 schlank, etwa so lang wie am Ende breit. Mesonotum mit feinen, sehr zerstreuten, aufgerichteten, schmutzig gelblichen Härchen. Flügel schwach bräunlichgrau, Adern und Stigma ockerbraun. Gonostylus Figur 67. 5-7, manchmal bis 8 mm.

27. pauxillum (Schck.)

- Stutz deutlich scharf umrandet. Mittelfeld hinter quer abgestutzt und scharf gerandet, dicht kräftig und scharf wellig gerunzelt, mit glänzenden Furchen. Gesicht eiförmig, schlank, nach unten verschmälert, Scheitel etwas höher. Tergit 1 (von oben) kürzer als am Ende breit. Mesonotum dicht mit kurzen, angedrückten und spärlicher mit abstehenden grauen Härchen bedeckt. Flügel schwach milchig, Adern und Stigma blaßgelb.
 6-7 mm.
 26. damascenum (Pér.)
- 17 Mittelfeld undeutlich halbmondförmig, seidig matt, dicht fein wellig gerunzelt, Runzeln nicht bis ans Ende reichend, hier fein lederartig skulptiert, seidig glänzend, am Übergang zum Stutz meist mitten leicht eingedrückt. Stutz seitlich oben, zum Teil auch unten, abgerundet. Gonostylus Figur 71 a. 7,5-9 mm.

 24. malachurum (K.)
- Mittelfeld bis ans Ende gerunzelt; Stutz normalerweise scharf gerandet. 18
- 18 Hypoepimeralfeld deutlich (15-25 μ) punktiert, mit deutlichen, ober-

flächlich chagrinierten, seidig glänzenden Punktzwischenräumen.

cf. 36. minutulum (SCHCK.)

- 19 Gonostylus Figur 68. Gesicht schlanker (l: b = q ~ 1,11), nach unten deutlich verschmälert, Clypeus stärker vorragend, Scheitel etwas höher gewölbt. Geißelunterseite bis auf das oder die beiden letzten Endglieder braungelb. Thorax schlanker, z. B. l: b = 2,20: 1,20; Tergit 1 auf dem Endteil mitten dreimal so zerstreut punktiert wie auf der Scheibe. Körperfarbe mehr graubraun, Mundteile gelb, Behaarung, besonders auf den Tergiten, gelblichweiß. Tergit 2−4 mit lockeren Basalseitenflecken. 7−8,5 mm.
 25. lineare (Schck.)
- Gonostylus Figur 70. Gesicht rundlicher (1: b = q ~ 1,09), nach unten kreisrundlich verschmälert, Clypeus weniger vorragend, Scheitel etwas flacher. Basale Geißelglieder unten ockergelb, auf Glied 9 und 10 ganz schmal, Endglieder schwarz. Thorax plumper, z. B. 1: b = 2,68: 1,76. Tergit 1 auf dem Endteil mitten zweimal so zerstreut punktiert als auf der Scheibe. Körperfarbe mehr grau, Mundteile hellgelb, Behaarung, besonders auf den Tergiten, grauweiß bis schneeweiß. Tergit 2 mit vollständiger, 3 mit schmal unterbrochener dichter Basalbinde, Tergit 4 mit dichten Basalseitenflecken. 9−10 mm.
 23. subhirtum (Lep.)

Tabelle D

- 1 Clypeusvorderrand schwarz. Sternit 4 (0,08 mm tief) und 5 (0,14 mm tief) am Ende ausgerandet. Fühlergeißel unten braunschwarz, sehr lang, Geißelglied 3 l : b = 0,40 : 0,21, bis über das Thoraxende hinausreichend.
 - Gesicht breit (l:b=2,00:2,04). Tergit 1-2 und Scheibe von 3 zwischen den Punkten poliert. Kopf und Mesonotum lang, dicht, grauweiß behaart. 8 mm.
- cf. Lasioglossum (Lasioglossum) laevigatum (K.), Teil II, Nr. 21
- Clypeusvorderrand gelb. Sternit 4 und 5 am Ende gerade abgeschnitten (nur bei nigrum kaum sichtbar eingebuchtet). Fühlergeißel unten hellbraun bis dunkelocker, wenn dunkelbraun, dann kürzer
- 2 Tergit 1 auf der Scheibe gleichmäßig, dicht (0.5-1.5), ausgedehnt punktiert. Fühler kurz, Geißelglied 3 1:b=0.21:0.16 bis noch viel kürzer
- Tergit 1 auf der Scheibe nicht oder spärlich punktiert; wenn etwas zahlreichere Punkte, dann Fühler länger, Geißelglied 3 1: b = 0.28:0.17 bis länger
- 3 Fühler kurz, Geißelglied 3 l : b = 0,21 : 0,16. Propodeum fast so lang wie Scutellum, Mittelfeld und Seitenfelder grob, sehr verworren gerunzelt. Tergitenden auch mitten deutlich eingedrückt, Tergit 2 und 3 mit kleinen, aber deutlichen Basalseitenflecken. 5,5-8 mm.
 46. interruptum (Pz.)
- Fühler außergewöhnlich kurz, Geißelglied 3 kürzer als das zweite (1 : b = 0,07 : 0,14). Propodeum so lang wie Postscutellum, Mittelfeld mit scharfen Längskielen, diese mit kurzen Querrunzelstümpfen; die Furchen dazwi-

2

schen so breit wie die Kiele, glänzend. Tergit 1 und 2 nur seitlich hinter den Beulen niedergedrückt, mitten kaum sichtbar, Tergit 2 und 3 ohne Basalseitenflecken. Gonostylus Figur 84. 5 mm. 47. crassepunctatum (BLÜ.) 4 Fühler ungewöhnlich lang, Geißelglied 3 fast doppelt so lang wie breit (1:b=0.38:0.21). Tarsen ungewöhnlich kurz, Hintertarsenglied 21:b=0,17:0,16 (Figur 108b). Mesonotum zwischen den dicht stehenden Punkten stark chagriniert, ganz matt. Gonostylus Figur 108 a. cf. 32. nigrum (VIER.) - Fühler kürzer. Tarsen normal schlank. Mesonotum zwischen den Punkten (außer manchmal ganz vorn) glatt und glänzend 5 Fühler länger, Geißelglied 3 l : b = 0,28 : 0,17. Tergit 1 auf der Scheibe sehr fein, zerstreut punktiert (10-12 μ / 2-3); Endteil von Tergit 3 und 4 querchagriniert. Hypoepimeralfeld und Mesopleuren deutlich, dicht punktiert. Labrum gelb. 5-6,5 mm. 36. minutulum (Schck.) Fühler kürzer, Geißelglied 3 1 : b = 0,22 : 0,19. Tergit 1 auf der Scheibe nur mit vereinzelten, äußerst zerstreuten Punkten (4-10); Endteil von Tergit 3 und 4 glatt. Hypoepimeralfeld und Mesopleuren grob runzlig chagriniert. Labrum dunkel. 7-8 mm. 39. laeve (K.) Tabelle E 1 Fühler ungewöhnlich lang, Geißelglied 3 l : b = 0.38 : 0.21, Tarsen sehr kurz (Figur 108 b). Gonostylus Figur 108 a. 7-8,5 mm. cf. 32. nigrum (VIER.) Fühler nicht so ungewöhnlich lang 2 Mittelfeld am Ende scharf gerandet, gekantet oder durch einen äußerst schmalen (20-30 μ), \pm glänzenden Wulst begrenzt. (Der Übergang von einer verworrenen Mittelfeldstruktur in den glatten Teil des breiten Wulstes oder der senkrechten Propodeumfläche täuscht manchmal einen Mittelfeld am Ende abgerundet 3 Sternit 5 am Ende leicht bogenförmig ausgeschnitten mit dichter, seitlich abstehender, seitlich über das Sternitende hinausragender Haarbinde, so daß der Ausschnitt größer erscheint. cf. Lasioglossum (Lasioglossum) Teil II: 15. pseudocaspicum (BLÜ.), 16. sexnotatulum (NYL.), 17. sexmaculatum (Schck.), 18. breviventre (Schck.) Sternit 5 am Ende gerade oder konvex, mit abstehender, lockerer oder fast fehlender Behaarung . . 4 Geißelglied 3 kürzer als breit Geißelglied 3 nahezu quadratisch bis viel länger als breit 22

Gesicht kürzer als breit

6 Clypeus am Ende schwarz. Mesonotum grob punktiert (20-35 μ / 0,2 - 1,5). Tergit 1 auf der Scheibe nur mit vereinzelten Punkten (12-15 μ /

3-6).

Gonostylus Figur 79. Mesopleuren runzlig dicht, grob punktiert (15-40 u/ 0.1-0.3). 5-6 mm. 53. quadrisignatum (SCHCK.) Clypeus am Ende gelb. Mesonotum feiner punktiert (15-25 μ). Tergit 1 auf der Scheibe dicht und regelmäßig punktiert $(8-12 \mu / 0.5-1.0)$. . Fühler außergewöhnlich kurz, Geißelglied 3 l : b = 0.07 : 0.14. Gesicht nach unten viel stärker verschmälert (z. B. Aui o ; u = 0.96 ; 0.61), Mesonotum etwas dichter punktiert (0,1-0,3). Mesopleuren grob gerunzelt. ohne klar abgegrenzte Punkte. Seitenfelder und Stutz grob gerunzelt, Begrenzung zwischen beiden wegen der groben Skulptur nicht leicht ersichtlich; Mittelfeldrunzeln grob, Zwischenräume breit. Gonostylus Figur 84. 5 mm. cf. 47. crassepunctatum (BLÜ.) Fühler nicht so auffällig kurz, Geißelglied 31: b = 0.14: 0.16 bis quadratisch. Gesicht nach unten weniger stark verschmälert, Aui o : u = 0,98 : 0,66. Mesonotum zerstreuter punktiert (0,5-1,5). Mesopleuren mit undeutlichen, schräg von unten eingestochenen Punkten. Seitenfelder flach skulptiert, glänzend, ohne Begrenzung in den Stutz übergehend. Mittelfeld mit feinen Längsrunzeln, Abgrenzung des Mittelfeldes mitten kann auch fehlen. Gonostylus Figur 86. 5 mm. 48. pauperatum (BR.) 8 Clypeus am Ende schwarz . . 9 Clypeus am Ende gelb 9 Gesicht sehr kurz, Clypeus nicht vorragend (z. B. l:b=1,40:1,52). Mesonotum (16-20 μ) und Mesopleuren (16-25 μ) feiner punktiert, letztere in der unteren Hälfte fast punktlos. Tergit 1 auf der Scheibe mit winzigen, zerstreuten (2-4) Punkten. Metatarsen ausgedehnt gelb. Gonostylus Figur 77 a und b. 5 mm. 51. pygmaeum (Schck.) Gesicht nicht ganz so kurz, Clypeus etwas vorragend (z. B. l:b=1,44:1,47 oder noch schlanker). Mesonotum (15-26 μ) und Mesopleuren (25-30 μ) gröber punktiert, letztere bis ganz unten punktiert. Tergit 1 auf der Scheibe dichter und gleichmäßiger punktiert (0,5-3). Metatarsen schwarz . . 10 bis dunkelrostbraun 10 Gonostylus Figur 83. Gesicht kurz (z. B. l : b = 1,44 : 1,47). Fühler länger, Geißelglied 3 l : b = 0,21 : 0,16, Geißelunterseite hell gelbbraun. Mittelfeld am Ende mit einem nicht immer deutlich ausgebildeten erhabenen glänzenden Wulst, keine Begrenzung gegenüber den Seitenfeldern. Die schmalen Endteile von Tergit 1 und 2 punktlos, nicht aufcf. 54. marginellum (SCHCK.) gehellt. Metatarsen dunkel rostbraun. 5 mm. Gonostylus Figur 80. Gesicht etwas länger (z. B. l: b = 1,44:1,44), nach unten verschmälert. Fühler kürzer, Geißelglied 3 I : b = 0,19 : 0,16, Geißelunterseite schwarz. Mittelfeld rings scharf erhaben gerandet, Zwischenräume zwischen Längsrunzeln stark glänzend. Tergit 1 und 2 auch auf dem Endteil punktiert, diese nicht aufgehellt. Metatarsen schwarz. 55. illyricum n. sp. 5,5-6 mm. Gonostylus Figur 81. Gesicht schlanker (z. B. l:b=1,68:1,56), nach unten verschmälert. Fühler länger, Geißelglied 3 l : b = 0,21 : 0,16, Geißel-

	unterseite dunkel gelbbraun. Mittelfeld hinten scharf gerandet, ohne Abgrenzung zu den Seitenfeldern, Runzeln in der Mitte verworren, Zwischenräume im gesamten weniger glänzend erscheinend als bei voriger Art. Der schmale Endteil von Tergit 1 punktlos, auf Tergit 2 mit einzelnen zerstreuten Punkten, gelblich bis rötlich aufgehellt. Metatarsen schwarz. 6 mm. 56. peregrinum (BLÜ.)
11	Fühler kurz bis sehr kurz, Geißelglied 3 l : b = $q \le 1,28$ 12
_	Fühler länger, Geißelglied 3 rund um die Hälfte länger als breit, l : b =
	$q \geq 1,36$
12	Gesicht kürzer als breit
_	Gesicht länger als breit
13	Gonostylus Figur 78 a und b. Hypoepimeralfeld zur Gänze punktiert (0,3-1,0), Mesopleuren oben runzlig dicht punktiert. Labrum schwarz, Clypeus nur mit kleinem gelbem Fleck, Fühlergeißelunterseite schwarzbraun, Körperfarbe schwarz, Stigma dunkelbraun. 5-6 mm.
_	Gonostylus Figur 87 a. Hypoepimeralfeld in der unteren Hälfte fast
	punktlos, in der oberen Hälfte wie vorige Art punktiert, Mesopleuren oben flach, undeutlich, zerstreut (1,5-3,0) punktiert. Labrum gelb, Clypeus am Ende breit gelb gezeichnet, Fühlergeißel unten gelbbraun, Körperfarbe eher braun, Tergitenden aufgehellt, Stigma gelb. 5,5 mm. 49. denislucum (STRD.)
14	Gesicht ungewöhnlich lang, fast doppelt so lang wie breit (1:b = 2,16:1,24). Kopf viel schmäler als der Thorax. Sternit 5 am Ende mit außergewöhnlich langem (länger als der Sternit) lockenartig abstehenden Haarkranz. Gonostylus Figur 93.6 mm. 63. dolichocephalum (Bl.ü.)
-	Gesicht nicht so lang, Kopf so breit oder breiter als der Thorax, Behaarung von Sternit 5 höchstens von halber Sternitlänge
15	Körpergröße 6-7 mm. Sternite 1-4 struppig abstehend behaart, die längeren Haare ca. 0,20 mm lang
	Körpergröße 4,5-5,5 mm. Sternite nur mit ganz kurzer, anliegender Behaarung, auf Sternit 1 und 2 vereinzelt abstehende Haare bis
16	ca. 0,10 mm lang
	Schläfen normal, kleinwenig schmäler als der Querdurchmesser der Augen, Kopf von unten gesehen nach hinten zu abgeschrägt. Gesicht nach unten verschmälert (z. B. Aui o : u = 1,06 : 0,72), Figur 73 a. Fühlergeißel etwas verlängert (z. B. Geißelglied 3 1 = 0,22 mm). Mittelfeld gegen die Seitenfelder scharf erhaben abgegrenzt. Gonostylus Figur 73 b.

17	Gonostylus Figur 85. Mesopleuren scharf eingestochen, runzlig dicht punktiert $(0,2-0,3)$, nur ganz unten undeutlicher oder zerstreuter. Mesonotum $(0,4-1,0)$ und Tergite (Tergit 1 auf der Scheibe $0,2-1,0)$ samt Endteilen dicht punktiert, Endteile von Tergit 3 an deutlich quergerieft. Geißelglied 3 kürzer, $1:b=0,14:0,14$ bis $0,14:0,12$. Tarsen und Labrum gelb, Geißelunterseite hell gelbbraun. $5-5,5$ mm. $58.$ mesosclerum (Pér.)
-	Gonostylus Figur 92. Mesopleuren zerstreuter punktiert $(0,3-1,0)$, unten noch zerstreuter. Mesonotum $(0,5-1,5)$ und Tergite (Scheibe auf Tergit 1 $0,5-4,0$) zerstreuter und unregelmäßiger punktiert, Endteil der Tergite am Ende in schmaler Zone punktlos, erst ab Tergit 4 an mit oberflächlicher Querriefung. Geißelglied 3 länger, $1:b=0,18:0,14$. Labrum schwarz, Tarsen und Geißelunterseite dunkel rotbraun
18	Gonostylus (Figur 92 a) eher dreieckig wirkend, durchschnittlich etwas länger. Tergite durchschnittlich feiner (z. B. auf Tergit 2 $5-10~\mu$) punktiert. $4,5-5,5~mm$. 59. transitorium transitorium (Schck.)
_	Gonostylus (Figur 92 b) eher rechteckig, am Ende abgerundet. Tergite gröber (z. B. auf Tergit 2 10 — $16~\mu$) punktiert. 4,5 $-$ 5,5 mm. 59. transitorium planulum (Pés.)
19	Tarsen kurz, plump. Tarsenglied 2 der Hinterbeine (Figur 109 b) größte Länge: größte Breite = 0.14 : 0.13 . Gesicht etwas schlanker und länger $(1:b=1.80:1.68)$.
_	Gonostylus Figur 109 a. Mesonotum glänzend, nur vorn schwach chagriniert. Mittelfeld die ganze horizontale Propodeumfläche einnehmend, halbkreisförmig, konkav, dicht, sehr fein, scharf bis ans Ende gerunzelt. Tergit 1 mit sehr spärlicher, 2 und 3 auf der Scheibe ± ausgedehnt mit feiner, ziemlich zerstreuter Punktierung. Endteil von Tergit 3 fein quergerieft. 6-7 mm. 33. rufitarse (Zett.)
-	Tarsen normal (z. B. Tarsenglied 2 der Hinterbeine $l:b=0,48:0,24$). Gesicht breiter und kürzer ($l:b=1,88:1,80$ oder noch breiter als lang). 20
20	Gonostylus länger (Figur 106). Körperfarbe schwarz, Labrum dunkelbraun, Tarsen rötlichbraun bis dunkelbraun, Stigma dunkelgelb. 6 mm. cf. 34. minutum (K.)
_	Gonostylus kurz (Figur 67 und 110). Körperfarbe braun, Labrum und Tarsen gelb, Stigma hellbraun
21	Mesopleuren oben dicht, relativ kräftig punktiert (25–30 μ / 0,1–0,3), die schmalen Zwischenräume glänzend. Tergite 1–3 gewölbt, Tergitenden zwischen den Punkten ohne Querriefung, nur seitlich hinter den Beulen eingedrückt, Tergit 2 gleichmäßig gewölbt. Geißelglied 3 l : b = 0,24 : 0,16 . Gonostylus Figur 110. Mesonotum scharf, tief punktiert (15–20 μ / 1,0–2,5), Zwischenräume glänzend, nur ganz vorne etwas chagriniert. 5–6 mm. 37. setulosum (Strd.)

Mesopleuren oben dicht punktiert (15-25 μ / 0,1-0,5), Tergite abgeflacht, Tergit 2 und 3 gegen die Basis zu eingesattelt, Tergitenden vom 2. an undeutlich, vom 3. an deutlicher quergerieft. Geißelglied 3 l : b = 0,20 : 0,17. Mesonotum wie vorige Art punktiert, Zwischenräume vorn

	ein bißchen ausgedehnter punktiert. Grenze zwischen Seitenfeldern und Stutz oft sehr undeutlich in der verworrenen Struktur. 6–6,5 mm. cf. 36. minutulum (Schck.)
_	Mesopleuren oben runzlig dicht und netzartig strukturiert, ohne deutliche Einzelpunkte. Tergite mitten flach gewölbt, an der Basis eingesattelt, die Tergitenden auch mitten abgesetzt, alle Endteile deutlich quergerieft. Geißelglied 3 l : b = 0,27 : 0,18. Gonostylus Figur 67. Mesonotum dicht (15–20 μ / 0,1–1,0) punktiert, Zwischenräume überall, doch sehr oberflächlich chagriniert. 5–8 mm. cf. 27. pauxillum (Schck.)
2 2	Geißelglied 3 kürzer als breit bis quadratisch
_	Geißelglied 3 zumindest etwas länger als breit $\dots \dots \dots$
23	Geißelglied 3 fast doppelt so breit wie lang (l : b = 0,10 : 0,18). Gesicht länger (l : b = 1,84 : 1,64 oder noch länger als breit). Ausdehnung der Gelbfärbung bei beiden Arten variabel
-	Geißelglied 3 länger (l : b = 0,124 : 0,160) bis quadratisch. Gesicht kürzer (l : b = 1,76 : 1,54) bis kürzer als breit
24	Gonostylus (Figur 90) von oben gesehen kürzer (ca. 0,09 mm), dreieckig, mit gekrümmter Außenlinie; ventrale Membran seitlich unter den Gonocoxiten nicht vorragend. Gesicht kürzer (l: b = 1,92:1,60 bis 1,84:1,64). Mesopleurenpunktierung in der Mitte dichter (20-40 μ / 0,1-0,5). 6-7 mm. 61. convexiusculum (Schck.)
_	Gonostylus (Figur 89) länger (ca. 0,14 mm), fingerförmig; ventrale Membran an ihrer Basis seitlich unter den Gonocoxiten (von oben gesehen) hervorragend. Gesicht länger (z. B. l : b = 2,08 : 1,62). Mesopleurenpunktierung in der Mitte etwas zerstreuter (20–35 μ / 0,5–1,0). 6–7 mm. 62. buccale (Pér.)
25	Gesicht länglich, eiförmig (l : b = 1,76 : 1,54). Mesonotum mit flacher, feiner, unregelmäßiger Punktierung. Flügel wasserhell, milchig getrübt, Adern und Stigma bleichgelb
-	Gesicht etwa so lang wie breit bis kürzer als breit. Mesonotumpunktierung scharf eingestochen, meist auch dichter und regelmäßiger 40
26	Tergit 1 auf der gewölbten Mittelpartie zwischen der Punktierung glatt, poliert. Sternit 5 am Ende mitten halbrundlich eingedrückt. 6-7 mm. 44. brevicorne brevicorne (Schck.)
-	Tergit 1 auf der gewölbten Mittelpartie quergerieft. Sternit 5 ohne Eindruck. 6-7 mm. 44. brevicorne aciculatum (Blü.)
27	Fühler sehr lang, Geißelglied 3 um die Hälfte länger als breit (z. B. 1:b=0,24:0,16) oder noch länger
-	Fühler nicht so lang, die Länge des Geißelgliedes 3 liegt unter dem 1,5fachen der Breite des Gliedes
28	Gonostylus Figur 98 a. Körpergröße 4-5,5 mm. Mesonotum und Scheibe von Tergit 1 sehr fein (10-15 μ) punktiert. Gesicht rundlich viereckig (vom Typ fulvicorne, Figur 66 b). Sternite unscheinbar, anliegend behaart. 74. politum (Schck.)

	Gonostylus Figur 109 a, 106, 107. Körpergröße 6-7 mm. Mesonotum gröber punktiert. Gesicht auch unten gleichmäßiger gerundet. Sternite struppig, lang abstehend, wenn auch recht locker behaart	20
29	Tarsen kurz, plump, Tarsenglied 2 der Hinterbeine (Figur 109b)	29
	größte Länge : größte Breite = 0.14 : 0.13 . Gonostylus (Figur 109 a) lang, keulenartig. $6-7$ mm. 33. rufitarse (Zett	:.)
~	Tarsen normal schlank. Gonostylus (Figur 106 und 107) kürzer, annähernd dreieckig	30
30	Gonostylus Figur 107. Sternit 2 mitten, 3-5 nur auf den Seiten lang abstehend behaart, 3-5 mitten dagegen spärlich und winzig. Mittelfeld schwach seidig glänzend; außer an den Seiten der Basis, wo einzelne kurze Runzeln stehen, mit sehr dichter, verworrener Runzelung, die wie sehr feine Körnelung erscheint; der etwas wulstige Endrand ist nur sehr fein chagriniert und seidig glänzend. Variationsbreiten der Mittelfeldstruktur überschneiden sich aber mit der folgenden Art. 6 mm. 35. nitidiusculum (K.	
~	Gonostylus Figur 106. Sternite mit gleichmäßiger, etwas kürzerer (vor allem auf den Endsterniten) Behaarung. Mittelfeld im gesamten matt; mit sehr feiner, dichter, aber scharf ausgeprägter Längsrunzlung, die bis ans Ende reicht; das Ende selbst ist glanzlos, auch die Seitenfelder sind rauher chagriniert und daher nicht so stark glänzend. 6 mm. 34. minutum (K.	·.)
31	Gesicht lang eiförmig, meist nach unten verschmälert, $l:b=q \le 1,10$ (wenn Gesicht kürzer, nach unten weniger verschmälert, q bis $1,09$ herab, dann Tergit 2 , schwächer Tergit 3 , an der Basis eingedrückt) 3	2
~	Gesicht kürzer als breit, \pm kreisrund oder etwas länger als breit, dann $1:b=q\geq 1{,}08$	9
32	Gesicht sehr schlank, $1:b=q\le 1,43$ (z. B. 2,06:1,38). Gonostylus Figur 91. Mesonotum und Mesopleuren oben gröber punktiert $(25-32\mu/0,5-1,0)$, letztere unten mit zerstreuterer Punktierung, Zwischenräume überall glatt und glänzend. 6,5-7 mm. 64. clypeare (Schck.	.)
-	Gesicht nicht so schlank, meist wesentlich kürzer, $l:b=q=maximal$ 1,38 (z. B. 1,47: 1,07)	3
33	Tergit 2 an der Basis eingeschnürt oder eingedrückt	4
	Tergit 2 an der Basis nicht eingedrückt (wohl aber können die Tergite gleichmäßig gewölbt sein)	7
34	Gonocoxiten (im Verhältnis zur Körpergröße) sehr breit und groß, Gonostylus groß, dicht buschig behaart (Figur 97 a). Tergit $6-7$ lang behaart (bis 0.25 mm). Gesicht schlank, $1:b=q\leq 1.20$. Endteil von Tergit 2 punktlos und glatt. $4-4.5$ mm.)
_	Gonocoxiten nicht so stark verbreitert, Gonostylus entweder klein (Figur 102, 92 a und b) oder nicht so buschig behaart (Figur 99). Tergit 6-7 kürzer behaart, bis etwa 0,16. Gesicht kürzer, $1:b=q \ge 1,15$. Endteil von Tergit 2 punktiert oder, wenn nur mit einzelnen Punkten, quergerieft	5

35	Gonostylus groß, schaufelförmig (Figur 99). Endteil von Tergit 2 nur mit einzelnen Punkten, dazwischen quergerieft. Mesopleuren oben ohne
	deutliche Punkte, eher netzartig strukturiert. Sternite sehr spärlich, anliegend behaart. 4-4,5 mm. 75. glabriusculum (Mor.)
_	Gonostylus klein (Figur 102, 92 a und b). Endteil von Tergit 2 deutlich, nur wenig schwächer als auf der Scheibe punktiert. Mesopleuren oben mit deutlichen Punkten. Sternite abstehend behaart
36	Gonostylus Figur 102. Gesicht elliptisch, nach unten weniger verschmälert (z. B. Aui o: u = 0,74:0,55). Mesonotum etwas feiner, zerstreuter punktiert (12–18 μ / 0,5–2,0), Zwischenräume vorn leicht chagriniert, sonst glatt. Tergit 2 und 3 an der Basis tief eingeschnürt. 4–4,5 mm. 68. minutissimum (K.)
	Könnte mit dem habituell ähnlichen <i>lucidulum</i> (Schok.) verwechselt werden. Bei dieser Art sind aber Tergit 2 und 3 an der Basis nicht eingedrückt, Tergit 1 auf der Scheibe nur mit wenigen flachen Punkten (<i>minutissimum</i> : auf der ganzen Scheibe deutlich, gleichmäßig, scharf eingestochen punktiert). Gonostylus Figur 101 b.
	Gonostylus Figur 92 a und b. Gesicht nach unten deutlich verschmälert (z. B. Aui o : u = 0,87 : 0,60). Mesonotum gröber, etwas dichter punktiert (15–20 μ / 0,5–1,5), Zwischenräume überall glatt. Tergit 2 und 3 an der Basis schwächer eingesattelt. 4,5–5,5 mm
37	Gesicht schlanker, lang, eiförmig (z. B. l : $b=1,26:1,02$), Clypeus lang ($l=0,28; v=0,22$). Tarsen kurz, Glied 2 der Hintertarsen so lang wie breit; Tarsen und Basis und Ende der Tibien weißlichgelb. Gonostylus Figur 96. $3,5-4$ mm. 67. griseolum (Mor.)
	Gesicht (Figur 95 b) und Clypeus kürzer, Tarsen schlanker, größere Arten, 5-6,5 mm
38	Gonostylus (Figur 95 a und c) lateral annähernd quadratisch, ventrale Gonostylusmembran schmal zungenförmig. Metatarsen hellgelb bis dunkelgelb. Habitus etwas zarter, Punktierung feiner wirkend. Gesicht Figur 95 b. 5-6 mm. 66. punctatissimum (SCHCK.)
p	Gonostylus (Figur 94) lateral annähernd rechteckig, ventrale Gonostylusmembran ebenso lang, aber breit fächerförmig, Metatarsen schwarzbraun. Habitus etwas robuster, Punktierung gröber wirkend. 5,5-6,5 mm. 65. angusticeps (Perk.)
39	Tarsen sehr kurz; Glied 2 der Hinterbeine fast so lang wie breit (größte Länge: größte Breite = 0,14:0,13). Gonostylus Figur 75. Kopf dick, rundlich viereckig, wenig länger als breit. Horizontale Teile des Propodeums mit abgerundetem, stark glänzendem Ende; Mittelfeldlängsrippen lang, gerade, seitlich manchmal geschwungen bis in die Seitenfelder reichend. Mesonotum mitten zerstreuter (1-4) punktiert. 5,5-7 mm. 43. villosulum (K.)
_	Tarsen länger, Glied 2 der Hintertarsen nicht so auffällig kurz 40
40 —	Gesicht eindeutig länger als breit, bis $l:b=q \le 1,05$ herab 41 Gesicht kürzer als breit bis \pm so lang wie breit, bis $l:b=q \ge 1,02$ 46

41	Vordertibien gelb bis rostgelb, Mittel- und Hintertibien innen und außen mit dunklem Längsfleck
-	Tibien dunkel, höchstens Mittel- und Hintertibien an Basis und Ende schmal gelb
42	Gonostylus Figur 113. Abschüssige Basis von Tergit 1 glatt. Mittelfeld am Ende glatt, glänzend. Mesonotum sehr flach, oberflächlich, fein, zerstreut punktiert $(5-12\mu\ /\ 1-4)$. Fühler kürzer, Geißelglied 3 l : b = 0,16:0,15. Gesicht eiförmig, nach unten verschmälert. Fühlergeißel unten braun, helle Beinfärbung rötlichgelb. 6-7 mm. 45. limbellum (Mor.)
_	Gonostylus Figur 100. Abschüssige Basis von Tergit 1 fein quergerieft. Mittelfeld am Ende im Übergang zum Stutz rauh skulptiert, matt. Mesonotum scharf eingestochen punktiert (15 μ / 0,1-1,0), mit zwei punktlosen Zonen längs der tief eingefurchten Mittellängslinie. Fühler etwas länger, Geißelglied 3 l : b = 0,24 : 0,19. Gesicht viereckig wirkend, Augen unten stark verbreitert. Fühlergeißel unten gelb, helle Beinfärbung ebenfalls gelb. 5-6 mm. 76. mandibulare (Mor.)
43	Mesopleuren, besonders unten, zwischen den Punkten glatt, glänzend . 44
	Mesopleuren bis unten chagriniert, matt
44	Gonostylus Figur 74. Gesicht nach unten weniger verschmälert, z. B. Aui o: $u=1,12:0,86$. Mittelfeld nur wenig länger als Postscutellum. Endteil von Tergit 3 sehr fein und oberflächlich zwischen den Punkten quergerieft. Labrum gelb, Fühlergeißelunterseite schwarzbraun. $6-7$ mm. 42. $truncaticolle$ (Mor.)
_	Gonostylus Figur 92 a und b. Gesicht nach unten stärker verschmälert, z. B. Aui o: $u=0.88:0.60$. Mittelfeld fast so lang wie Scutellum. Endteil von Tergit 3 zwischen den Punkten glatt. Labrum schwarz, Fühlergeißelunterseite dunkel rötlichbraun
45	Gonostylus Figur 105. Mandibeln, Labrum und Clypeus schwarz, höchstens letzterer am Ende mit trübgelbem Fleck, Beine schwarz, nur Knie rötlich schimmernd. Mesonotum (im Verhältnis zur Körpergröße) fein $(15-25~\mu)$ punktiert, Zwischenräume überall sehr oberflächlich chagriniert. Außer auf Tergit 1 in der Mitte die Tergitenden deutlich abgesetzt, vom dritten Tergit an die Tergitenden fein quergerieft. $5-6~\mathrm{mm}$.
_	Gonostylus Figur 103. Mandibeln in der Mitte, Labrum, Clypeus breit am Ende, gelb, Tarsen gelb bis schwarzbraun. Mesonotum in der Stärke wie vorige Art punktiert, durch die geringere Körpergröße etwas stärker erscheinend, Ausdehnung der Chagrinierung der Zwischenräume sehr variabel. Endteile der Tergite weniger deutlich als bei der vorigen Art, doch durchschnittlich deutlicher als bei der folgenden Art abgesetzt, ebenfalls Ausdehnung der Punktierung und Querriefung sehr variabel. 4,5–5 mm.
_	Gonostylus Figur 101 b. Mandibeln in der Mitte, Labrum, Clypeus breit am Ende und alle Tarsen gelb. Mesonotum 12-15 µ stark punktiert, Zwischenräume glänzend, höchstens ganz vorn chagriniert. Endteil der

	Tergit 2 an auch in der Mitte, Endteile punktlos und glatt. 4-4,5 mm. 69. lucidulum (Schck.)
	(Die Unterschiede zur habituell ähnlichen Art minutissimum (K.) siehe unter Nr. 36 dieser Tabelle.)
46	Alle Beine hell rostgelb, einschließlich Coxa und Trochanter. Gonostylus Figur 112. Kopf breiter als Thorax, Gesicht annähernd kreisrund. Mandibelspitze winkelig nach unten gebogen, Mundteile gelb. Fühler kurz, Geißelglied 3 ± quadratisch. 5,5-6 mm.
	52. blüthgeni nom. nov.
_	Beine schwarz bis schwarzbraun, zumindest Coxa und Trochanter; Tarsen und Tibien können \pm ausgedehnt gelb sein 47
47	Tergite spiegelglatt, auf der Basis von Tergit 2 mit sehr zerstreuten, winzigen (ca. 5 μ) Pünktchen. Mesonotum auf der Scheibe fein, sehr unregelmäßig, weitgehend zerstreut punktiert (15-20 μ / 1-4). Gesicht breiter als lang (z. B. l : b = 1,80 : 1,94). Clypeus am Ende schwarz oder nur mit kleinem trübgelbem Fleck. 7 mm. 38. quadrinotatulum (SCHCK.)
-	Tergite zumindest auf den Scheiben deutlich, dicht, wenn auch fein, punktiert. Mesonotum regelmäßiger punktiert
48	Clypeus am Ende (und Labrum und Mandibeln) schwarz. Mesonotum und Mesopleuren (im Verhältnis zur Körpergröße) sehr grob punktiert (25–33 μ / 0,2–1,5). Gonostylus Figur 83. Geißelglied 3 l : b = 0,22 : 0,16. Fühlergeißelunterseite hellocker. 4,5–6 mm. 54. marginellum (SCHCK.)
_	Clypeus am Ende zumindest mit kleinem gelbem Fleck (meist auch Labrum und Mandibeln gelb). Mesonotum und Mesopleuren (im Verhältnis zur Körpergröße) feiner punktiert
49	Fühler lang, Geißelglied 3 l : b = $q \le 1,40$. Mesopleuren oben runzlig dicht punktiert bis grob netzartig chagriniert 30
-	Fühler kürzer bis sehr kurz, Geißelglied $1:b=q\geq 1,36.$ Mesopleuren oben \pm dicht, aber deutlich eingestochen punktiert 50
50	Fühler sehr kurz, Geißelglied 3 kürzer als breit bis quadratisch. Tergit 2 und 3 an der Basis scharf und tief eingedrückt. Gonostylus Figur 86. 5 mm. cf. 48. pauperatum (Br.)
-	Fühler länger, Geißelglied 3 länger als breit; wenn quadratisch, dann Tergit 2 und 3 nur gleichmäßig gewölbt, an der Basis nicht so scharf eingeschnürt
51	Labrum schwarz, Clypeus mit kleinem gelbem Fleck. Gonostylus Figur 78 a und b. 5-6 mm. cf. 50. patulum (VACH.)
-	Labrum, Clypeus und Mandibeln ausgedehnt gelb 52
52	Mesopleuren bis ganz unten zwischen den Punkten chagriniert, matt bis seidig glänzend. Gonostylus Figur 111. Schläfen im Profil gesehen bilden einen scharfen bis stumpfen Winkel,

- dessen Spitze manchmal in einen verlängerten Knopf ausläuft. Dieses an sich auffällige Merkmal ist sehr variabel, kann auch völlig fehlen. 5,5-6,5 mm. 73. sexstrigatum (Schck.)
- 53 Fühler länger, Geißelglied 3 l : b = 0,19 : 0,13. Mesonotum etwas stärker, dichter und unregelmäßiger punktiert (14-18 μ / 0,3-2,0), seitlich noch dichter punktiert. Horizontaler Teil des Propodeums nur zwei Drittel so lang wie das Scutellum. Tergit 1 fast punktlos. Gonostylus Figur 104. 5-5.5 mm.
 72. tarsatum (SCHCK.)
- Fühler kürzer, Geißelglied 3 \pm quadratisch (Figur 88 e). Mesonotum schwächer, zerstreuter, unregelmäßiger punktiert (10-15 μ / 0,7-3,0), seitlich nicht dichter punktiert. Horizontaler Teil des Propodeums so lang wie Scutellum. Propodeum von oben Figur 88 d. Tergit 1 auf der Scheibe 3-5 μ / 3-6 punktiert. Gesicht Figur 88 c. 4,5-5 mm.

57. sphecodimorphum (VACH.)

ad 2. Subgenus Evylaeus Roв. (Fortsetzung)

17. marginatum (Br.)

Halictus marginatus Brullé, Expéd. sc. Morée Zool., 1832, p. 351, \circlearrowleft .

Halictus fasciatellus Schenck, Jahrb. Ver. Naturk. Nassau, 14, 1859 (1861), p. 395 $\, \circ \!\!\!\!/$.

Halictus Gribodoi Kriechbaumer, Verh. zool. bot. Ges. Wien, 23, 1873, p. 62, $^{\circ}$.

Halictus riparius Morawitz, Hor. Soc. Ent. Ross., 10, 1873, p. 37, Q.

Halictus vulgaris Morawitz, Fedtschenko: Turkestan Mellifera II, 1876, p. 250, Q.

Halictus Kervilleanus Pérez, Bull. Soc. Rouen, 46, 1911, p. 42, Q.

Verwandtschaftlich von den folgenden Arten isoliert, wohl als Folge oder konvergent zur abweichenden Biologie.

Im Linzer Becken nur an den wärmsten Stellen: Luftenberg, Mönchgraben; Wilhering — Mühlbach, Walding (m), Mauthausen, St. Valentin (H, M).

Aus Mitteleuropa nur von sehr warmen Orten bekannt; in Südeuropa weit verbreitet und häufig: von Spanien bis Kaschmir und Turkestan.

Die Kurve des jahreszeitlichen Auftretens im Linzer Raum ist in Figur 114 dargestellt. Die Biologie (Plateaux-Quénu 1959, 1962) ist von allen bisher erforschten Halictiden am höchsten entwickelt. Das befruchtete Weibchen lebt als Königin fünf bis sechs Jahre. Im ersten Frühling gräbt es zwei bis sechs Zellen, versorgt diese mit Pollen und

Nektar und legt Eier, aus denen sich Arbeiterinnen entwickeln. Im zweiten Frühling fliegen diese um Pollen aus, graben Zellen, während nun die Königin im Nest bleibt, Eier legt und Zellen versorgt; 6 bis 18 Arbeiterinnen zählt der Staat im zweiten Jahr. Im dritten Jahr wächst er auf 18 bis 54, im vierten auf 54 bis 162 Bewohner an. Im fünften Jahr mit 162 bis 486 oder auch im sechsten Jahr mit 486 bis 1458 Bewohnern treten nun befruchtungsfähige Weibchen und Männchen auf. Die Männchen verlassen ihr Geburtsnest und suchen zur Kopulation fremde Nester auf, die dort unterirdisch vollzogen wird.

Morphologisch besteht kein Unterschied zwischen Königin und Arbeiterin. Unterschiede sind physiologisch: Königinnen werden befruchtet, Arbeiterinnen niemals. Nester, die noch keine befruchtungsfähigen Weibchen haben, bleiben im Herbst verschlossen, wenn die Männchen von anderen Nestern ausschwärmen. Außerdem lebt die Königin gut fünf Jahre, eine Arbeiterin zwölf bis fünfzehn Monate.

Die Nester sind gruppenweise, besonders an trockenen Wegen angelegt. Im Süden werden ungefähr fünf Zentimeter hohe Eingangsröhren aus dem Bodenmaterial gemauert. Die Kolonien im Linzer Raum haben nur ganz flache Kegel rings um die Eingangsröhre aus ausgegrabenem Material. Die Zellen bleiben offen, die Eiablage erfolgt, wenn alle Zellen mit Futter versorgt sind.

Blütenbesuch: Prunus, Potentilla (H), Genista, Taraxacum (m).

18. albipes (F.)

Apis albipes Faericius, Spec. Insect., I, 1781, p. 486. Halictus malachurellus Strand, Arch. Naturg., 75, 1909, p. 40, 3. var. alpicola Blüthgen, Deutsche ent. Zeitschr., 1920, p. 284, 9. var. rubelloides Blüthgen, Konowia 3, 1924, p. 274, 9.

Neben der folgenden Art mit Abstand die häufigste und in Oberösterreich am weitesten verbreitete. Die Kurve des jahreszeitlichen Auftretens (Figur 115) bestärkt die Meinung Knerer's (1968), daß diese Art nicht sozial sei.

Auch in den Hochlagen des Mühlviertels: Sarleinsbach (M), Vorderweißenbach, Bad Leonfelden, Reichenthal, Kaltenberg bei Unterweißenbach (m); ebenfalls im Alpengebiet hoch hinaufsteigend: Bosruck, Arlingsattel, 1400 m (m), Pyhrgas, 1800 m (M).

In Europa ist sie weit verbreitet, im Norden bis Finnland (Valkeila); im Süden nur selten in den Gebirgen, so in Nordspanien (Blüthgen, 1924 b), Algerien (Alfken, 1913/14), über Sibirien, Turkestan, Nordchina bis Wladiwostok (Blüthgen, 1924 c, 1934 d). Blütenbesuch: Umbelliferen, Achillea, Solidago (Hamann, 1960), Ranunculus, Leontodon, Campanula (H), Taraxacum, Tussilago, Ajuga, Solidago, Scabiosa, Calluna, Centaurea (m).

19. calceatum (Scop.)

Apis calceata Scopoli, Entom. Carn. 1763, p. 301. Hylaeus cylindricus Fabricius, Entom. system II, 1763, p. 301. var. rubens Smith, Catal. Hymen. Brit. Mus. II, 1854, p. 423. syn: rubellus Eversmann, 1852, NEC Haliday, 1836.

Wohl die häufigste Art in Oberösterreich, sogar auf jeder Kulturwiese zu finden; in den östlichen Steppengebieten aber verhältnismäßig selten. (Kurve des jahreszeitlichen Auftretens im Linzer Raum Figur 116). Es ist die einzige Art, von der auch aus den Hochlagen des Mühlviertels genügend Material für eine statistische Auswertung vorliegt. Ebenfalls im alpinen Teil Oberösterreichs weit verbreitet; bisher höchster Fundort ist der Schieferstein, 1181 m (Ku).

In Europa nach Norden bis Finnland (Valkeila), im Süden von Algerien, im ganzen Mittelmeergebiet, nach Osten bis Sibirien (Blüthgen, 1924 c) und bis zum Ussurigebiet (Gussakovskij, 1932).

Nach Knerer (1968) ist die Art sozial; im Frühsommer treten kleine, unbegattet bleibende Arbeiterinnen auf. Befruchtete Weibchen überwintern gemeinsam. Zellen in Waben, bleiben nach Eiablage verschlossen. Dem entspricht völlig die Kurve aus den Hochlagen des Mühlviertels. Gegenüber der Aussage Knerer's, daß im Frühsommer die Männchen fehlen, zeigt die Kurve aus dem Linzer Raum eine geringe Anzahl von Männchen, so daß es möglich wäre, daß die kleinen Frühsommerarbeiterinnen, ähnlich wie es von malachurum bekannt ist, begattet werden.

Blütenbesuch: Sehr polyphag; Ranunculus, Erigeron, Centaurea, Origanum, Solidago (H, 1960), Lysimachia, Heracleum, Taraxacum, Buphthalmum, Lotus, Lamium, Stenactis, Erica, Petasites, Leontodon (H), Taraxacum, Tussilago, Solidago, Salix, Globularia, Centaurea, Potentilla, Aster, Scabiosa (m).

20. euboeense (STRD.)

Halictus euboeensis Strand, Arch. Naturg., 75, 1909, p. 31, ♀. Halictus furnasensis Strand, Arch. Naturg., 75, 1909, p. 35 ♀. Halictus Kirschbaumi Blüthgen, Jahrb. Ver. Naturk. Nassau, 71, 1918, p. 214, ♂♀. var. anatolica Blüthgen, Mitt. Mus. Berlin, 17, 1931, p. 351, ♀.

Aus Oberösterreich ist die Art nicht bekannt. In Österreich kommt sie nur im Osten, Winden (Ku, P, G), Oberweiden (G), Sankt Andrä (H), Gänserndorf (G) vor.

In Mitteleuropa vom Kaiserstuhl bis Ostpreußen sehr vereinzelt (Sтöckhert, 1954), Ungarn, Südwestschweiz (Vaud — Велимонт, 1960; Wallis — m). Im Süden von Algerien bis Kaukasus (Всёнтндем, 1924 с).

B l \ddot{u} t e n b e s u c h : Carduus (H), Jurinea, Tragopodon (KNERER, 1968).

21. nigripes (LEP.)

Halictus nigripes Lepeletier, Hist. nat. Insect. Hymén., 1841, p. 286, \circlearrowleft . Halictus vulpinus Nylander, Notis, Saellsk. faun. et flor. Fenn. Förh., II, 1852, p. 243, \circlearrowleft nec vulpinus Lepeletier.

var. pharaonis Strand, Arch. Naturg., 75, 1909, p. 46, ♀.

syn: calceatus var. orientalis Magr, nec orientalis Lep.

syn: syriacus Pér., Bull. Soc. Rouen, 46, 1911, p. 42.

Im Linzer Becken ist die Art nicht selten (Kurve des jahreszeitlichen Auftretens Figur 117), sonst nur in warmen Teilen des Landes: Rottenegg (M), Mühllacken (H), Landshaag (M), Mauthausen (H), Wilhering (m), Steyrermühl (Ku), östlich Passau (H).

Nur im südlichen Mitteleuropa, bis Oberbayern, von Osten her bis Breslau (Stöckhert, 1954). In ganz Südeuropa von Spanien (Blüthgen, 1924 b), über Italien (G, S), Griechenland und Kleinasien (Blüthgen, 1924 c, G, S), in Nordafrika von Algerien, Ägypten bis Persien (Blüthgen, 1924 c, 1933 b, 1937 c).

Nach Knerer (1968) kommen die überwinterten Weibchen erst spät, im Mai, Juni, zum Wabenbau, aus denen Arbeiterinnen und kleine Männchen als Sommerbrut hervorgehen. Im August bis September entwickeln sich große Männchen und Königinnen. Die Männchen suchen ähnlich wie bei marginatum fremde Nester zur Kopula auf. Die Zellen werden nach der Eiablage geschlossen.

Blütenbesuch: Lotus, Taraxacum, Anchusa, Carduus (H), Taraxacum, Salvia, Centaurea, Hieracium (m).

22. obscuratum (Mor.)

Halictus obscuratus Morawitz, Fedtschenko, Turkestan Mellifera, II, 1876, p. 245, $\mathbb Q$.

Halictus bentoni Cockerell, Proc. Ent. Soc. Washington, 20, 1918, p. 177, $\, \circ \,$. Halictus obscuratus Mor., Blüthgen, Arch. Naturg. 89, 1923, p. 277, $\, \circ \,$.

Aus Oberösterreich ist sie nicht bekannt. In Österreich im Osten:

Neusiedl (P), Winden (P, Ku), erreicht die Art die bisher bekannte Westgrenze.

Von da an kommt sie nach Osten über Ungarn, Balkan, Kleinasien bis Turkestan vor. Die asiatische Nominatrasse hat schlankeres Gesicht und hellere Behaarung, die europäische Rasse kürzeres Gesicht und dunklere, gelbliche Behaarung.

Blütenbesuch nur aus dem Süden bekannt: Mentha, Nepeta, Berberis, Gagea, Lithospermum, Thymelaea, Calendula, Tamarix (Mavromoustakis).

23. subhirtum (Lep.)

Halictus subhirtus Lepeletier, Hist. nat. Insect. Hymén., 1841, p. 271, ♀. Halictus subhirtus Lep., Blüthgen, Konowia 3, 1924, p. 270, ♂.

Stöckhert (1954) verwendet den Namen malachurops Cockerell, 1937. Dies ist aber ein nomen nudum, denn 1937 veröffentlichte Cockerell ein Halictus macrurops und ein Halictus malachurinus. Wohl schließe ich mich dem Bedenken Blüthgen's an, daß die Beschreibung recht wenig auf diese Art paßt, doch folgt Blüthgen hierin der Auffassung von Pérez, von dem er vermutet, daß dieser den Typus kannte. Der Typus ist nach Mitteilung von S. Kelner nicht im Museum Paris aufzufinden. Daher besteht vorderhand kein triftiger Grund, einen neuen Namen einzuführen.

Lasioglossum subhirtum ist eine westmediterrane Art, die von Marokko über Spanien, Süd- und Mittelfrankreich bis Baden, Kehl am Rhein, Eppingen (Blüthgen, 1924 c, 1944), im Süden bis Ligurien (S) vorkommt.

24. malachurum (K.)

Melitta malachura Kirby, Monogr. apum Angl., II, 1802, p. 67, Q. Halictus longulus Smith, Zoologist VI, 1848, p. 2104, Q. Hylaeus apicalis Schenck, Jahrb. Ver. Naturk. Nassau, 9, 1853, p. 161, Q. Halictus malachuroides Strand, Arch. Naturg., 75, 1909, p. 41, Q.

Im Linzer Becken ist sie ziemlich häufig (Kurve des jahreszeitlichen Auftretens Figur 118), doch seltener als die verwandten Arten; zur statistischen Auswertung ist das Material etwas dürftig. Die Kurven entsprechen nicht ganz der gut bekannten Biologie.

Sonst nur in den warmen Teilen des Landes: Walding (m), Mühlbach bei Wilhering (H), Hörsching (m), Marchtrenk (P), Pulgarn, Alharting, Straß-Fraham (H). Außerdem nur ein Fund von der westlichen Landesgrenze: Soldatenauinsel östlich Passau (H).

Im südlichen Mitteleuropa ist die Art verbreitet, in Südeuropa von Spanien (Blüthgen, 1924 b) über Frankreich (S, H), Italien (G, H, S), Dalmatien (G, m), Griechenland (G, P), von Marokko (Blüthgen, 1933 c) über Ägypten (Blüthgen, 1933 b, P) bis Kleinasien (G, P, S) und Transkaukasien (Blüthgen, 1937 c).

Diese Art wurde als erste von den Halictiden als sozial erkannt (Noll, E. Stöckhert, 1923). Knerer (1968) beobachtete drei Versorgungsphasen, während aus der Kurve im Linzer Becken nur zwei ersichtlich werden. Die Vermutung F. K. Stöckhert's (1954), daß malachurum im Norden, an der Grenze seiner Verbreitung, wegen des Fehlens der Arbeiterinnenform longulum solitär sei, ähnlich wie bei Bombus, scheint aus dem Befund der Linzer Gegend insofern bekräftigt, daß hier nur zwei Versorgungsphasen zu sehen sind. Eigenartig dabei ist nur, daß malachurum, die weiter nach Norden vordringt, im Linzer Raum keine volle Entwicklung zeigt, während nigripes, die nicht so weit nach Norden vorkommt, hier eine günstigere Entwicklung hat, als Knerer sie beschreibt (etwa zwei Wochen früher).

Die Nestgründung nehmen nach KNERER (1968) mehrere gemeinsam überwinterte befruchtete Weibchen vor; im April bis Mai entwickeln sich die ersten Arbeiterinnen, die im Juni eine zweite Arbeiterinnenbrut mit einigen Männchen heranziehen. Im August werden in einer dritten Versorgungsphase Königinnen und große Männchen herangezogen. Die Zellen liegen dicht entlang den verzweigten Gängen. Arbeiterinnen sind selten begattet, legen zum Teil aber die unbefruchteten, haploiden Eier, aus denen sich die Männchen entwickeln. Die Erforschung der Biologie dieser Art ist noch nicht abgeschlossen (Knerer, brieflich).

Blütenbesuch: Potentilla, Achillea, Taraxacum (H), Salix (H, m), Pulsatilla (m).

25. lineare (Schck.)

Halictus linearis Schenck, Jahrb. Ver. Naturk. Nassau, 21/22, 1867/68 (1870), p. 307, 3.

Halictus longuloides Strand, Arch. Naturg., 75, 1909, p. 38, 3.

Halictus smyrnae Strand, Arch. Naturg., 75, 1909, p. 54, \circlearrowleft .

Halictus aeginus Strand, Arch. Naturg., 87, 1921, p. 309, A.

Die Kurve des jahreszeitlichen Auftretens im Linzer Becken ist in Figur 119 dargestellt. Sonst nur an sehr warmen Stellen: Rottenegg (M), Ottensheim (M, H), Hörsching (m), Marchtrenk (M, Ku).

Nur vereinzelt an warmen Stellen in Mitteleuropa bis Nordwestdeutschland (Stöckhert, 1954). Im Süden nur im ostmediterranen Raum: Balkan, Griechenland, Kreta, Kleinasien, Kaukasus, Palästina (Blüthgen, 1924 c, G, S), nach Norden bis Polen (Pulawski).

Funde aus Nordafrika sind zu überprüfen, weil Verwechslungsmöglichkeit mit der sehr nahe verwandten elbanum (Blüthgen, 1934) besteht.

Die gemeinschaftlich überwinternden Weibchen erscheinen schon sehr bald im März bis April. Eines der Weibchen entwickelt sich zum Eileger, die anderen verhalten sich wie Arbeiterinnen. Anfang Juni erscheinen die Sommerarbeiterinnen, ohne Männchen, bleiben unbegattet. Die dritte Versorgungsphase, aus der Weibchen und Männchen hervorgehen, ist schon sehr bald, im Juli. Die Zellen bleiben offen und werden gereinigt. Den Nesteingang schützt eine Erdröhre (Knerer, 1968). Die Kurve stimmt damit fast überein, lediglich die Weibchen im Juli kommen nur sehr schwach zum Ausdruck. Statt einer Erdröhre beim Nesteingang findet man im Linzer Raum, wie bei marginatum, nur einen kleinen Kegel aus ausgeräumtem Bodenmaterial.

Blütenbesuch: Potentilla, Origanum, Salix, Achillea (H), Pulsatilla (m).

26. damascenum (Pér.)

Halictus damascenus Pérez, Bull. Soc. Rouen, 46, 1911, p. 43, ♀. Halictus semitomentosus Blüthgen, Arch. Naturg., 89, 1923, p. 274, ♀♂.

Diese ostmediterrane Art, von Ungarn bis Syrien (Blüthgen, 1924 c; Pulawski, G, m), ist aus Österreich noch nicht bekannt geworden.

Blütenbesuch: Erodium, Tamarix (Mavromoustakis, 1954, 1957).

27. pauxillum (Schck.)

Hylaeus pauxillus Schenck, Jahrb. Ver. Naturk. Nassau, 9, 1853, p. 146, ♀. Hylaeus immarginatus Schenck, ibidem, p. 148, ♂.

Hylaeus similis Schenck, ibidem, p. 146, \mathcal{Q} .

Halictus delicatus Pérez, Espèces nouv. Mellif., 1903, p. 48, Q.

Halictus algericolellus Strand, Arch. Naturg., 75, 1909, p. 23, \cite{Q} .

Halictus luteostigmatellus Strand, ibidem, p. 39, ♀.

Halictus pseudopunctulatus STRAND, ibidem, p. 48, 3.

Die Kurve des jahreszeitlichen Auftretens im Linzer Becken zeigt Figur 120. Von den verwandten sozialen Arten hat pauxillum eine ökologisch breitere Valenz, steigt vereinzelt in höhere Lagen des Mühlviertels auf: Sarleinsbach (M), Gutau (G). Auch im Alpenvorland

weit verbreitet: Kremsmünster (M), Peuerbach, St. Willibald (m), Reichersberg (G), Ampflwang (M); aus dem Alpengebiet noch kein Nachweis.

Im südlichen Mitteleuropa und im Süden von Spanien und Marokko bis Transkaukasien, Tschandyr (Blüttigen, 1924 b, 1933 c, 1937 c) weit verbreitet.

Die Art ist sozial; die überwinternden Königinnen (f. immarginatum) ziehen eine Sommerbrut von Arbeiterinnen (f. pauxillum) heran (KNERER, 1968).

Blütenbesuch: Salix, Achillea, Carduus (H), Potentilla, Scabiosa, Angelica, Leontodon, Solidago, Glechoma (m).

28. tricinctum (Schck.)

Halictus tricinctus Schenck, Berliner ent. Zeitschr., 18, 1874, p. 161, δ. Halictus delmasi Pérez, Espèces nouv. Mellif., 1903, p. 46, Ω.

In Oberösterreich sehr selten: Marchtrenk, 14. April 1961, 10 \Im , 26. April 1962, 2 \Im ; Gusen, 5. Mai 1961, \Im (P); Mauthausen, 26. März 1961, 4 \Im (G).

In Süddeutschland bis zur Maingegend; in Mitteleuropa von der Südwestschweiz (Beaumont, 1955), Südtirol, Triest, Budapest; in Südeuropa von Spanien bis Syrien (Blüthgen, 1924 c), aber auch da selten.

29. setulellum (STRD.)

Halictus setulellus Strand, Arch. Naturg., 75, 1909, p. 52, Ç. Halictus setulellus Strd., Blüthgen, Arch. Naturg., 89, 1923, p. 273, &.

Eine mediterrane Art, die aus Österreich von Oberweiden sicher bekannt ist; im Süden von Südwestfrankreich bis zum Kaukasus (Blüthgen, 1924 c).

30. laticeps (Schck.)

Halictus laticeps Schenck, Jahrb. Ver. Naturk. Nassau, 21/22, 1867/68 (1870), p. 305, $\, \mathcal{Q} . \,$

In Oberösterreich ist die Art sehr häufig; außer in den wärmeren Teilen des Landes auch in den höheren Lagen des Mühlviertels: Sarleinsbach (M), Kefermarkt (P), Gutau (G), aber hier sehr selten. Im Gebirge nur aus den Tallagen bekannt: Klaus (G, H, S), Micheldorf (M).

Sie ist in ganz Europa weit verbreitet, außer im Norden, auch im Süden von Spanien bis Transkaukasien (Blüttigen, 1924 b).

Über die Biologie ist nichts bekannt. Die Kurve des jahreszeitlichen Auftretens im Linzer Becken (Figur 121) läßt ein soziales Ver-

halten leicht vermuten. Die Bauten sind oft in großer Anzahl auf engem Areal. Selbst mitten in der Stadt zwischen den Fugen der Gehsteigplatten und Hausmauern, an Südseiten ist diese Art schon bald im März mit dem Nestbau beschäftigt. Ein Weibchen im Landesmuseum aus Linz-Stadt, 20. April 1930, lg. Kloiber, trägt auf einem Zettel die Bemerkung: "zu Hunderten an einer Hausmauer."

Blütenbesuch: Taraxacum, Ribes (P), Salix, Daucus, Pastinaca, Papaver, Hieracium, Arabis, Potentilla, Centaurea, Origanum (H), Tussilago, Angelica, Salix, Scabiosa (m).

31. fulvicorne (K.)

Melitta fulvicornis Kirby, Monogr. apum Angliae II, 1802, p. 67, ♂. Halictus subfasciatus Nylander, Notis. Saellsk. faun. et fl. Fenn. Förh. I, 1848, p. 200 (partim).

Halictus opacifrons Pérez, nom. nov., Bull. Soc. Rouen, 46, 1911, p. 43.

In Oberösterreich ist die Art überall verbreitet und häufig, auch in den klimatisch rauheren Lagen häufiger als die vorige Art. Aus den hohen Lagen des Mühlviertels von Kollerschlag, Haslach (G), Sarleinsbach (M), Bad Leonfelden, Reichenthal, Waxenberg (m), Gutau, Kefermarkt (G), Hellmonsödt (M, m) bekannt, ebenso im Alpengebiet: Trattenbach im Ennstal (M), Klaus, Hinterstoder (G), Molln (P, m), Goisern (P), Laussa (G).

In Europa im Norden bis Finnland (Valkeila), in Südeuropa nur in den Gebirgen, nach Osten aus Buchara, Mongolei und Irkutsk (Blüthgen, 1924 b, c) bekannt.

Über die Stufe der Sozietät ist nichts Sicheres bekannt; die Kurve des Auftretens im Linzer Becken (Figur 122) läßt die Möglichkeit für soziales Verhalten offen, doch kann solches nicht bewiesen werden.

B l ü t e n b e s u c h : Salix, Potentilla, Pastinaca, Arabis, Ranunculus (H), Salix, Potentilla, Ajuga, Taraxacum, Pulmonaria, Globularia, Mentha, Solidago (m).

32. nigrum (VIER.)

Halictus niger Viereck, Amer. Ent. Soc. Trans., 29, 1903, p. 57, ♀♂.

Halictus subfasciatus Nylander, Notis. Saellsk. faun. et fl. Fenn. Förh. I, 1848, p. 200 (partim).

Halictus fratellus Pérez, Espèces nouvell. Mellif., 1903, p. 47, Q.

Halictus Freygessneri Alfken, Abh. nat. Ver. Bremen, 1904.

Halictus norvegicus Strand, Nyt. mag. f. naturv., 48, 1910, p. 337, 3.

Standort des Typus: Academy of Natural Sciences of Philadelphia. Viereck bezeichnet entsprechend der damaligen Gepflogen-

heit keinen Holotypus, sondern nur: "One \mathcal{Q} , ten \mathcal{O} ". Das Weibchen, das er vorangestellt hat, bezeichne ich als Hololectotypus. Es trägt den Fundortzettel: Beulah, 8/17. N. M., H. Skinner (bedeutet wohl: August 1917, N. M. = New Mexico) und trägt einen roten Zettel: Type No. 504; darunter in Handschrift die Determinationsetikette: Halictus \mathcal{Q} niger Vier type.

Lasioglossum nigrum ist eine ungemein variable Art. Schon Blüthgen (1920) bemerkt, wie variabel das Propodeum bei dieser Art sein kann. In den entscheidenden Merkmalen weicht der Typus von mitteleuropäischen Exemplaren nicht ab. Im einzelnen stellte ich folgende Meßwerte fest: Gesicht l: b = 1,96: 1,88. Mesonotum an der Normstelle: $15-20~\mu~/~0,5-1,3$, punktiert, Zwischenräume lederartig, sehr matt. Scutellum mitten zerstreuter punktiert als am Rand: $15-20~\mu~/~0,5-1,7$, Zwischenräume glatter, glänzender. Wenn Viereck in seiner Beschreibung sagt: "Scutellum partly shining, more sparsely punctured than dorsulum", so kommt das daher, daß die glänzenderen Punktzwischenräume auf dem Scutellum optisch größer erscheinen als die tiefmatten auf dem Mesonotum. Obige Werte stehen mitten in der Variationsbreite mitteleuropäischer Exemplare.

Kopf, auch auf seiner Unterseite, Pleuren, Farbe und Behaarung und Hintertibieninnensporn wie bei mitteleuropäischen Exemplaren

Die Punktierung auf der basalen Hälfte von Tergit 2 (8 – 12 μ / 1,5 – 3,0 und noch zerstreuter), die in der Querchagrinierung verschwindet, ist der einzige Unterschied gegenüber mitteleuropäischen Tieren, doch auch hier der Variationsbreite so nahe, daß man bei einer so variablen Art, wohl wegen der weiten Verbreitung, nicht von einem artspezifischen Unterschied sprechen kann.

Aus den Niederen Tauern (lg. Franz) liegt mir ein Weibchen vor, das dasselbe Propodeum bzw. Mittelfeldstruktur wie der Lectotypus hat, nämlich grob verworren bis ans Ende gerunzelt, am Ende ganz leicht, kaum merklich gerandet. Ebenfalls kommt dieses Weibchen in der Struktur des 2. Tergits dem Lectotypus fast identisch nahe: auf der Basis Punkte von $8-12\ \mu\ /\ 1,5-4,0,$ die Chagrinierung dazwischen eine Spur schwächer als beim Lectotypus, doch weit deutlicher als bei den Weibchen vom Mühlviertel. Doch ein Weibchen aus Reichenthal, Allhut, CSSR-Grenze, vom 1. Mai 1966, lg. et coll. m., zeigt die äußerst feine (erst ab 60fach gut sichtbare) Querchagrinierung auf Tergit 1 wie der Lectotypus. Sonst unterscheiden sich die Populationen des Mühlviertels auch durch ein um etwa 15 μ längeres Mittel-

feld, dessen Struktur meist mehr oder weniger starke Längskiele aufweist und etwas glänzender ist. Ebenso sind die Tergite durchschnittlich etwas glänzender, Tergit 1 völlig glatt, fast punktlos, die folgenden Tergite ganz leicht chagriniert.

Die Synonymie stellte zwar schon Michener, 1951, auf; jedoch bestreitet dies Knerer, 1968, insofern, als diese Art aus Toronto und New York, wie Michener sie meldet, nicht nachzuweisen ist. Nach Knerer (mündliche Mitteilung) soll der locus typicus nicht stimmen, was aber auf die Festlegung der Synonymie keinen Einfluß hat.

Von den zehn Männchen, die Viereck zum Weibchen stellt und von denen mir keines vorlag, kann ich wegen der mangelhaften Beschreibung (nur Angaben über Farbe) nicht beurteilen, ob diese sicher zum Weibchen dazugehören; für die Festlegung der Synonymie ist es ebenfalls bedeutungslos.

In den kühleren Teilen Oberösterreichs ist die Art nicht selten; steigt entlang von Bächen und Waldungen bis in die Ebene herab, hier aber äußerst selten: Aigen-Sonnwald, 1. August 1964, \circlearrowleft (G); Vorderweißenbach, im Hochmoor beim Schütz auf der Au, in Eberhardschlag und beim Forsthaus häufig; Bad Leonfelden, Affetschlag, 11. Mai 1968, 3 \circlearrowleft ; Bad Leonfelden, Hagau, 9. Mai 1967, \circlearrowleft ; Reichenthal, Allhut, CSSR-Grenze, 1. Mai 1966, 2 \circlearrowleft ; Reichenthal, Graslmühle, 7. September 1966, \circlearrowleft ; Schenkenfelden, Kalvarienberg, 12. April 1964, 3 \circlearrowleft (m); Gutau, 20. August 1969, \circlearrowleft (G); Sternstein, 1. Mai 1950, \circlearrowleft (Klimesch), Oberbayring, 4. Juli 1937, \circlearrowleft (M); Bachl, 19. Juli 1932 (P); Puchenauer Graben, 2. Mai 1969, \circlearrowleft (G).

Nur ein Fund ist aus Linz bekannt: Donau-Au, 3. Mai 1937, \bigcirc (M). Und ein Fund aus den niedrigeren Lagen im Donautal: Wesenufer, 23. April 1962, \bigcirc (H) und in großen Waldungen bei St. Willibald, 30. August 1965, \bigcirc (m).

Auch aus dem Alpengebiet sind nur Einzelfunde bekannt: Laudachsee, 26. September 1961, \circlearrowleft ; Klaus-Steinwänd, 15. April 1961, \circlearrowleft ; Hinterstoder, 18. Juli 1967, \circlearrowleft (G); Windischgarsten, 23. Juni 1961, \circlearrowleft , 27. Mai 1963, 2 \circlearrowleft (P); Wurzeralm-Warscheneck, 6. August 1969, \circlearrowleft (G); Feuerkogel, 1500 — 1700 m, 20. August 1969, \circlearrowleft , 27. — 29. August 1970, \circlearrowleft (Ku); Bosruck-Arlingsattel, 1400 m, 29. August 1968, \circlearrowleft , (m).

Im ganzen kühleren Teil Europas, besonders im Norden (Finnland, Valkeila), im Süden nur in den Gebirgen, bis Marokko (Alfken,

1913/14), wohl nur in den hohen Lagen des Atlas; nach Osten bis zum Pazifik (Kamtschatka, Blüthgen, 1935 a).

In der Nearktis ist sie sicher von Südlabrador nachgewiesen, Matamek-River (Eidmann, 1935, det. v. Blü.). Michener meldet diese Art von Nova Scotia, New York (nach Knerer nicht verifizierbar), Alberta, British Columbia, south in the mountains to New Mexico.

Von allen aus Mitteleuropa bekannt gewordenen Halictiden hat nach der bisherigen Kenntnis diese Art die weiteste Verbreitung.

Blütenbesuch: Arabis (H), Salix, Vaccinium, Solidago, Tussilago, Calluna (m).

33. rufitarse (Zett.)

Halictus rufitarsis Zefterstedt, Insect. Lappon., I, 1838, p. 462, ♀♂.

Halictuslucidus Schenck, Jahrb. Ver. Naturk. Nassau, 14, 1859 (1861), p. 270, $\+Q$.

Halictus parumpunctatus Schenck, Jahrb. Ver. Naturk. Nassau, 21/22, 1867/68 (1870), p. 306, $\mathring{\mathcal{C}}$.

Halictus atricornis Smith, Entomol. Annual, 1870, p. 26, ♀♂.

Diese ebenfalls holarktische Art steigt in Oberösterreich etwas häufiger in tiefere und wärmere Lagen herab als die verwandte vorige Art. Sarleinsbach, 16. Juni und 24. Juni 1944, je ein \mathbb{Q} , 10. September 1932, \mathbb{Q} (M); Vorderweißenbach-Forsthaus, 11. September 1966, \mathbb{Q} , Bad Leonfelden, 11. Juni 1966, \mathbb{Q} , 8. September 1966, \mathbb{Q} , 3. September 1966, \mathbb{Q} ; Reichenthal, Graslmühle, 11. April 1967, \mathbb{Q} , 7. September 1966, 2 \mathbb{Q} ; Holzmühle, 14. April 1968, \mathbb{Q} , 2. August 1968, \mathbb{Q} , 22. August 1968, \mathbb{Q} , 31. Hischbach-Zeißberg, 16. April 1967, \mathbb{Q} (m); Gutau, 17. Juni 1961, \mathbb{Q} , 22. Juni 1961, 2 \mathbb{Q} (G); Koglerau, 8. Juni 1965, 2 \mathbb{Q} (m); Haselgraben, 12. April 1961, 2 \mathbb{Q} (S).

Aus dem Linzer Becken: Schiltenberg, 9. Mai 1936, Marchtrenk, 29. Juli 1932, \circlearrowleft (M); Plesching, 10. Juli 1968, \circlearrowleft , 9. Juli 1958, \circlearrowleft (S); Pfenningberg, 29. Mai 1959; Dörnbach, 20. Mai 1928; Sierninghofen, 21. April 1961, je ein \circlearrowleft (P); Luftenberg, 10. Mai 1947 (H, von Pittioni als punctatissimus determiniert!) \circlearrowleft ; Rottenegg, 22. Juni 1968, \circlearrowleft (m).

Nur zwei weitere Funde aus Oberösterreich: St. Willibald, 27. August 1965, \circlearrowleft (m) und Oberschlierbach, 10. Juli 1966, \circlearrowleft (G). Eigenartigerweise liegen keine Funde aus dem Alpengebiet vor.

Im kühleren Teil Europas ist die Art in Schweden (Blüthgen, 1958) und Finnland (Valkeila) nachgewiesen; die bisher bekannte

Südgrenze liegt bei Neuchâtel (Beaumont, 1955). In der Paläarktis kommt sie nach Osten bis Kamtschaka (Blüttigen, 1935 a) vor.

In Nordamerika meldet sie Michener (1951) aus Nova Scotia, New Brunswick, Ontario, Michigan.

Blütenbesuch: Solidago (m).

34. minutum (K.)

Melitta minuta Kirby, Monogr. apum Angl., II, 1802, p. 61, Q.

Hylaeus parvulus Schenck, Jahrb. Ver. Naturk. Nassau, 9, 1853, \Diamond (= minutum \Diamond).

Halictus ferrugineipes Schenck, Jahrb. Ver. Naturk. Nassau, 21/22, 1867/68 (1870), p. 306, δ.

Halictus striatus Schenck, ibidem, p. 306, ♀.

Im Linzer Becken kommen die Weibchen vom März an vor, mit einem steilen Maximum des Auftretens im April (Figur 123). Die Männchen sind sehr selten. Hinter dieser abnormen Kurve dürfte sich eine biologische Abweichung verbergen, die bislang nicht bekannt ist.

Außerhalb des Linzer Beckens ist die Art nur sehr vereinzelt aus dem Mühlviertel bekannt: Kleinzell, Neufelden, Kefermarkt (G), Bad Leonfelden, Reichenthal, Waxenberg, Gramastetten (m).

Im gemäßigten Europa ist sie von England (loc. typ.) bis Polen (Pulawski), nach Süden bisher bis Nordspanien (Всётноем, 1924 b), Neuchâtel (Велимонт, 1955), Istrien, Učka, 1400 m (m) sicher bekannt.

Die Angaben Bonellis (1954 a) haben zur Klärung der Biologie der Art nichts beigetragen; ich zweifle auch, ob es sich sicher um minutum handelte.

Blütenbesuch: Salix (H), Campanula (M), Tussilago (Hauptfutterpflanze), Salix, Salvia (m).

35. nitidiusculum (K.)

Melitta nitidiuscula Kirey, Monogr. apum Angl. II, 1802, p. 64, 3.

Halictus nitidulus Pérez, Espèces nouv. Meliff., 1903, p. 50, Q.

Halictus arnoldi Saunders, Ent. month. Mag., 1910, p. 11, Q.

Diese solitäre Art ist in Oberösterreich häufig (Figur 124). Sie wurde im Mühlviertel von Bad Leonfelden, Reichenthal, Freistadt (m), Gusen (G) nachgewiesen; außerdem von Wernstein am Inn.

In Europa ist sie in der Verbreitung ähnlich wie die verwandte vorige Art von England (loc. typ.) bis Polen (Pulawski), nach Süden bis Nordspanien (Вьйтнден, 1924 b), Neuchâtel (Велимонт, 1955), Griechenland, Chelmos, 1900 m (H) bekannt.

Blütenbesuch: Taraxacum (P), Umbelliferae, Solidago (m).

36. minutulum (Schck.)

Hylaeus minutulus Schenck, Jahrb. Ver. Naturk. Nassau, 9, 1853, p. 165, ♂. Hylaeus sublaevis Schenck, ibidem. p. 168. ♀.

Halictus ambiguus Schenck, ibidem, 14, 1859 (1861), p. 394, Q.

Halictus semipunctulatus Schenck, ibidem, 21/22, 1867/68 (1870), p. 308, ♀.

Aus dem Süden ist sie von der Südschweiz (Beaumont, 1955, 1960) und Spanien (Blüthgen, 1924 b) bekannt.

37. setulosum (STRD.)

Halictus setulosus Strand, Arch. Naturg. 75, 1909, p. 52, ♀.

Halictus zius Strand, ibidem, p. 61, 3

Halictus oblongatulus Вьётнден, Jahrb. Ver. Naturk. Nassau, 71, 1918, p. 211, \circlearrowleft \circlearrowleft .

Erst ein Fund liegt aus Oberösterreich vor: Marchtrenk, Brachacker, 25. Juni 1950, 2 \mathbb{Q} (H).

In Mitteleuropa ist sie selten und sehr lokal, nach Norden reicht sie bis Berlin, nach Osten in Asien bis Jakutsk (Sibirien) (Blüthgen, 1924 c)

Soviel aus den wenigen bekannten Fundorten entnommen werden kann, lebt diese Art nur auf trockenen, sandigen Stellen.

38. quadrinotatulum (Schck.)

Halictus quadrinotatulus Schenck, Jahrb. Ver. Naturk. Nassau, 14, 1859, (1861), p. 393.

Halictus pallipes Morawitz, Hor. Soc. Ent. Ross., 3, 1865, p. 72, ♀ ♂.

Halictus megacephalus Schenck, Jahrb. Ver. Naturk. Nassau, 21/22, 1867/68 (1870), p. 308, $Q \circlearrowleft$.

Halictus sexsignatus Schenck, ibidem, p. 311, Q.

Halictus Dmitrijewi Mor. sec. Vachal, Rev. Russ. d'ent., 1902, p. 228.

Verwandtschaftlich steht sie sehr isoliert. Als typischer Sandbewohner wurde sie nur in Gebieten des Linzer Beckens mit Sandund Lößaufschlüssen gefunden: Linz-Umg., 2. Juli 1937, $\[\bigcirc \]$ (M); Plesching, 19. März 1961 (P); Luftenberg, 3. Mai 1969 (G), 31. Juli 1968 (m), 1 bzw. 3 $\[\bigcirc \]$ $\[\bigcirc \]$

Sie kommt in ganz Mittel- und Südeuropa, nach Süden bis Algerien (Alfken, 1913/14), nach Osten bis Kleinasien (P), nördlich bis Sibirien (Stöckhert, 1933) vor.

39. laeve (K.)

Melitta laevis Kirby, Monogr. apum Angl., II, 1802, p. 65 Q.

Hylaeus convexus Schenck, Jahrb. Ver. Naturk. Nassau, 9, 1853, p. 161, δ.

Halictus nigriventris Arnold, Hor. Soc. Ent. Ross., 28, 1894, p. 161.

Halictus Kriegeri Alfken, Ent. Nachr., 23, 1897, p. 105, Q.

Die Art ist sehr selten und einzeln; aus Oberösterreich sind erst drei Funde bekannt: Bachl, 31. Juli 1935 und Sarleinsbach, 11. August 1931 (M), je ein \mathcal{O} ; Altenfelden, 21. Juni 1971, \mathcal{O} (m).

Weit verbreitet ist sie in der Paläarktis, im Norden von England (loc. typ.) über Polen (Pulawski), Mittelrußland (Arnold) bis Kamtschatka (Gussakovskij, 1932), im Süden nur in den höheren Lagen, von Spanien (Blüthgen, 1924 b), Sizilien, Ätna-Osthang (S) und Südhang (H), Griechenland, Chelmos, 1900 — 2100 m (H, S) bekannt.

Die in der Literatur geäußerte Meinung (Blüttigen, Stöckhert, Knerer), daß die Weibchen wesentlich seltener seien als die Männchen, kann ich keineswegs bestätigen, wenn auch die Männchen gering überwiegen.

40. corvinum (Mor.)

Halictus corvinus Morawitz, Hor. Soc. Ent. Ross., 14, 1878, p. 91, Q. Halictus corvinus Mor., Blüthgen, Arch. Naturg., 89, 1923, p. 282, 3.

In Mitteleuropa ist ein Fund aus Deutschland, Kreuzberg bei Bamberg und einer aus Ungarn (Blüthgen, 1949, 1923) bekannt. Ein Vorkommen in Ostösterreich ist daher möglich.

Im Süden ist die Art von Frankreich (Pérez, 1890, H, S) bis Kleinasien (G) und zum Kaukasus (loc. typ.) bekannt.

Sie gehört verwandtschaftlich eng zu den drei folgenden Arten, und nicht zu *clypeare*, was man aus dem langgestreckten Gesicht des Weibchens vermuten könnte.

Blütenbesuch: Rubus (H).

41. puncticolle (Mor.)

Halictus puncticollis Morawitz, Ver. zool. bot. Ges. Wien, 22, 1872, p. 370, ♀. Halictus puncticollis Saunders, Ent. month. Mag., 15, 1879, p. 200, ♀♂. Halictus saundersii Dalla Torre, Ent. Nachr., 10, 1895, p. 40 (nom. nov.).

Eigenartigerweise wurde diese weit verbreitete Art in Oberösterreich nicht gefunden. In Österreich ist sie östlich von Wien und im Burgenland, auch in der Südsteiermark (G) verbreitet.

In Europa kommt sie nördlich bis England (Stöckhert, 1933), im Süden von Algerien (Alfken, 1913/14), über Spanien (Blüthgen, 1924 b), Italien (G, S), Jugoslawien bis Kleinasien (G) vor.

Nach Knerer, 1968, ist die Art sozial, Nester finden sich oft in großen Kolonien in den Wänden von Lehmgruben.

42. truncaticolle (Mor.)

Halictus truncaticollis Morawitz, Hor. Soc. Ent. Ross., 14, 1878, p. 92, \diamondsuit . Halictus brevithorax Pérez, Espèces nouv. Mellif., 1903, p. 49, \diamondsuit . Halictus blidahensis Strand, Arch. Naturg., 75, 1909, p. 25, \diamondsuit . Halictus sudaghensis Strand, ibidem, p. 55, \diamondsuit .

Sie ist eine südeuropäische Art, die in Ungarn bis Mitteleuropa vordringt (Pillich, 1936). In Südeuropa kommt sie von Spanien (Blüthgen, 1924 b), über Südfrankreich (G, S), Italien (G, S), Jugoslawien (P), Kleinasien (G, Ku) bis zum Kaukasus (loc. typ.) vor.

43. villosulum (K.)

Melitta villosula Kirby, Mongr. apum Angl., II, 1802, p. 62, \Diamond . Melitta punctulata Kirby, ibidem, p. 66, \Diamond .

Halictus hirtellus Schenck, Jahrb. Ver. Naturk. Nassau, 21/22, 1867/68 (1870), p. 311, ♂.

Halictus Medinai Vachal, Ann. Soc. Esp. Hist. Nat., 1895, p. 148, &. Halictus pauperatulellus Strand, Arch. Naturg., 75, 1909, p. 44, &.

Die Art ist im Linzer Raum sehr häufig (Kurve des jahreszeitlichen Auftretens Figur 125).

Auch in den höheren Lagen ist sie nicht selten: Sarleinsbach (M), Bad Leonfelden, Reichenthal (m), Gutau (G); ebenfalls im Gebirge: Ennstal, Schoberstein, 1278 m (M), Klaus (H), Gleinkersee (P).

In Europa sehr weit verbreitet, kommt sie im Norden bis Finnland (Valkeila); im Süden von den Kanarischen Inseln (Saunders, 1903), Marokko, Ägypten (Blüthgen, 1933 c, b) bis zum Euphrat (Urfa) (G) vor.

Nach Knerer (1968) ist die Art sozial und erzeugt im Sommer Arbeiterinnen. Nach der Kurve (Figur 125) treten aber zusammen mit den Arbeiterinnen auch schon Männchen auf, erst in der dritten Versorgungsphase Königinnen und eine große Anzahl Männchen. Dieses statistische Ergebnis zeigt einen doppelt so starken Überhang der Männchen, im Gegensatz zur Meinung von Plateaux-Quenu (1960), daß die Geschlechter in gleichen Proportionen auftreten. Blüttigen (1930 a, p. 743) schildert eine Weibchenvariation, die größer ist, durch dichter, gleichmäßig und tiefer punktiertes Mesonotum, durch flacheren Scheitel und meist auch durch glanzloses, sehr dicht punktiertes Stirnschildchen abweicht. Mir wurde diese Form von Winden, 9. Juli 1961

(P); Neusiedl, 25. bis 30. Juni 1966 (S); Zurndorf, 6. August 1968 (m) und Polen, Sandomierz, 11. Juni 1953 (Pulawski) bekannt. Möglicherweise bildet in warmen Gegenden (auch der Fundort von Polen ist in einem Steppengebiet) diese Art eine von den Arbeiterinnen morphologisch verschiedene Königinnenform aus.

Blütenbesuch: Achillea, Buphthalmum, Papaver, Heracleum, Senecio (H), Solidago, Umbelliferae (m).

44. brevicorne (Schck.)

Halictus brevicornis Schenck, Jahrb. Ver. Naturk. Nassau, 21/22, 1867/68 (1870), p. 310, 3.

Halictus lucidicollis Pérez, Esp. nouv. Mellif. Barbariae, 1895, p. 55, ♀.

Halictus analis Pérez, Espèces nouv. Mellif., 1903, p. 49, 3.

Halictus brevicornis, ssp. aciculatus Blüthgen, in Schmiedeknecht; Die Hymenopteren Nord- und Mitteleuropas, Jena, 1930, p. 704, $\mathbb Q$, p. 760, $\mathbb Q$.

Aus Österreich ist die Art nur von Oberweiden bekannt: 6. August 1959, \circlearrowleft (P); 8. August 1967, \updownarrow (m).

In Europa ist sie weit verbreitet, im Norden bis Südschweden, im Süden von den Kanaren bis Afghanistan (Blüthgen, 1958, 1961).

Offen ist, was die Ursachen für die Entstehung der Subspezies aciculatum sind. Bisher wurde nur ein sehr disjunctives Vorkommen festgestellt: Rossitten (loc. typ.), Polen, Wroclaw (Pulawski), Wallis (m) und Afghanistan (Blü.). Soweit ich bisher feststellen konnte, handelt es sich auch nicht um eine ökologische Subspezies.

45. limbellum (Mor.)

Halictus ventralis Pérez, Espèces nouv. Mellif., 1903, p. 46, 98.

Halictus gibbulus Pérez, Espèces nouv. Mellif., 1903, p. 47, Q.

Halictus combinatus Blüthgen, Mitt. Schweiz, Ent. Ges., 13, 1921, p. 138, $\Diamond \Diamond$. Halictus limbellus Mor., var. dongarica Blüthgen, Konowia, 13, 1934, p. 159, \Diamond .

Halictus limbellus Mor., ssp. troodicus Blüthgen, Konowia, 16, 1937, p. 48, $Q \circlearrowleft$.

Von dieser mediterranen Art wurden im Linzer Becken in Plesching, Austernbank und am Pfenningberg, Hang ober dem Moar z' Plesching, beide Geschlechter in Anzahl gefangen (M, G, H, S). Die Weibchen von 8. April bis 15. Oktober, die Männchen von 10. August bis 15. Oktober. Nur ein Fund liegt außerhalb dieses Gebietes: Puchenau, Waldrand an der Ottensheimer Straße, 28. Juli 1949 (H).

In Europa geht die Art nach Norden bis auf die Kanalinsel Guern-

sey (Stöckhert, 1933), im Süden von Spanien (Pérez, 1902) bis Turkestan (Blüthgen, 1934).

Blütenbesuch: Campanula, Papaver (H).

46. interruptum (Pz.)

Hylaeus interruptus Panzer, Faun. Insect. German., V, 1798, p. 55. Hylaeus geminus Erichson, Waltl: Reise durch Tirol etc., 1835, p. 103, ♀. Halictus opacus Pérez, Espèces nouv. Mellif. Barbariae, 1895 Halictus trispinosus Alfken, Zeitschr. Hym. Dipt., 7, 1907, p. 202, ♀.

Im Linzer Becken ist die Art ziemlich häufig (Kurve des jahreszeitlichen Auftretens Figur 126), sonst nur noch in der Welser Heide bis Marchtrenk.

In Europa hat sie ihre Nordgrenze in den warmen Teilen Mitteleuropas, im Süden kommt sie von Marokko (Blüthgen, 1933 c), Spanien, Italien (S) bis Kleinasien (Ku, G) vor.

Nach Knerer (1968) ist die Art sozial, sie hat Frühjahrsnester mit mehreren Weibchen und Zellen in Waben. Der Nesteingang ist als kurze Lehmröhre verlängert.

Blütenbesuch: Lotus, Pulsatilla (H), Potentilla, Taraxacum (m).

47. crassepunctatum (Blü.)

Halictus crassepunctatus Blüthgen, Arch. Naturg., 89, 1923, p. 280, $\mathbb Q$, Arch. Naturg., 90 (1924), 1925, p. 88, $\mathcal S$.

Sie ist eine ostmediterrane Art, deren Vorkommen von Transbaikalien über Kleinasien bis Ungarn nach Mitteleuropa reicht, im Süden bis Istrien und Florenz.

48. pauperatum (BR.)

Halictus pauperatus Brullé, Exped. soc. morée. Zool., II, 1832, p. 352, \diamondsuit . Hylaeus pullus Erichson, Waltl: Reise durch Tirol etc., 1835, p. 103, \diamondsuit . Halictus breviceps Saunders, Ent. month. Mag. 15, 1879, p. 200, \diamondsuit \diamondsuit . Halictus pauxillodes Strand, Arch. Naturg., 75, 1909, p. 45, \diamondsuit .

Diese sehr variable mediterrane Art dringt im Westen nach Mitteleuropa vor: Oberrheingebiet, Elsaß, Mainz (Blüthgen, 1944); während ein Vorkommen von Ungarn noch nicht bekannt ist. Im Süden ist sie von Marokko (P), Spanien (Blüthgen, 1924 b), Frankreich, Italien, Griechenland bis Kleinasien (S) bekannt.

49. denislucum (STRD.)

Halictus denislucus Strand, Arch. Naturg., 75, 1909, p. 30, Q. Halictus denislucus Strd., Blüthgen: Arch. Naturg., 90 (1924), 1925, p. 112, 3.

Sie ist nur von Kleinasien bekannt; wurde wegen der Klärung der Verwandtschaft mit patulum in die Tabelle aufgenommen.

50. patulum (VACH.)

Halictus patulus Vachal, Ann. Naturhist. Hofmus., 20, 1905, p. 21, ♀. Halictus patulus Vach., Blüthgen: Mitt. Mus. Berlin, 17, 1931, p. 390, ♂. Halictus spretus Pérez, Bull. Soc. Rouen, 46, 1911, p. 85, ♀ (nov. syn.).

Um diese Art handelt es sich bei den von Blüttigen zum Teil als aff. pygmaeus und aff. denislucus bezeichneten Exemplaren aus dem östlichen Mitteleuropa. Die Untersuchung des Typus und reichlicheres Material erbrachte das Ergebnis, daß die bisher als kleinasiatisch gehaltene patulum weit nach Mitteleuropa vordringt.

Im einzelnen lassen sich zwei Rassen unterscheiden: eine östliche in Kleinasien. Die Weibchen haben etwas zerstreuter punktiertes Mesonotum, Gesicht nach unten stärker verschmälert, Stigma heller (aber auch dunkel). Die Männchen sind kleiner, Behaarung hell-weiß, Mesopleuren unten hinten immer glänzend, Randung des Mittelfeldes durchschnittlich schwächer. Eine westliche Rasse in Europa: Die Weibchen mit einer Spur dichter punktiertem Mesonotum, Gesicht nach unten etwas weniger verschmälert, Stigma dunkelbraun. Die Männchen sind etwas robuster, Behaarung gelblich, Mesopleuren bei einzelnen Exemplaren unten rauher skulptiert, daher matt, Randung des Mittelfeldes meist stärker, besonders gegenüber den Seitenfeldern. Bei den Krümmungen des Gonostylus kann kein konstanter Unterschied festgestellt werden.

Diese Merkmale verschwimmen bei einzelnen Tieren, so gibt es z. B. aus Kleinasien Weibchen mit fast matten Mesopleuren, wie in Europa. Daher sind mir die Unterschiede für die Aufstellung einer eigenen geographischen Subspezies zu wenig signifikant und ich sehe vorderhand von einer Benennung ab.

Aus dem Raum Linz sind zwei Funde bekannt: Pfenningberg, 16. August 1911, ♂ (M); Schiltenberg-Mönchgraben, 2. August 1958, ♂ (H).

In Mitteleuropa ist das bisher westlichste Vorkommen in Franken, Pappenheim, 4. Juni 1933, 2 \Im , 28. Juni 1933, \Im , lg. Stöckhert, coll. Museum München und coll. m. Weiters wurde die Art noch in Ostösterreich festgestellt: Winden (G, P), Oberbreitenbrunn (H). Von da an nach Osten in Ungarn (Pillich, 1936; von Blüthgen als aff. pygmaeus bezeichnet), Mazedonien, Drenovo (Klimesch), Bosporus

(Blüthgen, 1931 b), Kleinasien, Mut, Konya, Gürün, Meram, Ürgüp, Antakya (G). Ein Weibchen und ein Männchen erhielt ich von Knerer aus Südfrankreich; das Weibchen stimmt völlig überein, das Männchen hat etwas längeren Gonostylus; eine sichere Zuordnung zu patulum ist bei diesem Einzelstück nicht möglich.

Blütenbesuch: Umbelliferae, Origanum (H), Centaurea (Pillich).

51. pygmaeum (Schck.)

Prosopis pygmaea Schenck, Jahrb. Ver. Naturk. Nassau, 9, 1853, p. 214, $Q \circlearrowleft$, nec ibidem, 1859.

Hylaeus nitidus Schenck, ibidem, p. 154, ♀.

Halictus distinctus Schenck, ibidem, 21/22, 1867/68 (1870), p. 304, ♂.

Die Art ist im Linzer Raum ebenfalls selten: Gründberg, 4. Juni 1936 (M); Plesching, 3. Mai 1960, \mathbb{Q} (P); Juni 1931, \mathbb{O} (M); Pichling, 3. Juni 1935, \mathbb{Q} (M); Schiltenberg, 27. Mai 1960 (P); westlich im warmen Aschachtal: Koppl, 12. Mai 1959, \mathbb{Q} (G).

Nach Norden kommt diese mediterrane Art an warmen Stellen bis Franken vor (Stöckhert, 1954). Auch in Südeuropa selten, ist sie von Spanien (Blüthgen, 1924 b), Südfrankreich (Knerer) mir sicher bekannt. Über die Ostgrenze besteht Unklarheit. Blüthgen (1931 b) zieht auch spretus Pér., vom Antilibanon beschrieben, zu dieser Art.

52. blüthgeni nom. nov.

Halictus hirtiventris Blüthgen, Arch. Naturg., 89, 1923, p. 283, ♂♀.

Die neue Namensgebung war notwendig, weil hirtiventris ein sekundäres Homonym zu Lasioglossum (Parasphecodes) hirtiventre (Cockerell, 1922) wurde. Michener (1965) stellte das Genus Parasphecodes, Smith, 1853, das ursprünglich nur wegen der roten Färbung der Tergite aufgestellt wurde, mit Recht als Subgenus zu Lasioglossum. Ich schließe mich insofern vorbehaltlos dieser Auffassung an, weil ich Material aus Australien sortierte, bevor ich eine entsprechende Literatur kannte und daher ganz vorurteilslos handeln konnte. Dabei stellte ich ohne Bedenken Weibchen und Männchen mit roter Tergitfärbung zum Genus Lasioglossum, wobei ich mir aber nicht sicher war, ob es sich vielleicht um ein eigenes Subgenus handeln könnte.

Diese ponto-mediterrane Art wurde in Österreich von Piesting und Mödling sicher gemeldet; von da an nach Osten aus Ungarn, Banat, nach Süden aus Istrien, Triest (Blüthgen, 1923 a, 1925), Dubrovnik (m), nach Osten bis Kleinasien (Blüthgen, 1931 b).

53. quadrisignatum (Schck.)

Hylaeus quadrisignatus Schenck, Jahrb. Ver. Naturk. Nassau 9, 1853, p. 150, Q. Hylaeus rufipes, ibidem, p. 164, А.

Hylaeus atratulus Schenck, ibidem, p. 165, 3.

Halictus pleuralis Morawitz, Verh. zool. bot. Ges. Wien, 22, 1872, p. 371, Q. Halictus nigerrimus Schenck, Deutsche ent. Zeitschr., 1875, p. 321, Q.

Diese mediterrane Art wurde in Österreich nur im Osten gefunden: Winden, Baumgarten an der March (G), Neusiedl (P, S, m), Zurndorf (m). Im südlichen Mitteleuropa ist sie sehr vereinzelt bis Sachsen und Rheinland (Stöckhert, 1954), aus Südeuropa von Spanien (Blüthgen, 1924 b) und Griechenland, Chelmos, 1900 m (S) mir sicher bekannt.

Blütenbesuch: Ballota (m).

54. marginellum (Schck.)

Hylaeus marginellus Schenck, Jahrb. Ver. Naturk. Nassau, 9, 1853, p. 147, \bigcirc . Halictus Marqueti Pérez, Espèces nouv. Mellif., 1903, p. 49, \bigcirc .

Halictus marginellus Schck., Alfken: Deutsche ent. Zeitschr., 1910, p. 465, 👌.

Diese ebenfalls mediterrane Art wurde zweimal in Oberösterreich gefunden: Plesching, 25. Juli 1912, \circlearrowleft (M); und Eferding-Karling, 29. Mai 1951, \circlearrowleft (H).

An warmen Stellen im südlichen Mitteleuropa kommt sie bis zur Main-Linie vor; Funde aus Südeuropa sind kritisch zu prüfen, ob nicht eine Verwechslung mit der folgenden Art vorliegt.

55, illyricum n. sp.

M ä n n c h e n : Völlig schwarz, nur Klauenglieder, Mandibelspitze und Tergitenden ab Tergit 2 äußerst schmal dunkelrotbraun, Stigma dunkelbraun.

Gesicht kurz (alle Maße vom Holotypus – l: b = 1,45:1,45), nach unten deutlich verschmälert (Aui o: m: u = 0,93:1,04:0,62), Scheitel flach, Clypeus v = 0,20. Clypeus auf der Endhälfte dicht punktiert (\pm 30 μ / 0,1 – 0,3), die Zwischenräume glatt, glänzend, Stirn etwas feiner, runzlig dicht (25 μ / 0,1) punktiert, die schmalen Zwischenräume leicht chagriniert, doch glänzend. Scheitel ebenso stark, etwas zerstreuter (bis 0,5) punktiert. Zwischenräume glatt. Fühler mittellang, Geißelglied 3 l: b = 0,19:0,16. Kopfunterseite fein längsgerieft, seidig matt.

Mesonotum und Scutellum gröber (25 μ / 0,5 - 1,5) punktiert, Zwischenräume überall glatt und glänzend. Hypoepimeralfeld und Mesopleuren bis ganz unten sehr grob punktiert (25 - 30 μ / 0,1 - 1,0),

dazwischen kleine Punkte um 10 μ eingestreut, Zwischenräume überall glatt und stark glänzend. Mittelfeld rings mit einer scharf erhabenen Leiste umrandet, die bis ans Ende reichenden Längsrunzeln leicht gewellt, die breiten Zwischenräume stark glänzend. Mittelfeld reicht bis ans Ende der horizontalen Propodeumfläche, Seitenfelder abschüssig, mit halb so starken Runzeln wie die des Mittelfeldes, Stutz nur ganz unten mit kleiner senkrechter Seitenkante, Fläche grob wellig skulptiert, matt.

Tergite gleichmäßig gewölbt, ohne Beulen, nur Endteil ab Tergit 3 leicht abgeflacht. Tergite (außer abschüssiger Basis von Tergit 1 ganz unten) gleichmäßig dicht punktiert (9 – 16 μ / 0,5 – 1,5), Zwischenräume überall glatt und glänzend, nur Ende von Tergit 3 zerstreuter, von Tergit 4 vereinzelt, von Tergit 5 ohne Punkte. Sternit 6 am Ende mit flacher Längsmulde. Gonocoxiten fein längsgerieft, glänzend. Gonostylus Figur 80.

Behaarung des Körpers schneeweiß, sehr spärlich, Gesicht in den unteren zwei Dritteln einschließlich der basalen Clypeushälfte undurchsichtig dicht weiß schuppenartig behaart. Tergite nur mit der üblichen staubartigen Bewimperung, ohne Spur von Basalhaarflecken, Sternite neben anliegender winziger zerstreuter Behaarung kurz (0.08-0.10 mm) abstehend behaart. 5.5-6 mm.

Die Differentialdiagnose zu den verwandten Arten marginellum (Schck.) und peregrinum (Blü.) entnehme man der Tabelle E, Nr. 10. Um das unbekannte Männchen von subaenescens (Pér.) kann es sich wegen andersartiger Mesopleurenstruktur nicht handeln. Auch die bisher bekannt gewordene geographische Verbreitung scheint diese Meinung zu bestätigen; subaenescens ist nach den bisher allerdings sehr spärlich bekannt gewordenen Fundorten westmediterran, während illyricum ostmediterran zu sein scheint.

Lasioglossum asiaticum (D. T.) unterscheidet sich von illyricum durch geringere Körpergröße, anderen Gonostylus, ungleichmäßig punktierte Tergite, feiner auf der Scheibe, gröber auf Endteil; Basis von Tergit 2 deutlich eingesattelt; Mittelfeld dichter gewellt, längere Behaarung, aufgehellte Geißelunterseite, helles Stigma.

Holotypus und ein Paratypus: Jugoslawien, Istrien, Učka, 1100-1400 m, 22. Juli 1969, lg. et coll. m.

Der Fundort liegt in lockerem, südmitteleuropäischem Buchenwald mit Kalkboden; baumlose Stellen sind mit Thymian, Cyclamen, Gentiana lutea, Cirsium, Centaurea und Saxifraga bewachsen. Beide

Männchen flogen dort in Gesellschaft von peregrinum, convexiusculum, lissonotum, danuvium und bavaricum.

Weibchen: Schwarz; Mandibelspitze, Klauenglieder und Tergitenden äußerst schmal rötlichbraun, Fühlergeißelunterseite und Stigma schwarzbraun. Gesicht (alle Maße vom Allotypus – 1:b=1,72:1,81) nach unten verschmälert (Auio:m:u=1,12:1,39:0,88), Scheitel flach gleichmäßig gerandet, Clypeus v=0,27, seitlich vorspringende Ecken des Clypeus ziemlich lang (0,06 mm). Clypeus grob, ca. 40 μ /0,1–1,0 punktiert, unten schräg eingestochene längliche Punkte, Zwischenraum glatt. Stirnschildchen 15–25 μ / an der Basis runzlig dicht, am Ende bis 1,5 zerstreut, Zwischenräume glänzend. Stirn gröber (±25 μ), runzlig dicht punktiert, die schmalen Runzeln glatt; Scheitel etwas schwächer und zerstreuter, bis 2,0 punktiert. Kopfunterseite fein längsgerieft, glänzend.

Mesonotum $28-32~\mu~/~0,1-0,5$, nur stellenweise bis 1,5, Zwischenräume völlig glatt; Mittellängslinie vorne tief eingeritzt. Scutellum ebenso grob punktiert, dazwischen mit sehr feinen bis winzigen Punkten, die Punktierung am Rand und in der Mitte, zwei runde Flächen von der Punktierung frei, glatt, glänzend. Hypoepimeralfeld $20~\mu~/~0,1-3,0$, Mesopleuren bis ganz unten $30-40~\mu~/~0,5-1,0$ punktiert, dazwischen einzelne kleine Punkte um $10~\mu$, alle Zwischenräume glatt und stark glänzend. Mittelfeld kürzer als Scutellum, hinten und seitlich bis zur Hälfte mit einer scharf erhabenen Leiste, die sich ganz seitlich verliert; die bis ans Ende reichenden Längsrunzeln leicht gewellt, mit glänzenden Zwischenräumen. Seitenfelder und Stutz rauh skulptiert, glatt, Stutz nur ganz kurz unten mit senkrechter Kante.

Tergitenden sehr breit (auf Tergit 2 breiter als die Scheibe), auf Tergit 1 nur hinter den Beulen, auf Tergit 2 ganz leicht bis zur Mitte, auf den folgenden deutlich eingedrückt. Scheibe von Tergit 1 schwach, äußerst zerstreut (\pm 15 μ / 3–7), Endteil und ganzes Tergit 2 dichter, regelmäßiger (0,5–3,0) punktiert, Tergit 3 und 4 feiner und zerstreuter punktiert, alle Zwischenräume glatt und glänzend. Innensporn der Hintertibien mit 5–7 kleinen Zähnchen.

Sehr spärlich behaart; auf Tergit 2 und 3 sehr kleine Basalhaarflecken. 5,5 mm.

Die Differentialdiagnose zu den verwandten Arten marginellum und peregrinum ist aus der Tabelle 3, Nr. 18 und 19 ersichtlich.

Lasioglossum subaenescens (Pér.) unterscheidet sich durch bunt überhauchtes Mesonotum, hellgelbes Stigma, gröber und dichter

punktierte Mesopleuren (25–45 μ / 0,1–0,5), Tergite, besonders deutlich auf Basis von Tergit 2, gleichmäßiger (0,2–0,8) punktiert.

Lasioglossum asiaticum (D. T.) ist deutlich kleiner, 5 mm; hat hellgelbes Stigma, Tergitenden breiter, heller (bis hellgelb) aufgehellt, feiner, zerstreuter punktiert, z. B. auf Endteil von Tergit 2 8–10 μ / 1–5.

Allotypus: Kreta, Sitia, 17. Mai. 1963, lg. Schwarz, coll. m.

Paratypen: Kreta, Sitia, 17., 18., 19. Mai 1963, je ein \bigcirc , lg. et coll. Schwarz; Knossos, 15. Mai 1963, je ein \bigcirc lg. et coll. Gusenleitner und Schwarz, 3 \bigcirc 13. Mai 1963, lg. et coll. Schwarz, ein \bigcirc 13. Mai 1963, lg. Gusenleitner, coll. m.; Heraklion, 14. Mai 1963, lg. Schwarz, coll. m.; 24. Mai 1963 lg. et coll. Gusenleitner, zwei \bigcirc 25. Mai 1963, lg. et coll. Schwarz.

Lasioglossum (Evylaeus) asiaticum (D. T.)

Halictus pectoralis Morawitz, in Fedtschenko: Turkestan Mellifera, II., 1876, p. 251, Q, nec Halictus pectoralis Smith, 1853.

Halictus asiaticus Dalla Torre, Catalogus Hymenopterorum, 10, 1876, p. 54, nom. nov.

Im Zusammenhang mit der Klärung dieser Verwandtschaftsgruppe möchte ich auch das bisher unbekannte Männchen beschreiben.

Schwarz; letzte Tarsenglieder und Tergitenden äußerst schmal dunkel rötlichbraun, Fühlergeißelunterseite hellocker, Stigma gelb.

Gesicht rundlich kurz (alle Maße vom Allotypus – l: b = 1,37: 1,37), nach unten verschmälert (Aui o: m: u = 0,88: 0,96: 0,59), Clypeus wenig vorragend (v = 0,17). Fühlergeißel mittellang, Geißelglied 3 l: b = 0,19: 0,13. Clypeus sehr unregelmäßig (15–30 μ), Stirn regelmäßiger (15–25 μ), runzlig dicht punktiert, die schmalen Runzeln aber glänzend; Scheitel etwas zerstreuter (0,1–0,5) punktiert. Kopfunterseite fein längspunktiert, glänzend.

Mesonotum 20–25 μ / 0,5–1,0 punktiert, Zwischenräume überall glatt; Scutellum ebenso stark, rings runzlig dicht, mitten zerstreut punktiert. Mesopleuren so stark wie Mesonotum punktiert, doch dichter (0,1–0,5), nur ganz unten und Hypoepimeralfeld zerstreuter (0,5–2,0), Zwischenräume überall glatt und glänzend. Mittelfeld etwas kürzer als Scutellum, hinten mit feinem erhabenem Rand; die bis ans Ende reichenden Längsrunzeln leicht gewellt, mitten schwächer ausgebildet, Zwischenräume stark glänzend. Seitenfelder und Stutz grob runzlig chagriniert, matt. Tergit 2 an der Basis deutlich, Tergit 3 nur

sehr wenig eingedrückt, Endteil auf Tergit 1 nur hinter den Beulen, auf den folgenden auch mitten deutlich abgesetzt. Tergit 1 auf der Scheibe $10-17~\mu$ / 0,5–0,8 punktiert, Basis nur ganz unten, Beulen und der schmale Endteil punktlos. Tergit 2 und 3 auf der Scheibe ebenso, auf den Endteilen zerstreuter (1–3) punktiert, auf Tergit 4 feiner und zerstreuter, alle Zwischenräume völlig glatt und glänzend. Sternit 5 am Ende mit flacher Längsmulde. Gonocoxiten an der Endhälfte fein längsgerieft. Gonostylus Figur 82.

Körperbehaarung schütter, aber ziemlich lang, schneeweiß, Gesicht unterhalb der Fühler schuppenartig dicht behaart. Tergite sehr spärlich staubartig behaart, Tergit 2 und 3 mit winzigen Basalhaarflecken. Sternite kurz (ca. 0.10-0.15 mm) abstehend behaart. 5 bis 5.5 mm.

Die Differentialdiagnose gegenüber illyricum siehe bei dieser Art. Lasioglossum peregrinum (Blü.) unterscheidet sich unter anderem durch anderen Gonostylus (Figur 81), längeres Gesicht, Körpergröße, dunkle Fühlergeißelunterseite und Stigma. Lasioglossum marginellum (Schck.) ist nur geringfügig größer, der Gonostylus nur wenig anders (Figur 83), absolut längere Fühler, dichtere Mesopleurenpunktierung, wesentlich feiner und flacher eingestochene Tergitpunktierung, die Endteile von Tergit 2 und 3 fast punktlos, Körperbehaarung schmutzig graugelb.

Allotypus: Türkei, Sille bei Konya, 16. Juni 1968, lg. Gusenleitner, coll. m. Paratypen: Türkei, Konya, 15. Juni 1965, und Mut, 23. Mai 1970, lg. et coll. Gusenleitner.

56. peregrinum (Blü.)

Halictus peregrinus Blüthgen, Arch. Naturg., 89, 1923, p. 259, ♀♂.

Diese ostmediterrane Art erreicht ihr westlichstes Vorkommen im südmitteleuropäischen Buchenwald der höheren Lagen Istriens: Učka, 1100-1400 m, 22. Juli 1969, 3 \mathbb{Q} , 1 \mathbb{O} , 1, 1, 1, 1, 1, 1.

Von da an wurde sie entlang der Dalmatienküste, von Triest bis Montenegro, Peleponnes (Blüthgen, 1923 a, S), neuerdings auch in Kleinasien gefunden: Namrun (S), Ürgüp (H).

57. sphecodimorphum (VACH.)

Sie ist eine westmediterrane Art, die in der Süd- und Südwest-

schweiz mitteleuropäisches Gebiet erreicht (Alfken, 1913/14; Blüthgen, 1930 a).

Im Süden der Kanarischen Inseln (Saunders, 1903), Marokko, Algerien, Spanien (Blüthgen, 1924b), Südfrankreich bis Sizilien (Alfken, 1913/14) kommt sie vor.

Die Rotfärbung der Tergite ist variabel; die Nominatform wurde nach Exemplaren mit roten Tergiten beschrieben. Tiere mit schwarzen Tergiten können als var. coelebs (BLü.) bezeichnet werden.

58. mesosclerum (Pér.)

Halictus mesosclerus Pérez, Espèces. nouv. Mellif., 1903, p. 43, ♀. Halictus rhodosianus Strand, Arch. Naturg., 75, 1909, p. 49, ♀. Halictus rhodosianus Strad., Blüthgen: Arch. Naturg., 90, 1925, p. 89, ♂.

In Mitteleuropa ist die Art nur von Ungarn bekannt (Рігьісн, 1936). In Südeuropa ist sie weit verbreitet, aber immer selten, von Spanien, Italien, Südfrankreich (loc. typ.), Jugoslawien, Griechenland, Kaukasus (Вьётноен, 1924 c), Kleinasien (G, S), Ägypten (P) und Turkestan (Вьётноен, 1931 b) bekannt.

Blütenbesuch: Stachys (Рилисн, 1936).

59. transitorium (Schck.)

Halictus transitorius Schenck, Jahrb. Ver. Naturk. Nassau, 21/22, 1867/68 (1870), p. 309, $\mathbb Q$.

Halictus planulus Pérez, Espèces nouv. Mellif., 1903, p. 49, ♀.

Halictus uncinus Vachal, Ann. Naturhist. Hofmus., 20, 1905, p. 21, \(\times \).

Halictus tunicola Strand, Arch. Naturg., 75, 1909, p. 59, ♀.

Halictus lentinicus Strand, Arch. Naturg., 87, 1921, p. 273, 3.

Unter transitorium wird ein Formenkreis zusammengeschlossen, dessen subspezifische Klärung noch ausständig ist. Mit Blüttigen kann ich eindeutig eine ostmediterrane Subspezies transitorium und eine westmediterrane planulum trennen. Möglicherweise handelt es sich mit uncinum um eine westasiatische Subspezies, und es gibt auch Hinweise für eine solche aus Nordafrika, mir liegt aber zuwenig Material vor, auch diese Frage klären zu können.

Das Männchen der Nominatform wird in der Tabelle erstmals beschrieben; lentinicus ist das Männchen der westlichen Subspezies.

Der locus typicus von *transitorium* ist nach Schenck zwar Wien, doch bezweifle ich die Richtigkeit dieser Ortsangabe insofern, weil seither weder in Ostösterreich noch in Ungarn diese Art gefunden wurde. Möglicherweise hat Schenck dieses Weibchen aus Wien erhal-

ten, es stammt jedoch aus einem südlichen österreichischen Kronland.

Die westliche Subspezies ist von Spanien (Blüthgen, 1924 b), Mallorca (Klimesch), Südfrankreich (Knerer, S), Sizilien (Strd., S), die östliche Subspezies von Dalmatien (Ku, G), Griechenland, Kreta, Kleinasien (G, S) bekannt.

60. elegans (LEP.)

Halictus elegans Lepeletier, Hist. nat. Insect. Hymén., II., 1841, p. 286, \diamondsuit . Halictus rubellus Giraud, Verh., 2001. bot. Ges. Wien, 11, 1861, p. 460, \diamondsuit . Halictus Giraudii, Dalla Torre, Catalogus Hymenopterorum, 10, 1876, p. 63, nom. nov.

Diese ebenfalls mediterrane Art dringt von Westen her in die Südschweiz (Blüthgen, 1930 a), von Osten nach Mittelungarn (Pillich, P) auf mitteleuropäisches Gebiet vor.

Im Süden ist sie weit verbreitet, von Algerien bis Transkaspien (Blüthgen, 1924 c).

61. convexiusculum (Schck.)

Hylaeus convexiusculus Schenck, Jahrb. Ver. Naturk. Nassau, 9, 1853, p. 166, \mathring{G} .

Halictus appropinquans Schenck, Jahrb. Ver. Naturk. Nassau, 21/22, 1867/68 (1870), p. 305, \bigcirc .

Halictus clypeatus Schenck, ibidem, p. 305, Q.

Halictus porcus Morawitz, Verh. zool. bot. Ges. Wien, 22, 1872, p. 369, \Diamond nec. \Diamond .

Pfenningberg, 2. April 1916, \mathcal{Q} , Plesching, 16. August 1925, \mathcal{O} , 5. September 1926, \mathcal{O} , Traun, 5. August 1930, \mathcal{O} (M), Luftenberg, 30. August 1971, \mathcal{O} (m).

Sie dringt in Mitteleuropa bis zum Main nach Norden vor (Stöck-HERT, 1954). In Südeuropa von Spanien bis Armenien, nicht in Nordafrika (Blüthgen, 1935 b), ist sie immer einzeln und selten. Die Männchen sind nach Blüthgen weit seltener als die Weibchen. Das können die, allerdings wenigen Funde, aus dem Linzer Raum nicht bestätigen.

Blütenbesuch: Nach Blüthgen (1930 a) nur an Salvia pratensis, konnte ich die Art auch an anderen Labiaten wie Thymus, Stachys beobachten.

62. buccale (Pér.)

Halictus buccalis Pérez, Espèces nouv. Mellif., 1903, p. 48, ♀♂.

Mit der vorigen Art ist sie eng verwandt, wenn das auch durch die verschiedene Proportion des Gesichtes der Weibchen auf das erste

nicht ersichtlich ist. Der Verwandtschaftsgrad zeigt durch das Genital und die Fühlergeißel der Männchen, daß buccale eher zu convexiusculum als zu clypeare tendiert.

Plesching, 15. September 1926, \circlearrowleft , Rodltal, 1. Juli 1911, \circlearrowleft , (M – lg. Gföllner); Rottenegg, 25. Juni 1959, \circlearrowleft (Ku).

Mit den Funden aus dem Linzer Raum ist für diese mediterrane Art das weiteste Vordringen in mitteleuropäisches Gebiet nachgewiesen. Stöckhert (1954), der jahrzehntelang Franken und das Maingebiet durchforschte, fand dort die Art nicht. Außerdem ist sie in Mitteleuropa im äußersten Westen, Elsaß (Stöckhert, 1954); im Süden, Südschweiz (Blüthgen, 1930 a), Windischlandsberg, heute in Slowenien; und Osten, Oberweiden, Berg (Blüthgen, 1944), Neusiedl, Guntramsdorf (S, G) bekannt. In Südeuropa wurde sie in Spanien (Blüthgen, 1924 b), Südfrankreich (loc. typ.), Sizilien (G, H, S), Ungarn, Rumänien, Ukraine (Blüthgen, 1935 b) gefunden; eigenartigerweise fehlt ein Nachweis von Dalmatien und Griechenland.

63. dolichocephalum (Blü.)

Halictus dolichocephalus Blüthgen, Arch. Naturg., 89, 1923, p. 269, Q. Halictus dolichocephalus, var. hierosolymae Blüthgen, Mitt. Mus. Berlin, 17, 1931, p. 323, Q.

Männchen: Schwarz; Clypeusende, Labrum, Mandibelmitte, Tarsen rostgelb, Fühlergeißelunterseite, Tibienende und Tibienbasis (Vordertibien auch auf der Innenseite), Femoraende rostbraun, Endteil von Tergit 1—3 breit, seitlich fast zur Gänze, Tergit 2 zusätzlich schmal an der Basis dunkelbraunrot, Flügelgeäder und Stigma dunkelbraun, letzteres mitten aufgehellt.

Gesicht außergewöhnlich langoval, nach unten etwas verschmälert, Scheitel seitlich steil hochgezogen und oben sehr flach; Kopf hinter den Schläfen um wenig mehr als die Augenbreite verlängert, seitlich leicht konvergierend. Gesicht l:b=2,16:1,24, Aui o:m:u=0,76:0,80:0,50; Clypeus v=0,48 mm. Punktierung grob, auf der Stirn $25-30~\mu/0,2-0,3$ (sehr dicht). Clypeus zerstreuter, feiner $(15-30~\mu/1-2)$ punktiert. Fühler ähnlich clypeare, Geißelglied 3~l:b=0,165:0,160, an der Basis b $=0,13~\rm mm.$

Das im Verhältnis zum Kopf breite Mesonotum grob (20–25 μ / 0,8–1,2), Mesopleuren noch gröber und dichter (25–30 μ / 0,2–0,8) punktiert, Punktzwischenräume glatt und stark glänzend. Metapleuren vorne feiner und sehr dicht punktiert, nach hinten in feine Runzel-

punktierung übergehend. Die ganze horizontale Propodeumfläche scharf erhaben umrandet, sehr grob, unregelmäßig gerunzelt, Zwischenräume stark glänzend; senkrechte Propodeumfläche hinten und seitlich grob chagriniert, matt, nur ganz unten mit schwach ausgebildeten senkrechten Seitenkanten

Tergit 1 sehr fein, zerstreut (10 μ / 1—3) punktiert, der nur hinter den Beulen niedergedrückte Endrand punktlos, Zwischenräume glatt; Tergit 2 und 3 ebenso, an der Basis dazu noch breit eingedrückt; Tergite 4—7 feiner als Tergit 1 punktiert, auf Tergit 6—7 die Punktierung auch auf den Endteil übergehend. Sternite ohne besondere Bildung, Sternit 6 mitten mit schmaler, seichter Längsvertiefung. Gonostylus (Figur 93) von oben gesehen schmal, fingerförmig; von der Seite gesehen kurz rechteckig (l : b = ca. 55 μ : 50 μ), die untere Endecke abgerundet. Ventrale Gonostylusmembran sehr schmal, spitz ausgezogen, von oben gesehen unter den Gonocoxiten seitlich nicht hervorragend.

Behaarung auf dem Gesicht rund um die Fühleransätze und Propodeum filzig weiß; auf Scheitel, Schläfen und Thorax lang und weiß (nur auf dem Mesonotum kürzer, offenbar abgerieben); Tergite kurz anliegend gelblich schimmernd behaart, an den Basisgrenzen der niedergedrückten Tergitendränder mit deutlichen Borstenreihen, Sternite am Ende mittellang, zerstreuter, Sternit 5 am Ende mit dichtem, außergewöhnlich langem (länger als das ganze Sternit) schmutzig weißgelbem Haarkranz, die Haare am Ende gleichmäßig lockenartig nach innen eingekrümmt. 6 mm.

Allotypus: Jugoslawien, Dalmatien, Dubrovnik, Lapad, 24. Juli 1968, auf Mentha sp., lg. et coll. m.

Das Biotop am Fundort ist eine felsige Meeresküste mit verschiedenen distelartigen Compositae (Silybum, Scolymus), Smyrnium, dazwischen verschiedene Labiaten (Ballota, Mentha), Opuntien und Agaven. Im selben Biotop flogen die Weibchen ausschließlich an Ballota sp.

Lasioglossum dolichocephalum erweist sich nun durch das neu aufgefundene Männchen als eng verwandt zu clypeare (Schck.). Von den Männchen mit langovalem Gesicht der buccale(Pér.)-Gruppe unterscheidet es sich durch längere Geißelglieder (bei buccale Geißelglied 3 fast doppelt so breit wie lang). Von clypeare (Schck.) unterscheidet sich dolichocephalum vor allem durch schlankeres Gesicht,

zerstreuter punktierten Clypeus, scharf gerandete horizontale Propodeumfläche, Behaarung von Sternit 5 und andere Gonostylusform. Die Ausdehnung der roten Tergitfärbung dürfte, ähnlich wie beim Weibchen, variabel sein.

Diese ostmediterrane Art ist in Dalmatien von Split an, in Makedonien von der Maska-Treska-Schlucht (Klimesch) an nach Südosten über Griechenland (S), Konstantinopel, Kykladen, Kreta (S) bis Israel bekannt (Blüthgen, 1935 b). Ein Vorkommen in Südungarn ist leicht möglich.

Blütenbesuch: Ballota (m).

64. clypeare (Schck.)

Hylaeus clypearis Schenck, Jahrb. Ver. Naturk. Nassau, 9, 1853, p. 162, ♀. Halictus clypearis Schenck, ibidem, 21/22, 1867/68 (1870), p. 302, ♂.

Diese mediterrane Art wurde in Oberösterreich nicht gefunden, was insofern eigenartig ist, als buccale zu finden war, die nicht so weit nach Norden vordringt. In Mitteleuropa kommt sie nach Norden an warmen Stellen bis Thüringen vor. In Österreich nur im Osten: Winden (P), Stammersdorf, Guntramsdorf (S), Zurndorf (m).

Im Süden ist sie weit verbreitet, von Algerien, Italien, Südfrankreich bis Südostrußland und Kaukasus. Hier auch in höheren Lagen: Istrien, 1100—1400 m (m), Kleinasien, Mut, 1300 m (G).

Blütenbesuch: Ballota, Stachys (m).

65. angusticeps (Perk.)

Halictus angusticeps Perkins, Ent. month. Mag., 31, 1895, p. 39, \Diamond . Halictus angusticeps Perkin, Spooner: Ent. month. Mag., 65, 1929, p. 234, \Diamond .

Erstfund für Österreich: NÖ, Hainbuch, 31. August 1950, ♀ (S). Ursprünglich wurde sie für eine atlantische Art gehalten (loc. typ. Südengland), nun weit verbreitet, aber immer sehr selten und einzeln, in Europa gefunden. Der Erst- und Einzelfund aus Deutschland stammt von Bischenberg i. E. (STÖCKHERT, 1954). In der Südwest-schweiz, Genf, Vaud, Wallis (Beaumont, 1960), Südfrankreich, Champigny (Knerer), Istrien (m), Rumänien (STÖCKHERT, 1954), nach Osten bis Kleinasien, Tarsus (S), Antakya (G).

Bisher wahrscheinlich mit der sehr ähnlichen punctatissimum verwechselt, deswegen sind die Fundorte so lückenhaft. Nach den derzeitigen Fundorten ist die Zuordnung einem Faunenbereich nicht möglich.

Blütenbesuch: Stachys (m).

66. punctatissimum (Schck.)

Hylaeus punctatissimus Schenck, Jahrb. Ver. Naturk. Nassau, 9, 1853, p. 147, Ω .

Hylaeus flavitarsis Schenck, ibidem, p. 165, 3.

Halictus simillimus Schenck, ibidem, 21/22, 1867/68 (1870), p. 306, 3.

Halictus porcus Morawitz, Verh. zool. bot. Ges. Wien, 22, 1872, p. 369, Q nec. Q.

Halictus grisescens Schenck, Berl. ent. Zeitschr., 17, 1873, p. 259, \cite{Q} und 18, 1874, p. 161, \cite{Q} \cite{A} .

Halictus longiceps Saunders, Ent. month. Mag., 15, 1879, p. 200, ♀♂.

Linz, 12. August 1928, \bigcirc , Plesching, 10. April 1961, \bigcirc (P); Luftenberg, 10. Mai 1947, \bigcirc (H); Luftenberg, 21. September 1969, \bigcirc (Ku); Gründberg, 5. Oktober 1965 (S); Urfahrwänd, 19. Juni 1965, \bigcirc (m); St. Martin, 19. August 1958, \bigcirc ; Schiltenberg, 18. März 1959, \bigcirc (S); Mönchgraben, 1. Mai 1967, \bigcirc (m).

Außerhalb des Linzer Beckens wurde die Art in Walding, 4. Mai 1968 (m) in tieferen Lagen gefunden. Einige Funde stammen aus den Hochlagen des Mühlviertels: Bad Leonfelden, Hagau, 12. September 1969, \bigcirc , 29. August 1967, 2 \circlearrowleft Reichenthal, Graslmühle, 12. Juli 1967, \bigcirc ; Reichenthal, Holzmühle, 22. August 1968, \circlearrowleft (m).

Alle Fundstellen, soweit ich diese persönlich kenne, sind ausnahmslos dürre, sandig-steinige Südhänge mit schütterem Pflanzenwuchs, oft nur im Ausmaß von wenigen Quadratmetern.

In Europa ist die Art weit verbreitet, im Norden bis Südschweden (Blüthgen, 1958), im Süden von Marokko, Spanien (Blüthgen, 1933 c und 1924 b), Südfrankreich, Sizilien (S), Dalmatien (G), Griechenland einschließlich Kreta (G, S), Kleinasien (S).

Blütenbesuch: Potentilla, Calluna (m).

67. griseolum (Mor.)

Halictus dubitabilis Saunders, Transact. Ent. Soc. London, 1904, p. 613, $Q \$.

Diese mediterrane Art wurde in Süddeutschland einmal gefunden (Maingebiet, Stöckhert, 1954); in Österreich kommt sie nur im Osten: Neusiedl, Zurndorf (S), St. Andrä, Oberbreitenbrunn (H), vor.

Im Süden ist sie circummediterran, nach Osten bis Afghanistan und Zentralasien (Blüthgen, 1924 b, 1937 c, 1961; Stöckhert, 1933, 1954, G, H, P, S, m).

Blütenbesuch: Disteln (H), Mentha (m).

68. minutissimum (K.)

Melitta minutissima Kirby, Monogr. apum Angl., II., 1802, p. 63. ♀♂. Hylaeus exilis Schenck, Jahrb. Ver. Naturk. Nassau, 9, 1853, p. 159, ♂. Halictus Hollandi Saunders, Trans. Ent. Soc. London, 1904, p. 614, ♀♂. Halictus arnoldi Saunders, Ent. month. Mag., 1910, p. 11, ♂. Halictus costiferellus Strand, Arch. Naturg., 75, 1909, p. 29, ♀. Halictus kosensis Strand, ibidem, p. 36, ♂. Halictus xanthosensis Strand, ibidem, p. 60, ♂.

Linz, 15. Juli 1928 (P); Plesching-Austernbank, 4. August 1958, \circlearrowleft (S); Luftenberg, 26. April 1947 (H); Schiltenberg, 19. Juli 1934, \circlearrowleft (P); 26. August 1961, \updownarrow (S), Altenberg, 1. August 1930, \circlearrowleft (P).

Über ganz Europa ist diese Art weit verbreitet, meist einzeln und selten, nur von Sizilien wurden mir massenweise Vorkommen an den Fundplätzen bekannt. Im Norden kommt sie bis Südschweden, im Süden von den Kanarischen Inseln, Spanien (Blüthgen, 1958, 1937 a und 1924 b), Italien (G, S), Südfrankreich (Knerer), Griechenland (Strand, 1909), in Nordafrika Marokko, Ägypten (P), im Osten bis zum Kaukasus (Blüthgen, 1937 c) vor.

69. lucidulum (Schck.)

Hylaeus lucidulus Schenck, Jahrb. Ver. Naturk. Nassau, 14, 1859 (1861), p. 270, ♀.

Hylaeus tenellus Schenck, ibidem, p. 279, ♂.

Halictus gracilis Morawitz, Hor. Soc. Ent. Ross., 3, 1865, p. 77, ♀♂.

Halictus unguinosus Pérez, Espèces nouv. Mellif., 1903, p. 50, ♀.

Halictus chotanensis Strand, Arch. Naturg., 75, 1909, p. 26, ♀.

In ganz Europa ist sie an sandigen Böden weit verbreitet, im Norden bis Finnland (Valkeila), im Süden von Spanien (Blüthgen, 1924 b), Südfrankreich (Pérez, 1903, Knerer), Italien (H, G, S), Kleinasien (G), Afghanistan (Blüthgen, 1961) bis zum Ussuri (Gussakovskij, 1932), in Nordafrika von Marokko (Blüthgen, 1933 c) bekannt.

B l ü t e n b e s u c h : Daucus, Senecio, Achillea (H), Cruciferae, Solidago (m).

70. semilucens (ALFK.)

Hylaeus pygmaeus Schenck, Jahrb. Ver. Naturk. Nassau, 14, 1859 (1961), p. 278, \circlearrowleft , nec ibidem, 9, 1853.

Hylaeus nitidus Schenck, Jahrb. Ver. Naturk. Nassau, 9, 1853, p. 154, Q. Halictus semilucens Alfken, Deutsche ent. Zeitschr., 1914, p. 281, Q.

Im Linzer Raum kommt die Art nur vereinzelt vor: Plesching, 27. April 1936, \bigcirc (M); 5. August 1959, \bigcirc (S); Pfenningberg, 28. Mai 1928, \bigcirc (P); Pulgarn, 20. Juli 1928, \bigcirc ; Gusen, 5. Mai 1961 2 \bigcirc (P); Linz, 10. April 1961, \bigcirc (P); Linz-Schörgenhub, 23. Mai 1941, \bigcirc (M); St. Martin, 15. Juli 1958 \bigcirc (S); Schiltenberg, 7. Mai 1936, \bigcirc ; Marchtrenk, 2. August 1935 (M); Straß-Fraham, 29. Juli 1951, \bigcirc (H).

Auch in höheren Lagen des Mühlviertels ist sie zu finden: Gutau, 21. Juni 1961, $\[\]$ (G); Bad Leonfelden, Dietrichschlag, 23. April 1966, $\[\]$, 18. und 29. August 1967, je ein $\[\]$; Bad Leonfelden, Hagau, 18. August 1967, 2 $\[\]$ (Reichenthal, Graslmühle, 28. Mai 1967, $\[\]$, 12. Juli 1967, 2 $\[\]$, 18. und 28. August 1967, je ein $\[\]$; Reichenthal, Holzmühle, 14. Juni 1968, $\[\]$, 2. August 1968, $\[\]$ (m).

An allen mir bekannten Fundstellen, oft nur im Ausmaß von wenigen Quadratmetern, habe ich sie an steinigen Hängen (Granitflins), Aufschlüssen und Wegböschungen mit spärlichem Pflanzenbewuchs gefunden, im Mühlviertel vergesellschaftet mit punctatissimum, nitidiusculum und rufitarse.

Mir ist die Art nur aus Mitteleuropa bekannt, nach Stöckhert (1954) in ganz Deutschland, im Süden aus Vaud, Wallis (Велимонт, 1960) und Tessin (m).

Blütenbesuch: Taraxacum (m).

71. intermedium (Schck.)

Halictus intermedius Schenck, Jahrb. Ver. Naturk. Nassau, 21/22, 1867/68 (1870), p. 309, \mathbb{Q} .

Halictus melanoproctus Pérez, Espèces nouv. Mellif., 1903, p. 48, ♀. Halictus servulellus Strand, Arch. Naturg., 75, 1909, p. 50, ♂.

Plesching-Austernbank, 9. April 1966, \bigcirc , 9. Juli 1958, \bigcirc (S); Pfenningberg, 24. Juli 1959, \bigcirc (P); Luftenberg, 2. September 1961, \bigcirc (S); Holzheim, 29. April 1961, \bigcirc (S).

Im gemäßigten Europa ist sie von Nordspanien (Blüthgen, 1924 b) über Südwestfrankreich (Pér.) durch ganz Mitteleuropa, im Süden bis Genf (Beaumont, 1960); nach Osten bis Rußland (Ukraine), Kaukasus (Stöckhert, 1933) bekannt.

Blütenbesuch: Umbelliferae (S).

72. tarsatum (Schck.)

Halictus tarsatus Schenck, Jahrb. Ver. Naturk. Nassau, 21/22, 1867/68 (1870), p. 309, Ω .

Halictus politus Schenck, ibidem, p. 305, &, nec. 1853, Q.

Halictus berolinensis Strand, Arch. Naturg., 75, 1909, p. 24, 3.

St. Georgen/Gusen, 2. September 1961, 2 of of (G).

Nach dem Fundort zu schließen, ist sie ebenso wie die vorige Art an Sandboden gebunden.

Sie kommt im ganzen gemäßigten Europa, bis Finnland, Schweden und Südostrußland (Stöckhert, 1933), im Süden bis Genf und Wallis (Beaumont, 1960), vor.

73. sexstrigatum (Schck.)

Halictus sexstrigatus Schenck, Jahrb. Ver. Naturk. Nassau, 21/22, 1867/68 (1870), p. 310, Q $\mathring{\Diamond}$.

Halictus monstrificus Morawitz, Hor. Soc. Ent. Ross, 26, 1892, p. 147, 3.

Halictus subfamiliaris et kiautschauensis Strand, Berliner ent. Zeitschr., 54, 1909, p. 179.

Im gemäßigten Europa kommt sie im Süden bis Martigny im Wallis (Beaumont, 1960) und Tessin (m) vor, in Asien ist sie weit verbreitet bis Irkutsk in Sibirien und China, einschließlich Formosa (Blüthgen, 1922).

Blütenbesuch: Centaurea, Scabiosa (H).

74. politum (Schck.)

Hylaeus politus Schenck, Jahrb. Ver. Naturk. Nassau, 9, 1853, p. 163, \mathcal{Q} , nec 1867/68, \mathcal{Z} .

Hylaeus nanulus Schenck, ibidem, p. 164, &

Halictus truncatus Alfken, Acta soc. ent. Bohem., 2, 1905, p. 4, δ , nec Q. Halictus granulosus Alfken, Acta soc. ent. Bohem., 3, 1906, p. 96, nom. nov.

Kurve des jahreszeitlichen Auftretens im Linzer Becken Figur 127. Außerhalb des Linzer Beckens nur in warmen Teilen Oberösterreichs: Haselgraben, Aschach, Enns (M), Pulgarn, Mauthausen, Mühlrading, Straß-Fraham (H).

Die Art kommt nur im südlichen Mitteleuropa vor; in Südeuropa ist sie weit verbreitet, von Spanien (Blüthgen, 1924 b) bis Kleinasien (G) und in Nordafrika von Ägypten (Blüthgen, 1933 b) bekannt.

Nach Knerer, 1968, entwickelt diese Art im Sommer Arbeiterinnen; im Linzer Raum treten sie im Juni bis Juli auf. Nach Knerer baut die Art beim Nesteingang bis 2 cm hohe Eingangsröhren, die ich aber bei uns nicht beobachten konnte. Der Rand um den Eingang — die Bauten sind ausschließlich in Löß — ist ringartig verfestigt. Bei manchen Eingangsröhren ist auch ein Wächter zu beobachten. Dessen klobiger Kopf eignet sich vorzüglich, damit den Eingang zu verschließen.

Blütenbesuch: Achillea, Heracleum, Filipendula, Campanula, Sedum, Papaver, Daucus, Potentilla, Salix, Taraxacum (H), Potentilla, Taraxacum vorzugsweise im Frühling, Umbelliferen im Sommer, daneben noch Mentha, Solidago, Salvia, Veronica, Saxifraga (m).

75. glabriusculum (Mor.)

Halictus glabriusculus Morawitz, Verh. zool. bot. Ges. Wien, 22, 1872, p. 372, $Q \circlearrowleft$.

Halictus leucopygus Pérez, Espèces nouv. Mellif., 1903, p. 51, ♀♂.

Halictus truncatus Alfken, Acta soc. ent. Bohem., 2, 1905, p. 4, ♀, nec ♂. Halictus granulosus Alfken, ibidem, 3, 1906, p. 96 (nom. nov.).

Pfenningberg, 28. Juli 1917, ♀; Luftenberg, 12. Juni 1928, ♀, 11. Juli 1931, ♀ (M); St. Martin, 15. Juli 1958, 2 ♀♀; Schiltenberg, 11. April 1964, ♀ (S); Marchtrenk, 17. August 1934, 3 ♂♂ (M); 25. Juni 1950, 3 ♀♀, 6 ♂♂ (H); Wilhering, 20. August 1968, ♂ (m).

Diese submediterrane Art ist bis ins südliche Mitteleuropa an warmen Stellen zu finden. Aus dem Süden von Spanien (Blütchen, 1924 b), Frankreich (Pérez, 1903, S), Italien (H, S), Dalmatien (G, m), Kleinasien (G) ist sie nachgewiesen.

Blütenbesuch: Achillea (H), Mentha, Solidago (m).

76. mandibulare (Mor.)

Halictus mandibularis Morawitz, Hor. Soc. Ent. Ross., 4, 1866/67, p. 23, \bigcirc . Halictus Czekelii Friese, Deutsche ent. Zeitschr., 1916, p. 30, \bigcirc . Halictus sareptanus Blüthgen, Arch. Naturg., 89, 1923, p. 290, \bigcirc .

Diese pontomediterrane Art dringt von Südosten bis Mitteleuropa vor: Subotica, 24. September 1940, O; von da an über Siebenbürgen (FRIESE) nach Rußland (loc. typ.), nach Süden bis Kreta (G, S) und Cypern (MAVR.)

B l ü t e n b e s u c h : Inula, Suaeda (Mavromoustakis, 1952, 1957).

77. trichopygum (Blü.)

Halictus trichopygus Blüthgen, Arch. Naturg., 89, 1923, p. 288, 32.

Nur in Ostösterreich: Wien, Donau-Au (M), Stammersdorf (S), Winden (Ku, H), Neusiedl (H, m).

Diese pannonische Art ist von Ungarn, Kroatien, Rumänien, Galizien (Blütchen, 1923 a, 1925), nach Süden bis Trebinje in Herzegowina (m) bekannt, jedoch nicht in der mediterranen Zone.

Blütenbesuch: Mentha (m).

ÜBERSICHT ÜBER DIE ARTEN MITTELEUROPAS

	atlantisch	boreal	boreoalpin	alpin	eurasiatisch ⁶	mitteleuropäisch ⁷	pontisch, pannonisch	ponto-mediterran	mediterran ⁸ (West und Ost)	Summe
Mitteleuropa 1	2	1	2	4	38	11	12	8	43	121
Franken ²	$^{1}_{+1}$	0	2	1	33 + 2	10	0	1	11 +8	$58 \\ +11 \\ 69$
Oberösterreich insgesamt davon: Linzer Raum Hochlagen des Mühlviertels Alpengebiet	0	0	2	3	36	8	1	1	14	65
	0	0	1	0	36	7	1	1	14	60
	0	0	2	0	25	8	0	0	0	35
	0	0	1	3	13	1	0	0	0	18
Steppengebiete Ostösterreichs Steppengebiete Ostösterreichs nach Pittioni	0	0	0	0	31	4	9	5	26	75
	0	0	0	0	34	9	6	4	27	80
Mittelungarn ⁵	0	0	0	0	32	7	5 +1	$^{6}_{+2}$	$25 \\ +4$	75 +7 82

Anmerkungen zur Artenübersicht:

- Mitteleuropa verstehe ich in meiner Arbeit in etwas größerer Ausdehnung, als es sonst von Geographen verstanden wird.
 - Um im Nordwesten zu beginnen: Nordseeküste von Belgien, Holland, Schleswig-Holstein, der Ostseeküste entlang bis Königsberg (Kalinigrad), von da entlang der polnisch-russischen Grenze nach Süden einschließlich des altösterreichischen Galizien (westlichster Teil der heutigen Ukraine), dem Karpatenbogen entlang zum Eisernen Tor (Donaudurchbruch), Belgrad, Zagreb, Adelsberg (Postojna), nach Süden einschließlich die südmitteleuropäischen Buchenwälder des Birnbaumer-, Ternowanerwaldes und der Učka, Udine, Südalpenrand bis ins Aostatal, Genf, Französischer Jura, Burgundische Pforte, Vogesen, Saarland, Luxemburg, belgisch-französische Grenze zur Nordsee.
- 2. Franken (in Bayern) ist durch die jahrzehntelange Sammeltätigkeit Stöckherts bezüglich der Apiden das wohl am besten erforschte Gebiet Mitteleuropas. Die Zahlen der oberen Reihe bedeuten Stöckhert, 1933, die Zahlen der unteren (+) bis 1954 neu hinzugekommene Arten. Der Vergleich mit dem Linzer Raum hinkt insofern, als Franken sehr vielgestaltige, wesentlich ausgedehntere Wärmegebiete hat, man denke nur an das Main- und Altmühltal. Bei den mediterranen Arten handelt es sich naturgemäß um westmediterrane oder allgemein mediterrane Arten, während Arten östlicher Herkunft (bis auf die (sub)pontomediterrane Lasioglossum lineare) fehlen.
- 3. Soweit ich durch Angaben Blüthgens, Aufsammlungen von Kollegen der Linzer Arbeitsgemeinschaft und eigener Aufsammlungen Gewißheit vom Vorkommen erlangt habe.
- 4. Angaben Pittionis, veröffentlicht von KNERER, 1968; diese Angaben sind mit Vorsicht zu gebrauchen, weil ich sah, daß sich Pittioni bei den Halictiden nicht besonders ausgekannt hat. Schon unter dem relativ wenigen von ihm determinierten Material, das ich gesehen habe, sind mir verhältnismäßig viele eklatante Fehldeterminationen mitteleuropäischer Arten untergekommen.
- 5. Pillich sammelte seit 1909 Apiden um Simontornya, in der ungarischen Tiefebene, rund 100 km südlich von Budapest; die Ergebnisse wurden 1935/36 veröffentlicht, wobei die Halictiden Blüthgen determinierte und damit die höchstmögliche Richtigkeit gewährleistet ist. Leider wurde diese Sammlung nach Auskunft von Prof. Dr. H. Priesner im letzten Krieg zerstört. Die Zahlen in der unteren Reihe (+) geben die seither für Ungarn sicher nachgewiesenen Arten an, deren Vorkommen 1936 noch nicht gemeldet wurde.
- 6. Damit jede Art nur einmal in der Tabelle aufscheint und diese nicht durch mehrfache Zuordnung einer Art verfälscht würde, bezeichne ich für diesen Zweck als eurasiatisch auch solche Arten, die in Europa oder Asien weit nach Süden reichen, ohne daß diese als spezifisch mediterran oder pontisch einzuordnen sind (so z. B. subauratus oder xanthopum).
- 7. Als mitteleuropäisch bezeichne ich für die Tabelle solche Arten, deren Verbreitungsschwerpunkt in Mitteleuropa liegt, jedoch auch vereinzelt in den höheren Lagen Südeuropas festgestellt wurden.
- 8. Unter mediterran sind auch solche Arten eingereiht, die man strenggenommen nur als submediterran wird bezeichnen können.

Namensableitung neu benannter Formen

Halictus (Teil I)

veneticus: nach der oberitalienischen Landschaft Venetien pannonicus: Name der römischen Provinz, zu der auch die östlichen Teile Niederösterreichs und das Burgenland gehörten

 $L\ a\ s\ i\ o\ g\ l\ o\ s\ s\ u\ m$ (Lasioglossum) und $L\ a\ s\ i\ o\ g\ l\ o\ s\ s\ u\ m$ (Evylaeus) (Teil II)

pseudomorbillosum: täuschend ähnlich morbillosum

dalmaticum: Landschaftsbezeichnung für die Küste Jugoslawiens

scoticum: aus Schottland hibernicum: winterlich

aureimontanum: montanus, bergig oder in den Bergen; aurum, Gold

apostoli: dem Apostel Paulus gewidmet montivolans: auf den Bergen fliegend

hethiticum: Hethiter, altes Kulturvolk Kleinasiens

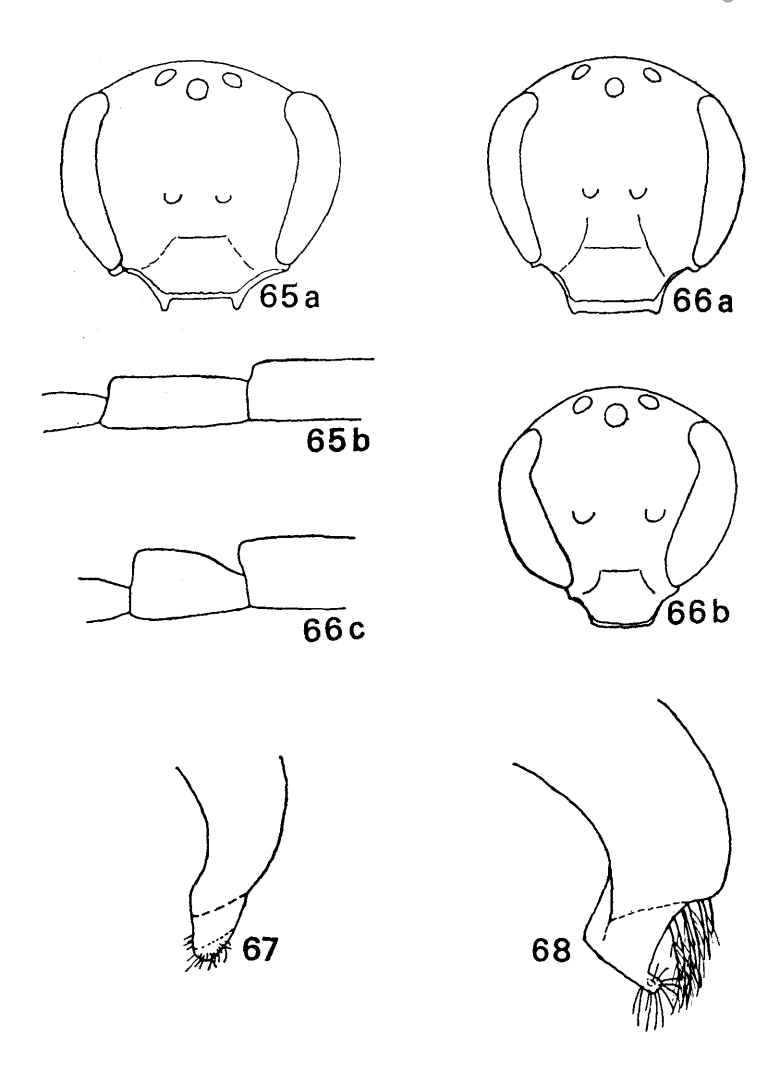
Lasioglossum (Evylaeus) (Teil III)

illyricum: Name der römischen Provinz, zu der große Teile des heutigen Jugoslawiens gehörten

Summary

With this third part the paper on the Genus Halictus s. l. in Middle Europe comes to an end. It treats with the species of Subgenus Evylaeus of nonmetallic body-colour. A new species is discribed: Lasioglossum (Evylaeus) illyricum $\bigcirc^{\circ}\mathbb{Q}$. The unknown males of Lasioglossum (Evylaeus) dolichocephalum (Blü.) and asiaticum (D. T.) are discribed. From Lasioglossum (Evylaeus) nigrum (Vier.) the female is fixed as Lectotypus. Because of secundary homonymy the new nome Lasioglossum (Evylaeus) blüthgeni is established for hirtiventre (Blü.).

Anschrift des Verfassers: P. Andreas Werner Ebmer Puchenau 1 A-4020 Linz



Figur 65: Lasioglossum (Evy.) laticeps

a) Gesicht ♀ (27x)

b) rechtes Hintertarsenglied 2 3 (100x)

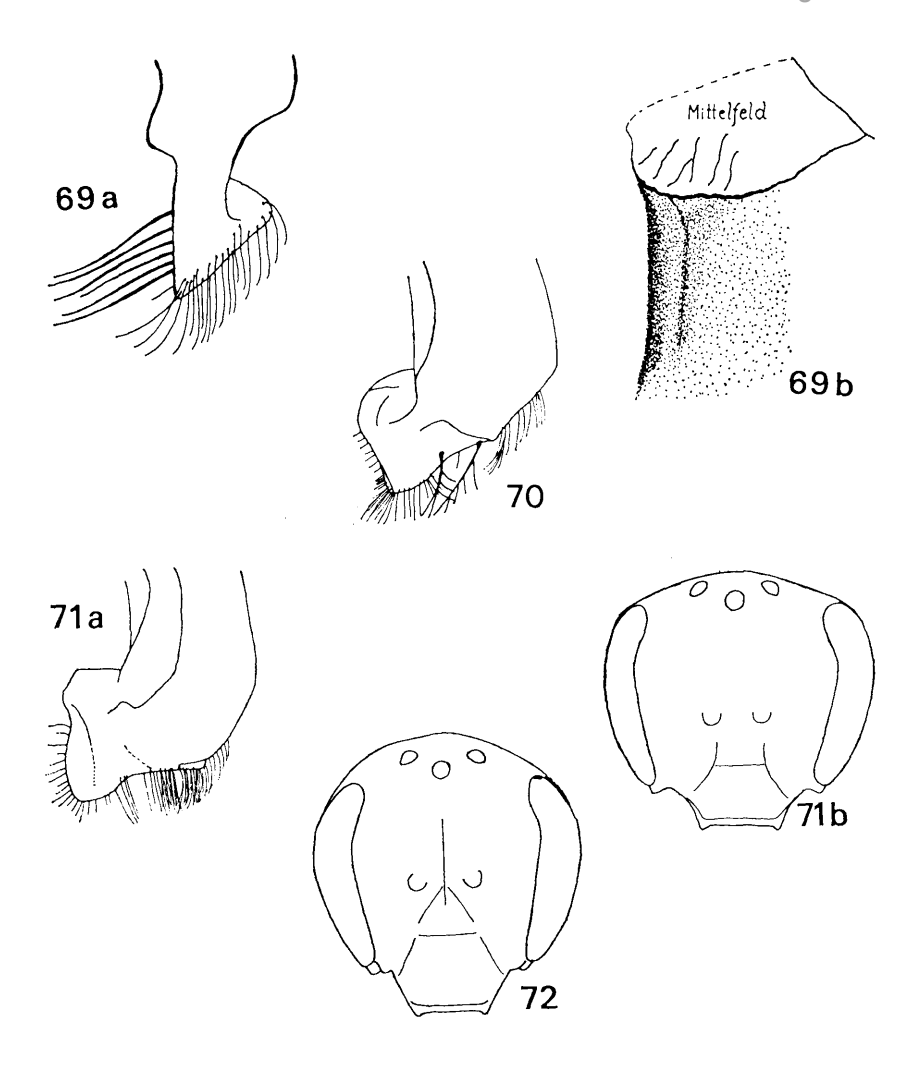
Figur 66: Lasioglossum (Evy.) fulvicorne

a) Gesicht ♀ (27x)

b) Gesicht & (27x)

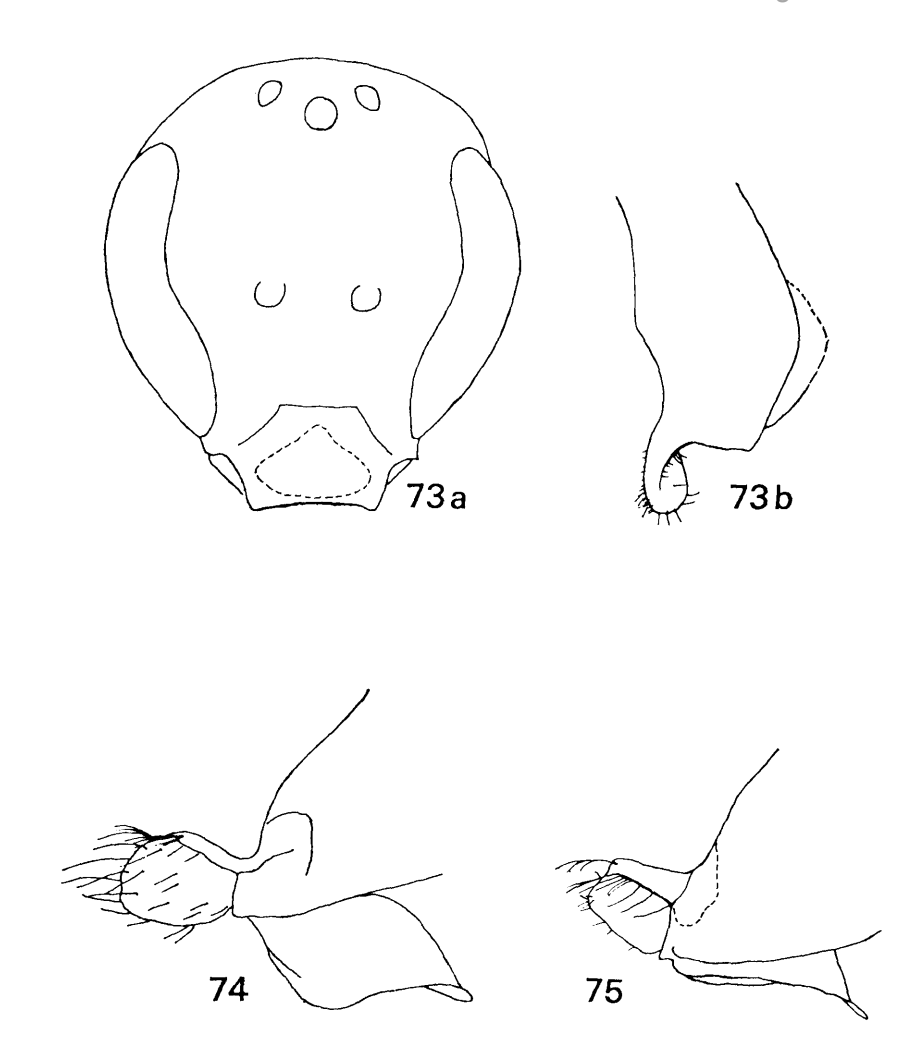
c) rechtes Hintertarsenglied 2 3 (100x)

Figur 67: Lasioglossum (Evy.) pauxillum 3, rechter Gonostylus dorsal (100x) Figur 68: Lasioglossum (Evy.) lineare 3, rechter Gonostylus dorsal (100x)



Figur 69: Lasioglossum (Evy.) tricinctum

- a) rechter Gonostylus dorsal, etwas von außen gesehen, 💍 (100x)
- b) oberer rückwärtiger Teil des Propodeums, lateral gesehen 💍 (100x)
- Figur 70: Lasioglossum (Evy.) subhirtum 3, rechter Gonostylus dorsal (100x)
- Figur 71: Lasioglossum (Evy.) malachurum
 - a) rechter Gonostylus dorsal & (100x)
 - b) Gesicht ♀ (27x)
- Figur 72: Lasioglossum (Evy.) nigrum Q, Gesicht (27x)



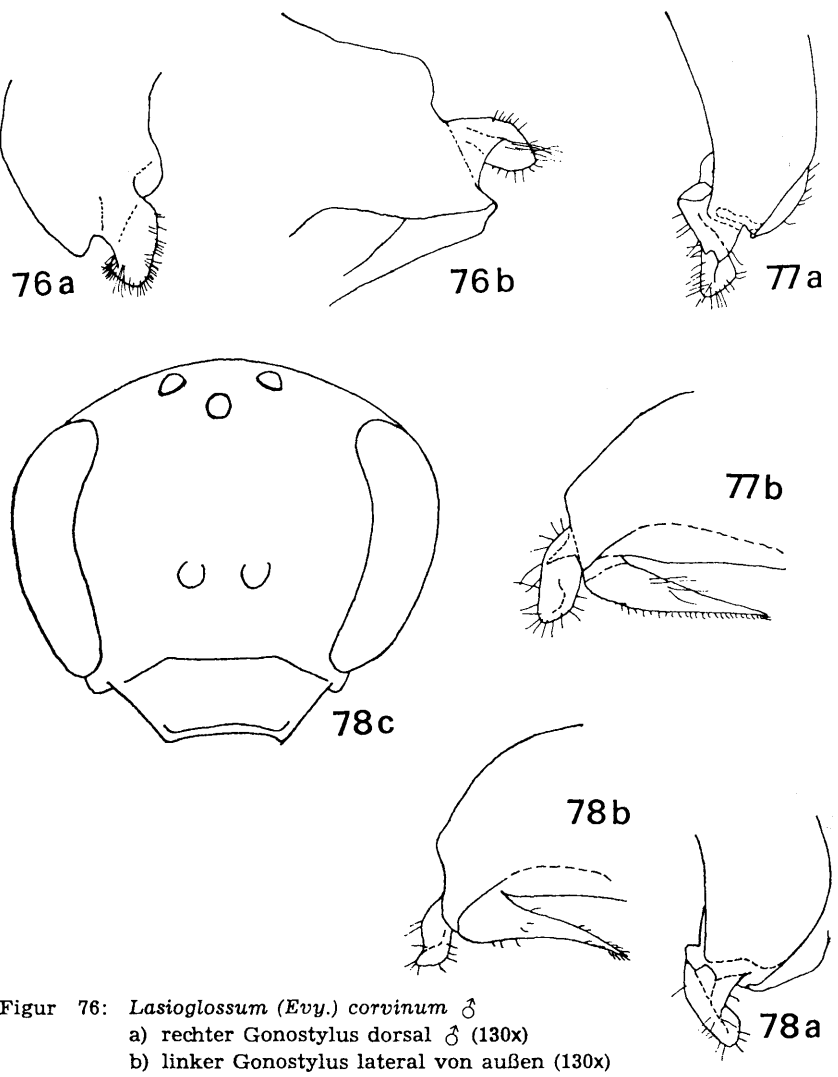
Figur 73: Lasioglossum (Evy.) puncticolle &

a) Gesicht (53x)

b) rechter Gonostylus dorsal, etwas von hinten oben gesehen (130x)

Figur 74: Lasioglossum (Evy.) truncaticolle &, rechter Gonostylus lateral von außen (130x)

Figur 75: Lasioglossum (Evy.) villosulum 3, rechter Gonostylus lateral von außen (130x)



Figur 77: Lasioglossum (Evy.) pygmaeum 👌

a) rechter Gonostylus dorsal (130x)

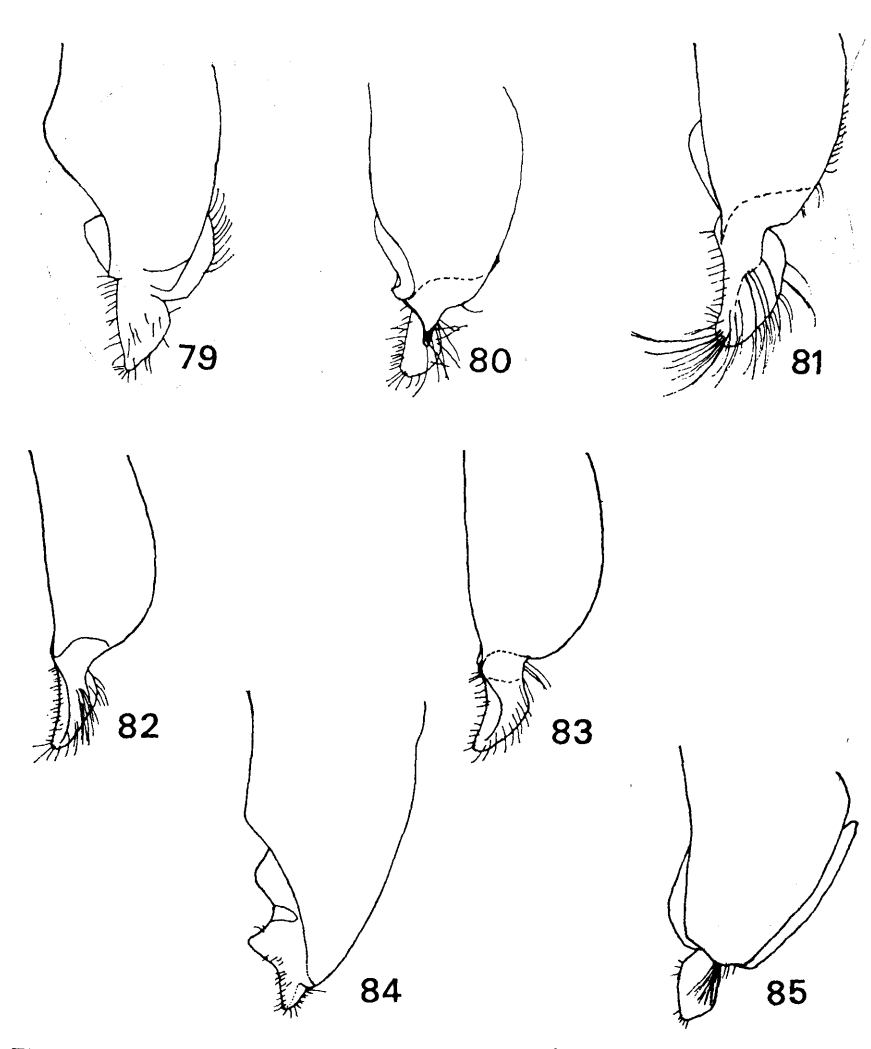
b) rechter Gonostylus lateral von außen (130x)

Figur 78: Lasioglossum (Evy.) patulum

a) rechter Gonostylus dorsal 👌 (130x)

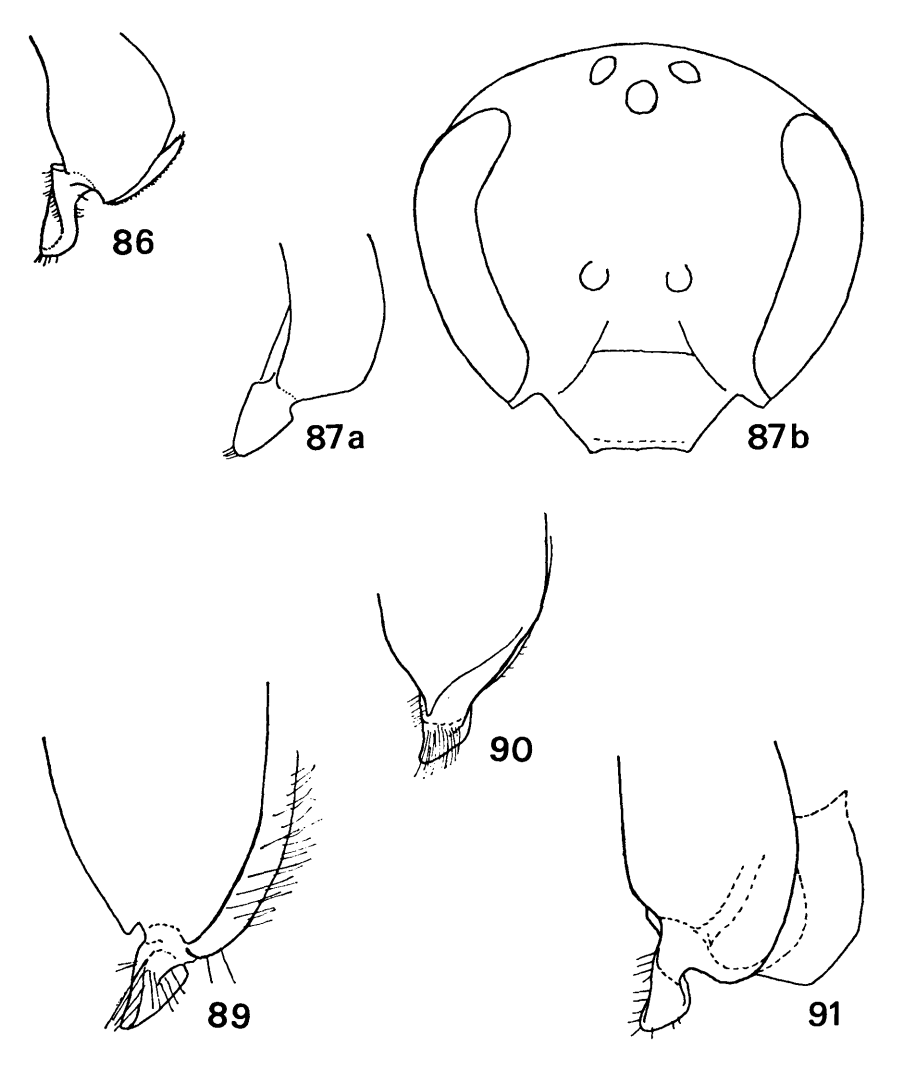
b) rechter Gonostylus lateral von außen 👌 (130x)

c) Gesicht ♀ (53x)



Figur Lasioglossum (Evy.) quadrisignatum 3, rechter Gonostylus dorsal (130x)Figur 80: Lasioglossum (Evy.) illyricum 3, rechter Gonostylus dorsal (130x) Figur Lasioglossum (Evy.) peregrinum 3, rechter Gonostylus dorsal (130x) Lasinglossum (Evy.) asiaticum 3, rechter Gonostylus dorsal (130x) Figur 82: Figur 83: Lasioglossum (Evy.) marginellum 3, rechter Gonostylus dorsal (130x) Figur Lasioglossum (Evy.) crassepunctatum 3, rechter Gonostylus dorsal 84: (130x)

Figur 85: Lasioglossum (Evy.) mesosclerum &, rechter Gonostylus dorsal (130x)



Figur 86: Lasioglossum (Evy.) pauperatum 3, rechter Gonostylus dorsal (130x)

Figur 87: Lasioglossum (Evy.) denislucum

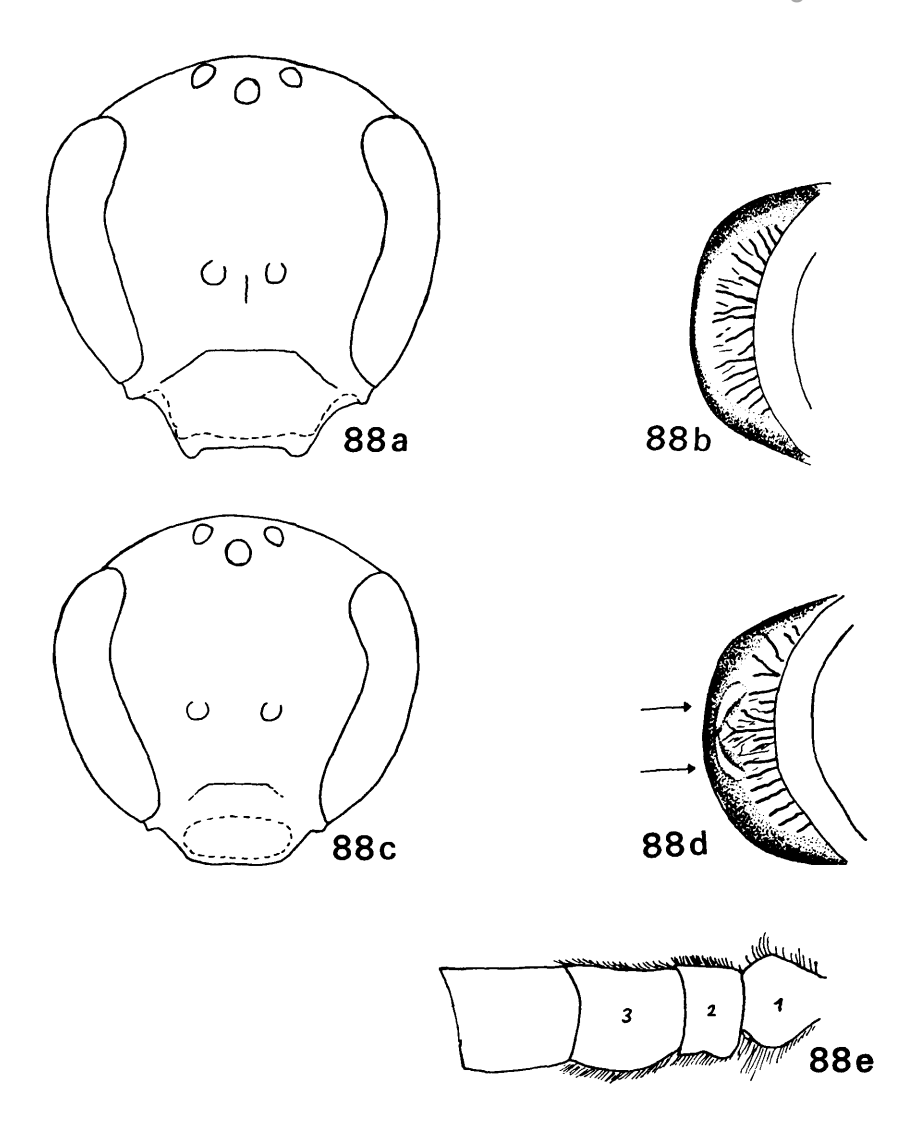
a) rechter Gonostylus dorsal (130x)

b) Gesicht ♀ (53x)

Figur 89: Lasioglossum (Evy.) buccale ♂, rechter Gonostylus dorsal (130x)

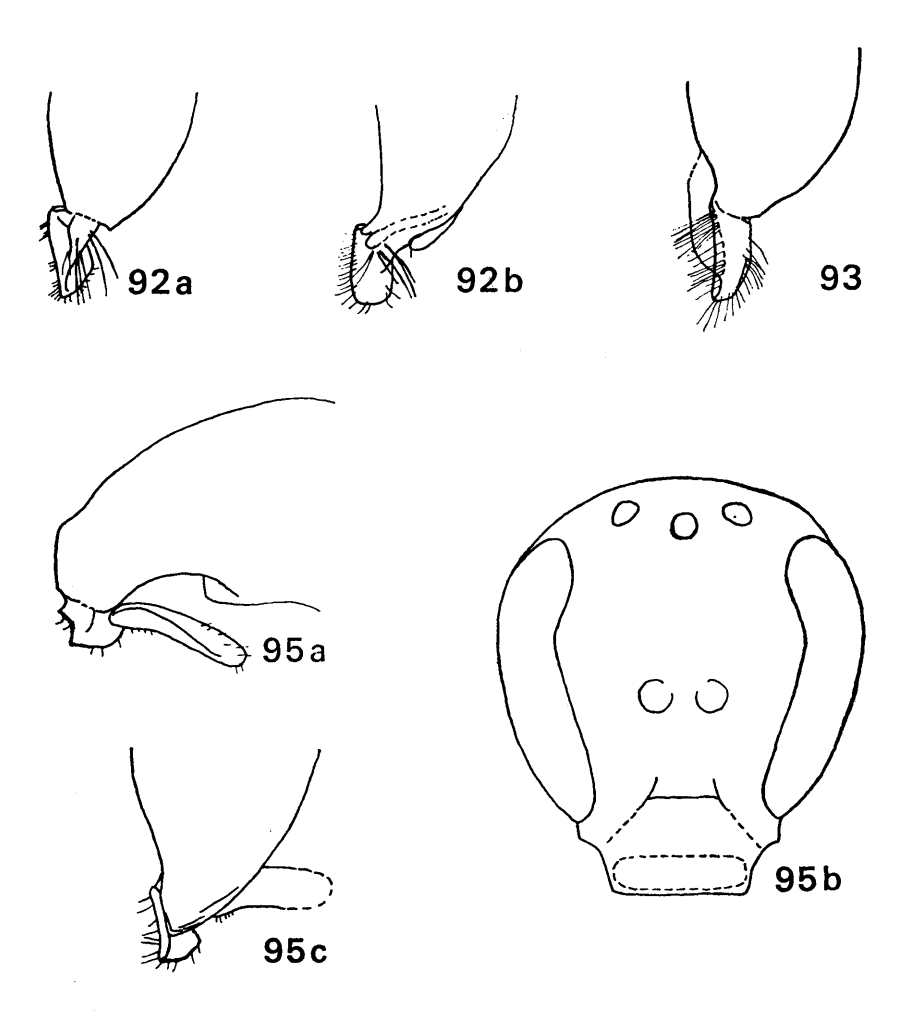
Figur 90: Lasioglossum (Evy.) convexiusculum ♂, rechter Gonostylus dorsal (130x)

Figur 91: Lasioglossum (Evy.) clypeare 3, rechter Gonostylus dorsal (130x)

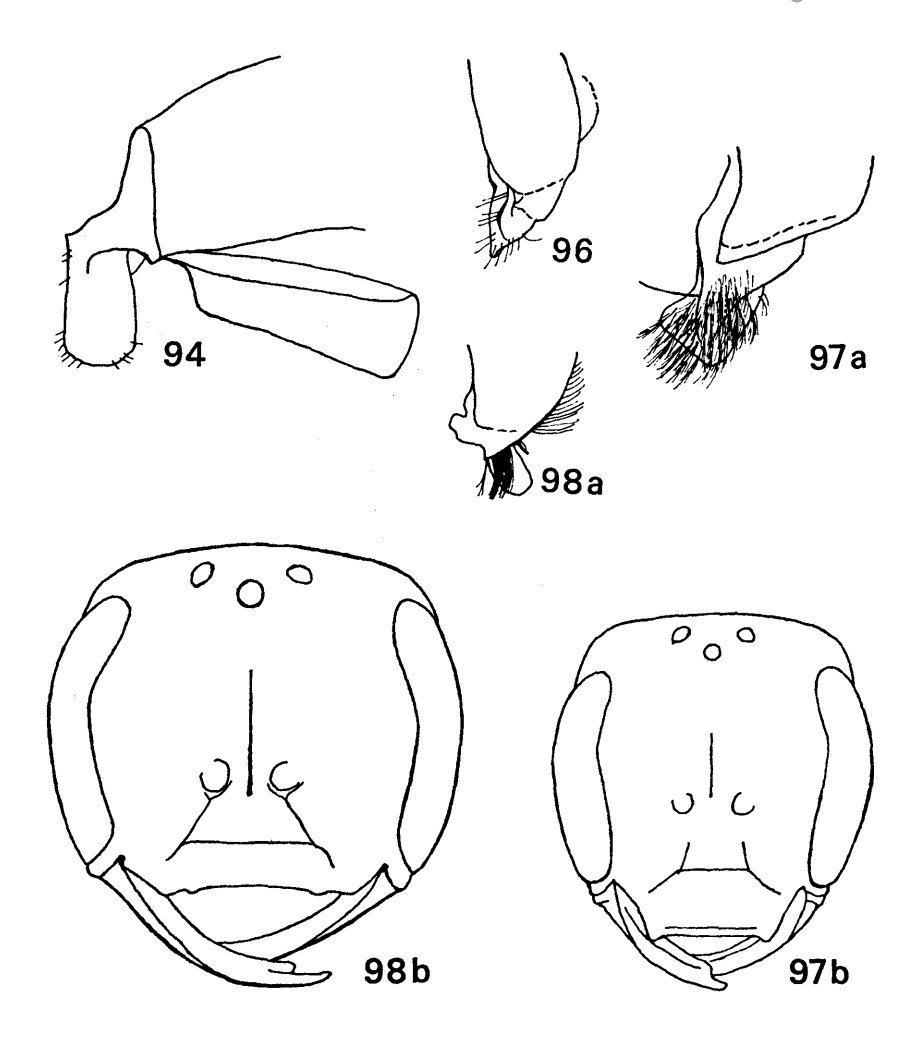


Figur 88: Lasioglossum (Evy.) sphecodimorphum var. coelebs

- a) Gesicht Q (53x)
- b) Propodeum von oben \mathcal{P} (53x)
- c) Gesicht 3 (53x)
- d) Propodeum von oben 👌 (53x)
- e) Geißelglieder 1−3 von vorne ♂ (130x)



- Figur 92: Lasioglossum (Evy.) transitorium transitorium 3, rechter
 - a) Gonostylus dorsal (130x)
 - b) Lasioglossum (Evy.) transitorium planulum 3, rechter Gonostylus dorsal (130x)
- Figur 93: Lasioglossum (Evy.) dolichocephalum 3, rechter Gonostylus dorsal (130x)
- Figur 95: Lasioglossum (Evy.) punctatissimum
 - a) rechter Gonostylus lateral von außen 👌 (130x)
 - b) Gesicht 3 (53x)
 - c) rechter Gonostylus dorsal 3 (130x)



Figur 94: Lasioglossum (Evy.) angusticeps 3, rechter Gonostylus lateral von außen (130x) (Gonostylusmembran perspektivisch stark verschmälert)

Figur 96: Lasioglossum (Evy.) griseolum 3, rechter Gonostylus dorsal (130x)

Figur 97: Lasioglossum (Evy.) trichopygum

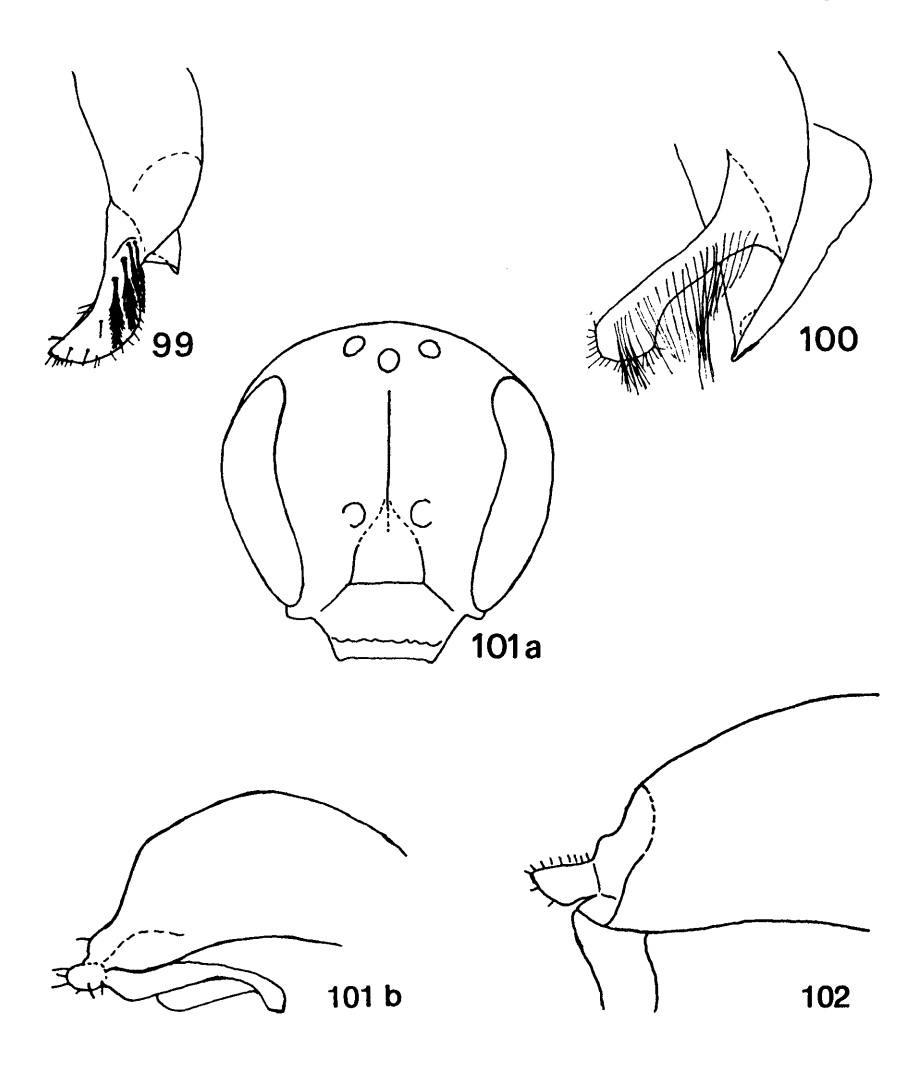
a) rechter Gonostylus dorsal ♂ (130x)

b) Gesicht \bigcirc (53x) (Labrum wurde weggelassen)

Figur 98: Lasioglossum (Evy.) politum

a) rechter Gonostylus dorsal δ (130x)

b) Gesicht Q (53x) (Labrum wurde weggelassen)



Figur 99: Lasioglossum (Evy.) glabriusculum 3, rechter Gonostylus dorsal (130x)

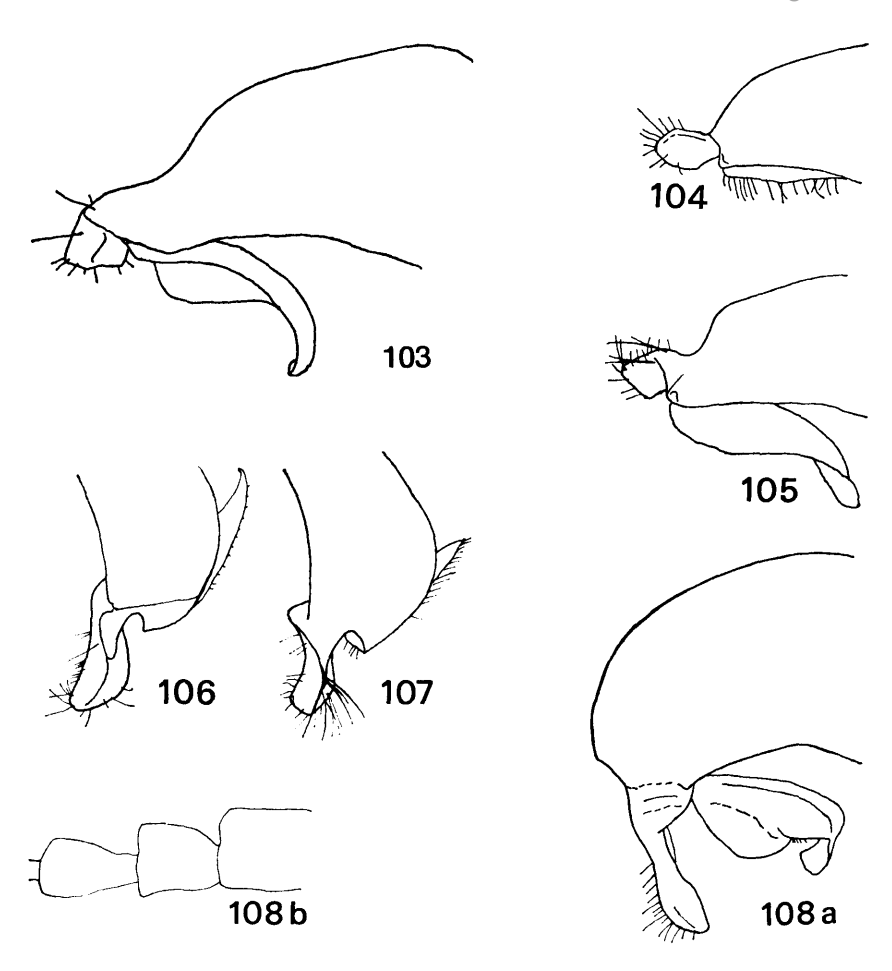
Figur 100: Lasioglossum (Evy.) mandibulare &, rechter Gonostylus dorsal (130x)

Figur 101: Lasioglossum (Evy.) lucidulum

a) Gesicht ♀ (53x)

b) rechter Gonostylus lateral von außen \circlearrowleft (200x)

Figur 102: Lasioglossum (Evy.) minutissimum &, rechter Gonostylus lateral von außen (200x)



Figur 103: Lasioglossum (Evy.) semilucens 3, rechter Gonostylus lateral von außen (200x)

Figur 104: Lasioglossum (Evy.) tarsatum 3, rechter Gonostylus lateral von außen (130x)

Figur 105: Lasioglossum (Evy.) intermedium δ , rechter Gonostylus lateral von

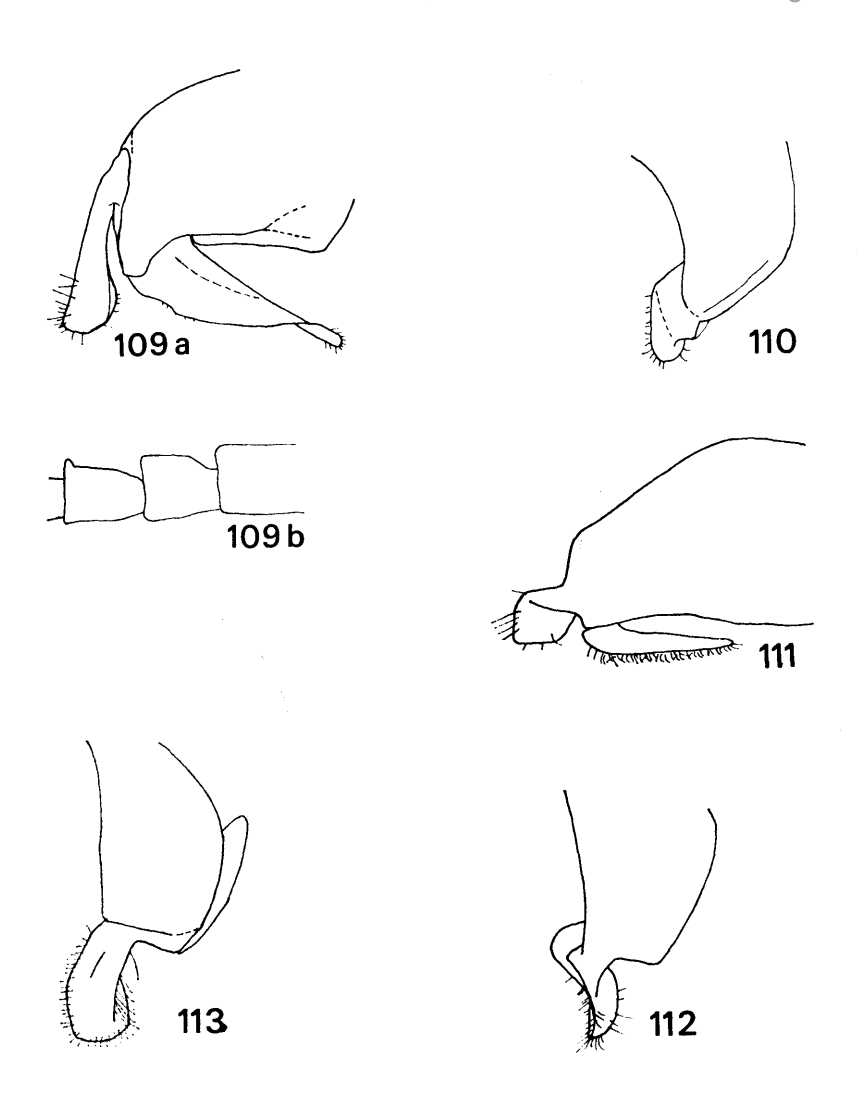
außen (130x)

Figur 106: Lasioglossum (Evy.) minutum 3, rechter Gonostylus dorsal (130x)
Figur 107: Lasioglossum (Evy.) nitidiusculum 3, rechter Gonostylus dorsal (130x)

Figur 108: Lasioglossum (Evy.) nigrum 💍

a) rechter Gonostylus lateral von außen (100x)

b) rechte Hintertarsenglieder 2 und 3 (100x)



Figur 109: Lasioglossum (Evy.) rufitarse 👌

a) rechter Gonostylus lateral von außen (100x)

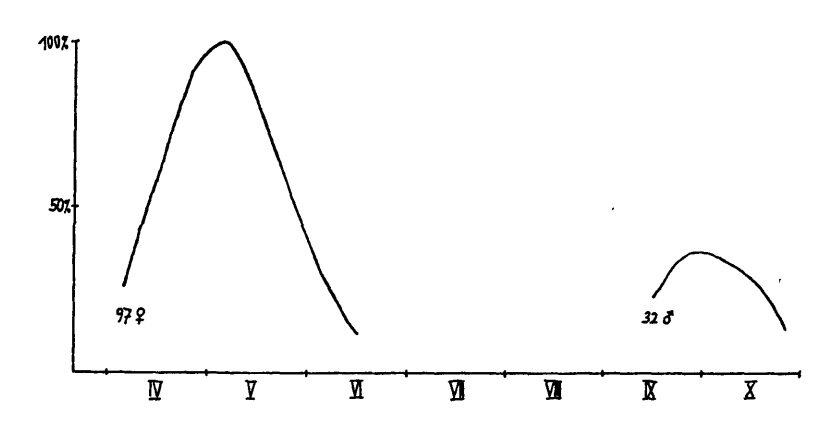
b) rechte Hintertarsenglieder 2 und 3 (100x)

Figur 110: Lasioglossum (Evy.) setulosum 3, rechter Gonostylus dorsal (130x) Figur 111: Lasioglossum (Evy.) sexstrigatum 3, rechter Gonostylus lateral von

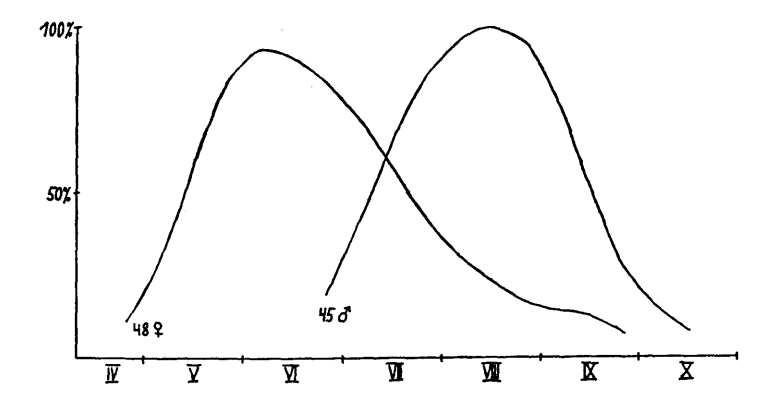
außen (130x)

Figur 112: Lasioglossum (Evy.) blüthgeni &, rechter Gonostylus dorsal (130x)

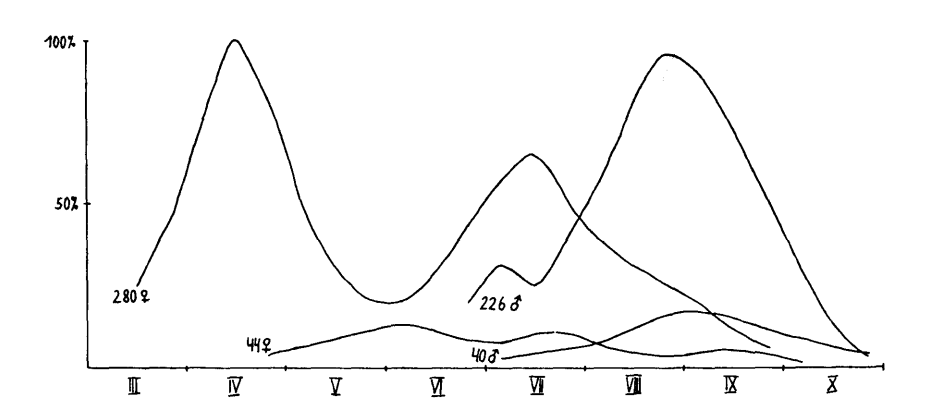
Figur 113: Lasioglossum (Evy.) limbellum 3, rechter Gonostylus dorsal (130x)



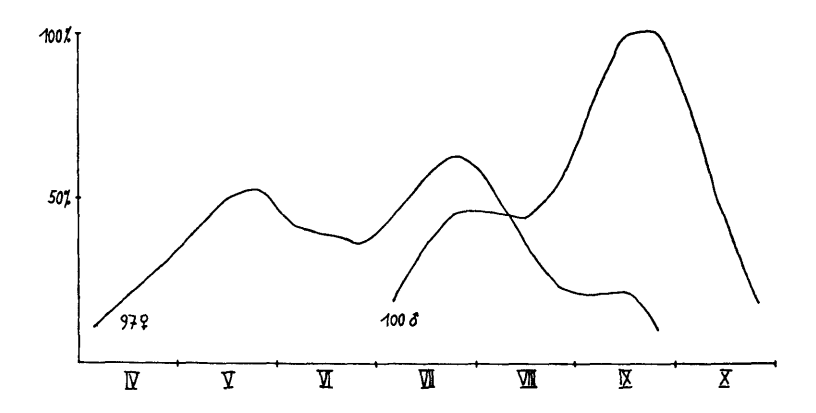
Figur 114: Jahreszeitliches Auftreten im Linzer Becken von Lasioglossum (Evy.) marginatum \mathcal{Q}



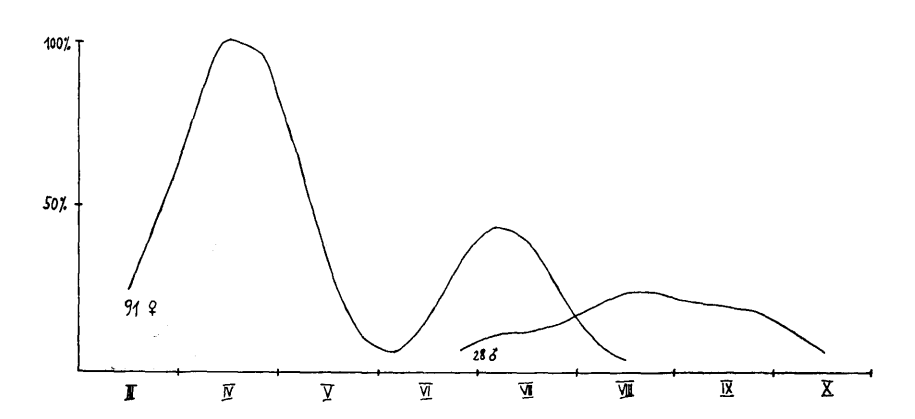
Figur 115: Jahreszeitliches Auftreten im Linzer Becken von Lasioglossum (Evy.) albipes \mathcal{Q}



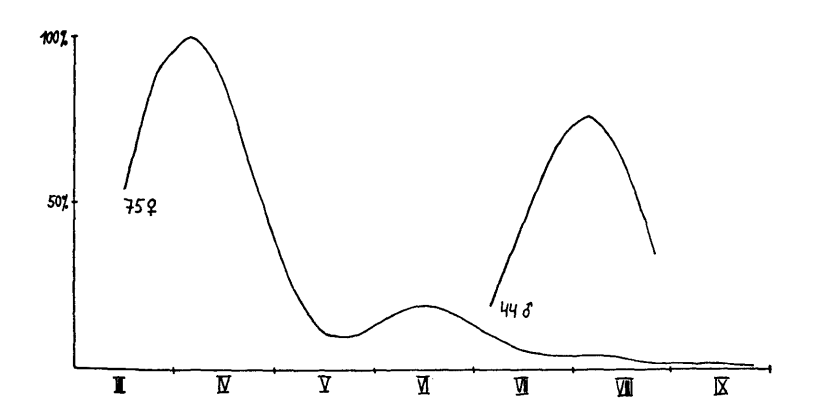
Figur 116: Jahreszeitliches Auftreten im Linzer Becken von Lasioglossum (Evy.) calceatum \mathcal{Q} die beiden flachen Kurven geben das jahreszeitliche Auftreten in den Hochlagen des Mühlviertels an)



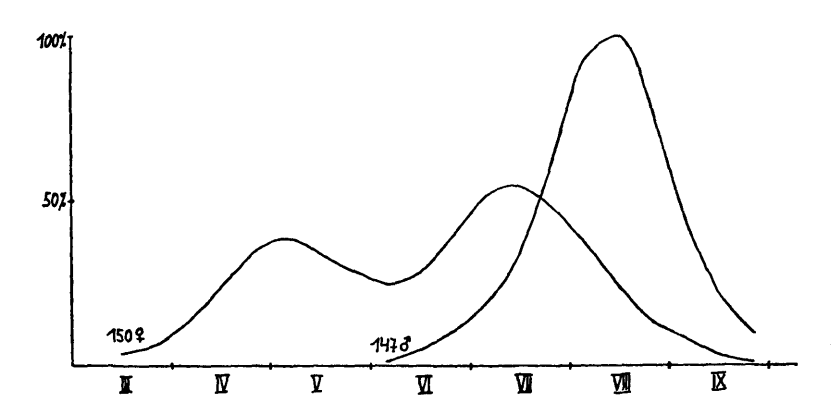
Figur 117: Jahreszeitliches Auftreten im Linzer Becken von Lasioglossum (Evy.) nigripes \circlearrowleft



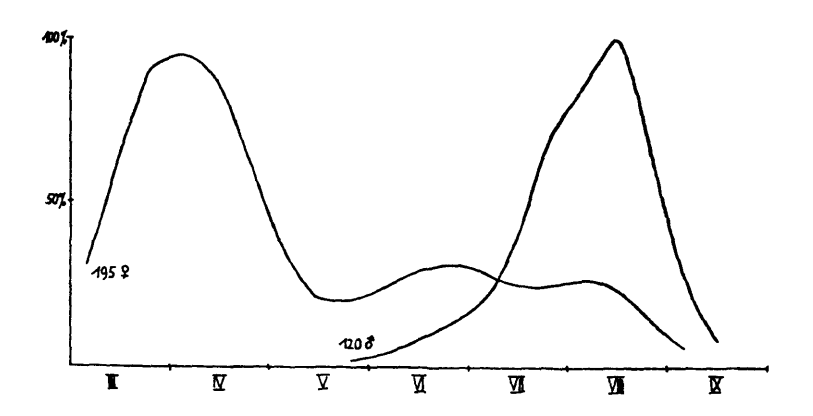
Figur 118: Jahreszeitliches Auftreten im Linzer Becken von Lasioglossum (Evy.) malachurum $\circlearrowleft \circlearrowleft$



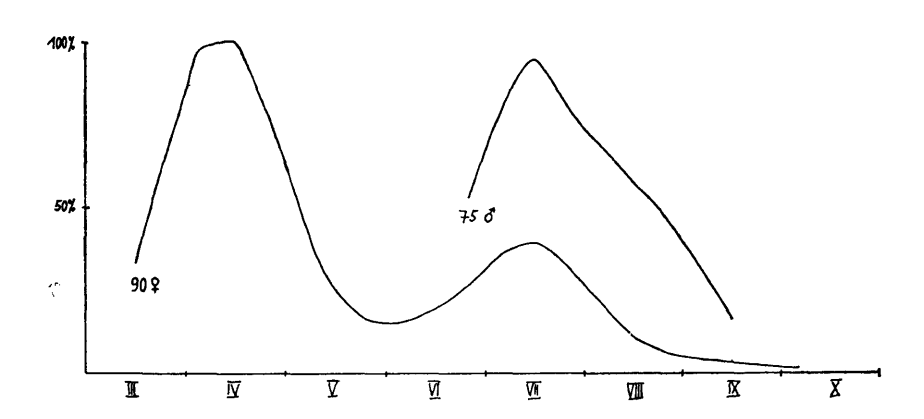
Figur 119: Jahreszeitliches Auftreten im Linzer Becken von Lasioglossum (Evy.) lineare \circlearrowleft

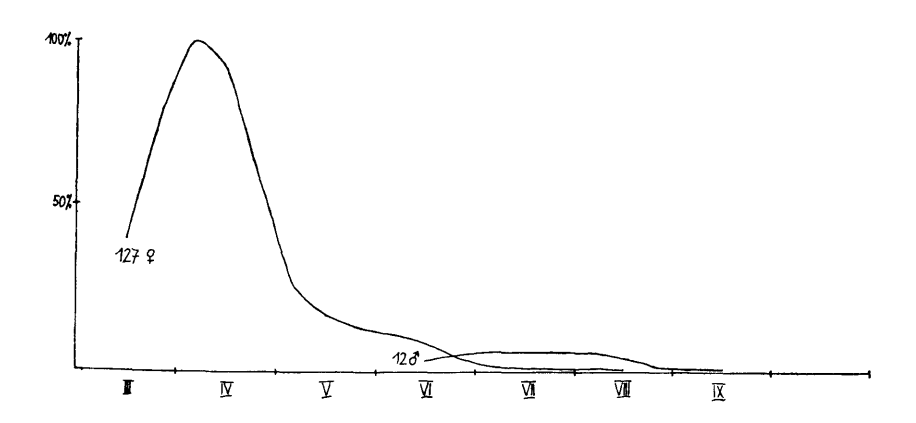


Figur 120: Jahreszeitliches Auftreten im Linzer Becken von Lasioglossum (Evy.) pauxillum \mathcal{Q}

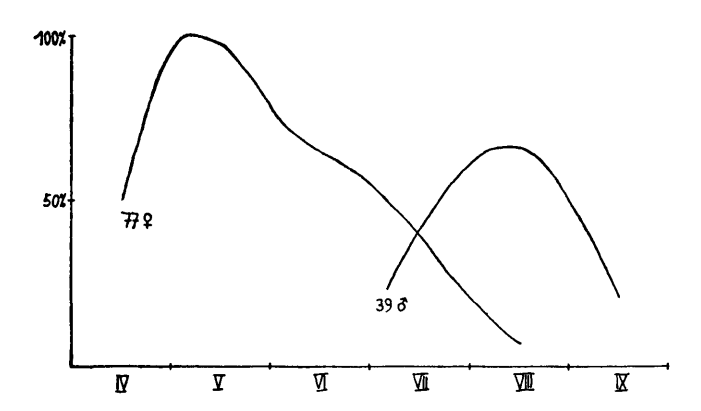


Figur 121: Jahreszeitliches Auftreten im Linzer Becken von Lasioglossum (Evy.) laticeps \mathcal{Q}

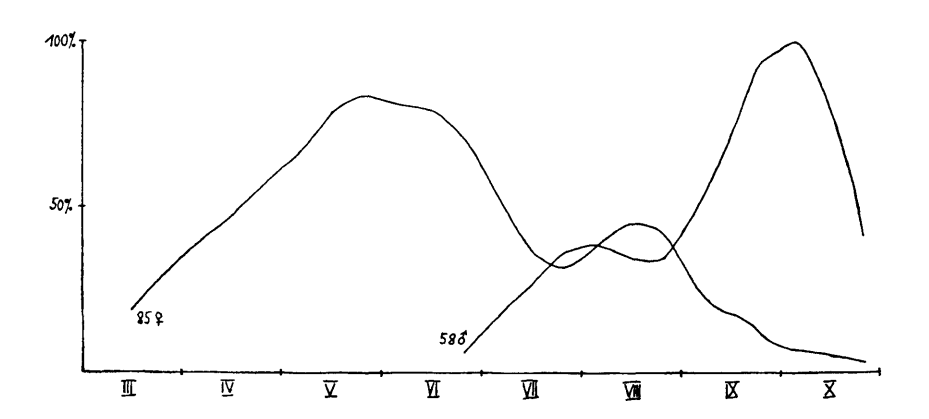


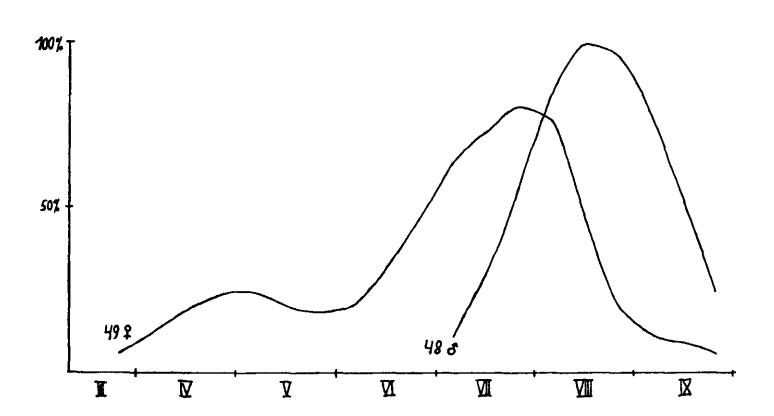


Figur 123: Jahreszeitliches Auftreten im Linzer Becken von Lasioglossum (Evy.) minutum \mathcal{Q}

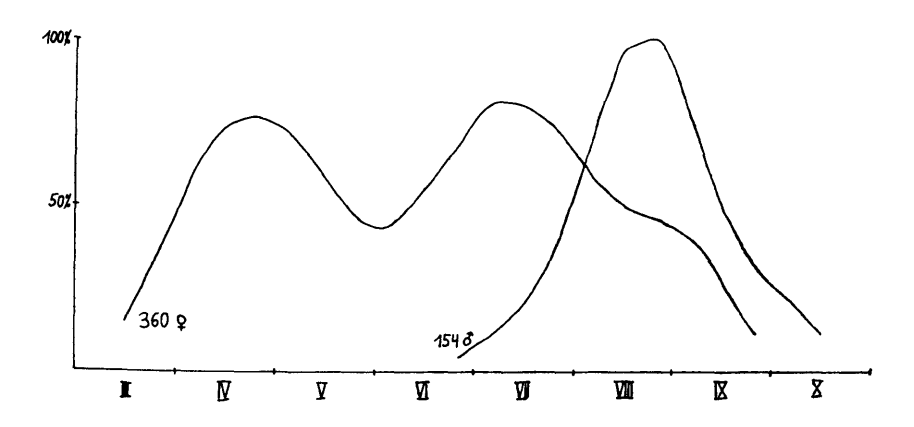


Figur 124: Jahreszeitliches Auftreten im Linzer Becken von Lasioglossum (Evy.) nitidiusculum \mathcal{Q}





Figur 126: Jahreszeitliches Auftreten im Linzer Becken von Lasioglossum (Evy.)
interruptum ♀♂



Figur 127: Jahreszeitliches Auftreten im Linzer Becken von Lasioglossum (Evy.) politum \mathcal{Q}

Benütztes Schrifttum

- Alfken, J. D., 1897: Über einige wenig bekannte *Halictus*-Arten. Ent. Nachr., 23. 101-108.
- Alfken, J. D., 1899: Halictus tumulorum L. und seine Verwandten. Ent. Nachr., 25. 114—126.
- Alfken, J. D., 1899: Synonymische Bemerkungen über einige Apiden. Ent. Nachr., 25, 145.
- Alfken, J. D., 1905: Eine neue palaearktische Halictus-Art. Acta Soc. Ent. Bohem., 2, 1905, 1-3.
- Alfken, J. D., 1907: Über die von Brullé aufgestellten *Halictus*-Arten (Hym.). Zeitschr. Hymen. Dipt., 7, 62–64.
- Alfken, J. D., 1907: Neue palaearktische *Halictus*-Arten (Hym.). Zeitschr. Hymen. Dipt., 7, 202–206.
- Alfken, J. D., 1909: Über einige von Fabricius, Illiger und Erichson benannte *Prosopis* und *Halictus-Arten* (Hym.). Deutsche ent. Zeitschr., 1909, 503-506.
- Alfken, J. D., 1910: Apidologische Studien. Deutsche ent. Zeitschr., 1910, 462-466.
- Alfken, J. D., 1913/14: Beitrag zur Kenntnis der Bienenfauna von Algerien. Mém. Soc. Ent. Belgique, 22, 185-195.
- Alfken, J. D., 1924: Eine neue deutsche *Halictus-*Art. Abh. naturw. Ver. Bremen, 25, 87-88.
- Beaumont, J., 1955: Hyménoptères des environs de Neuchâtel. Deuxième Partie.

 Bull. Soc. neuch. Sc. nat., 78, 17-30.
- Beaumont, J., 1960: Apidés de Suisse romande (Hym.). Bull. Soc. Vaud. Sc. Nat., 67, 349-356.
- Bonelli, B., 1954: Osservationi biologiche sull' Halictus minutus Sch. Boll. Soc. entomol. ital., 84, 1-2, 18-21.
- Bonelli, B., 1954: Osservationi biologiche sull' *Halictus leucozonius* Sch. Boll. Soc. entomol. ital., 84, 5-6, 72-78.
- Blüthgen, P., 1918 a: Eine neue deutsche Halictusart (Hal. viridiaeneus nov. spec.) (Hym.). Deutsche ent. Zeitschr., 1918, 272–276.
- Blüthgen, P., 1918 b: Die *Halictus*-Arten der Sammlung von Prof. Kirschbaum (Wiesbaden). Zwei neue deutsche Halictus (*H. Kirschbaumi* und oblongatulus nov. spec.) (Hym.). Anhang: Neue oder wenig bekannte deutsche *Halictus*-Arten. Jahrb. Ver. Naturk. Nassau, 71, 191–225.
- Blüthgen, P., 1919: Wenig bekannte deutsche *Halictus*-Arten (Hym.). Deutsche ent. Zeitschr., 1919, 257-270.
- Blüthgen, P., 1920: Die deutschen Arten der Bienengattung Halictus Latr. (Hym.).

 Deutsche ent. Zeitschr., 1920, 81-132, 267-302.
- Blüthgen, P., 1921: Die schweizerischen Halictus-Arten der Frey-Gessnerschen Sammlung (Hym., Apidae). Mitt. Schweiz. ent. Ges., 13, 122-143.
- Blüthgen, P., 1922: Beiträge zur Synonymie der Bienengattung Halictus LATR. Deutsche ent. Zeitschr., 1922, 46-66, 316-321.
- Blüthgen, P., 1923 a: Beiträge zur Kenntnis der Bienengattung Halictus Latr. Arch. Naturg. A, 89, H. 5, 232–332.

- Blüthgen, P., 1923 b: Algunos "Halictus" de Marruecos (Hym. Apidae). Mem. Soc. Espan. Hist. nat., 12, 251—262.
- Blüthgen, P., 1923 c: Beiträge zur Systematik der Bienengattung Halictus LATR. (Hym.). Konowia, 2, 65-81, 123-142.
- Blüthgen, P., 1923 d: Nota sobre "Halictus" des Canarias y Espana (Hym. Apidae). Bol. Soc. Hist. nat. Espan., 23, 18-19.
- Blüthgen, P., 1923 e: Beiträge zur Synonymie der Bienengattung Halictus LATR. III. Deutsche ent. Zeitschr., 1923, 239-242.
- Blüthgen, P., 1924 a: Notas sobre "Halictus" paleárticos (Hymenopt. Apidae). Bol. Soc. Hist. nat. Espan., 24, 262–266.
- Blüthgen, P., 1924 b: Contributión al conocimiento de las especies espanolas de "Halictus" (Hymenoptera Apidae). Mem. Soc. Espan. Hist. nat., 11, 351-544.
- Blüthgen, P., 1924 c: Beiträge zur Systematik der Bienengattung Halictus LATR. (Hym.). II. Die Gruppe des Hal. albipes F. Konowia, 3, 53-64, 76-95, 253-284.
- Blüthgen, P., 1925: Beiträge zur Kenntnis der Bienengattung Halictus LATR. II. Arch. Naturg. A, 90, H. 10, 86-136.
- Blüthgen, P., 1926 a: Beiträge zur Kenntnis der indomalayischen *Halictus* und *Thrinchostoma*-Arten (Hym. Apidae. Halictinae). Zool. Jb. Syst., 51, 375–698.
- Blüthgen, P., 1926 b. Beiträge zur Synonymie der Bienengattung Halictus LATR. IV. Deutsche ent. Zeitschr., 1925, 385-419 (1926).
- Blüthgen, P., 1926 c: Beiträge zur Synonymie der Bienengattung Halictus Latr. V. (Hym. Apid.). Deutsche ent. Zeitschr., 1926, 348-352.
- Blüthgen, P., 1929: Neue turkestanische *Halictus*-Arten (Hym. Apidae). Konowia, **8**, 51-86.
- Blüthgen, P., 1930 a: Halictus Latr. (p. 729-767) in: Schmiedeknecht, O., Die Hymenopteren Nord- und Mitteleuropas, Jena, 1930.
- Blüthgen, P., 1930 b: Beiträge zur Synonymie der Bienengattung Halictus LATR. VI. Mitt. Dtsch. ent. Ges., 1, 70-77.
- Blüthgen, P., 1930 c: Neue oder wenig bekannte *Halictus*-Arten aus Nordafrika, insbesondere aus der Cyrenaica (Hym. Apidae). Mem. Soc. ent. Ital., 9, 215-227.
- Blüthgen, P., 1931 a: Beiträge zur Synonymie der Bienengattung Halictus LATR. VII. (Hym. Apid.). Deutsche ent. Zeitschr., 1930, 209-215.
- Blüthgen, P., 1931 b: Beiträge zur Kenntnis der Bienengattung Halictus Latr. III.

 Mitt. zool. Mus. Berlin, 17, 319-398.
- Blüthgen, P., 1933 a: Neue paläarktische *Halictus*-Arten (Hym., Apidae). I. Grüne Binden-Halictus. Deutsche ent. Zeitschr., **1933**, 72-80.
- Blüthgen, P., 1933 b: Ein Beitrag zur Kenntnis der Bienenfauna Ägyptens (Hymenoptera: Apidae Halictidae Halictinae). Bull. Soc. ent. Egypte, 17, 14–27.
- Blüthgen, P., 1933 c: Halictus Latr. (p. 52-59) in: Nadig, A., sen. et jun. Beitrag zur Kenntnis der Hymenopterenfauna von Marokko und Westalgerien.

- Erster Teil: Apidae, Sphegidae, Vespidae. Jber. naturf. Ges. Graubünden, 71, 38-107.
- Blüthgen, P., 1934 a: Beiträge zur Synonymie der Bienengattung Halictus LATR. IX. Deutsche ent. Zeitschr., 1933, 299–304 (1934).
- Blüthgen, P., 1934 b: Zweiter Beitrag zur Kenntnis der Halictinenfauna Ägyptens (Hymenoptera: Apidae Halictidae Halictinae). Bull. Soc. ent. Egypte, 18, 188–201.
- Blüthgen, P., 1934 c: Neue turkestanische *Halictus*-Arten. II (Hym. Apidae). Konowia, 13, 145–159.
- Blüthgen, P., 1934 d: Schwedisch-chinesische wissenschaftliche Expedition nach den nordwestlichen Provinzen Chinas unter Leitung von Dr. Sven Hedin und Prof. Sü Ping-Chang. Insekten, gesammelt vom schwedischen Arzt der Expedition Dr. David Hummel 1927–1930. 27. Hymenoptera. 5. *Halictus* und *Sphecodes*-Arten (Hym.; Apidae; Halictini). Ark. Zool., 27, A, No. 13, 1–23.
- Blüthgen, P., 1935 a: Hymenoptera. Apidae prop. (p. 3 in:) Sjöstedt, Yngve. Entmologische Ergebnisse der Schwedischen Kamtschatka-Expedition 1920-22.
 37. Abschluß und Zusammenfassung. Ark. Zool., 28, A, No. 7, 1-19.
- Blüthgen, P., 1935 b: Neue paläarktische *Halictus-Arten (Hym., Apidae).* Deutsche ent. Zeitschr., **1935**, 111-120.
- Blüthgen, P., 1936: Neue paläarktische Binden-Halictus (Hym. Apidae). Mitt. zool. Mus. Berlin, 21, 270—313.
- Blüthgen, P., 1937 a: Halictinae (Hymenoptera; Apidae) von den Kanarischen Inseln. Comment. Biol., 6, Nr. 11, 1-11.
- Blüthgen, P., 1937 b: Neue Halictini aus Cypern (Hym., Apidae, Halictinae.). Konowia, 16, 41–54.
- Blüthgen, P., 1937 c: 2. Die Gattung *Halictus* Latr. (p. 103-106 in:) Alfken, J. D. und Blüthgen, P. Ergebnisse der österreichischen Demawend-Expedition 1936. Apidae, ausschließlich Bombus-Arten. Konowia, 16, 97-106.
- Blüthgen, P., 1944: Neue oder für Deutschland neue Bienen und Wespen und neue deutsche Fundorte einiger Arten (Hym. Apid., Specid., Vespid.). Mitt. Dtsch. ent. Ges., 12, 24-31.
- Blüthgen, P., 1949: Neues oder Wissenswertes über mitteleuropäische Aculeaten und Goldwespen. Beitr. tax. Zool., 1, 77–100.
- Blüthgen, P., 1955: The Halictinae (Hymen., Apoidea) of Israel. I. Genus Halictus (subgenera Halictus s. str. and Thrincohalictus). Bull. Res. Council Israel, 5, 5–23.
- Blüthgen, P., 1958 a: Ergänzung der Fauna Schwedens an Arten der Gattung Halictus Latr. (Hym., Apoidea, Halictinae). Opusc. Ent., 23, 192-195.
- Blüthgen, P., 1958 b: Halictinae (Hym., Apoidea) und Diploptera (Hym.) von den Kararischen Inseln. Comment. Biol., 18, 6, 1—13.
- Blüthgen, P., 1961: Ergebnisse der Deutschen Afghanistan-Expedition 1956 der Landessammlungen für Naturkunde Karlsruhe. Diploptera und Apoidea (partim) (Hymenoptera). Beitr. naturk. Forsch. SW-Deutschl., 19, 277–287.
- Ceballos, G., 1956: Catalogo de los Himenopteras de Espana. Instituto Espanol de Entomologia, Madrid. Halictini 416-431.

- Cockerell, T. D. A., 1937: African Bees of the Genera Ceratina, Halictus and Megachile. Printed by order of the trustees of the British Museum, London.
- Commission of Zoological Nomenclature, 1950: Halictus aegyptiellus, a trivial name published conditionally... Bull. Zool. Nomencl., 4, 256.
- Dalla Torre, K., 1877: Die Apiden Tirols (Fortsetzung und Schluß). Zeitschr. Ferdinand. f. Tirol und Vbg., III. F., 21. H., 176-184.
- Dalla Torre, K., 1896: Catalogus Hymenopterorum, Tom. X., Apidae, Halictus, 51-92.
- Eidmann, H., 1935: Zur Kenntnis der Insektenfauna von Südlabrador. Arb. morph. tax. Ent., 2, 104.
- Gussakovskij, V., 1932: Verzeichnis der von Herrn R. Malaise im Ussuri und Kamtschatka gesammelten Aculeaten Hymenopteren. Ark. Zool., 24, A, 63-64.
- Hamann, H. H. F., 1960: Der Mönchgraben vor dem Bau der Autobahn. Naturk. Jahrb. Linz, 1960, 113–244.
- Hamann, H. H. F. und Koller, F., 1956: Die Wildbienen der Linzer Umgebung und ihre Flugpflanzen. Naturk. Jahrb. Linz, 1956, 327-361.
- Horn, W. und Kahle, I., 1935-37: Über entomologische Sammlungen, Entomologen und Entomomuseologie. Ent. Beihefte 2-4.
- Internationale Regeln für die zoologische Nomenklatur, 1962: Herausgegeben von der Senckenberg, naturf. Ges. Frankfurt/M.
- Knerer, G., 1968: Zur Bienenfauna Niederösterreichs: Die Unterfamilie Halictinae. Zool. Anz., 181, 82-117.
- Knerer, G. u. Atwood, C. E., 1962: An annotated check list of the non-parasitic Halictidae (Hymenoptera) of Ontario. – Proc. Entomol. Soc. Ont., 92, 160-176.
- Knerer, G. u. Atwood, C. E., 1964 a: Description of the Male of *Dialictus novascotiae* Mitchell and of the Female of *D.sandhouseae* (Michener) (Hymenoptera, Halictidae). Entomol. News, 75, 5-8.
- Knerer, G. u. Atwood, C. E., 1964 b: Further Notes on the Genus Evylaeus ROBERTSON (Hymenoptera: Halictidae). Canad. Entomol., 96, 957—962.
- Knerer, G. u. Atwood, C. E., 1966 a: Polymorphism in Some Nearctic Halictine Bees. Science 152, 1262—1263.
- Knerer, G. u. Atwood, C. E., 1966 b. Additional Descriptions in the Genus Dialictus Robertson (Hymenoptera: Halictidae). — Canad. Ent., 98, 881-887.
- Knerer, G. u. Atwood, C. E., 1967: Parasitization of Social Halictine Bees in Southern Ontario. — Proc. Entomol. Soc. Ont., 97, 103-110.
- Knerer, G. u. Plateaux-Quénu, C., 1966 a: Sur l'importance de l'ouverture des cellules à couvain dans l'evolution des Halictinae (Insectes Hyménoptères) sociaux. – C. R. Acad. Sc. Paris, 263, 1622–1625.
- Knerer, G. u. Plateaux-Quénu, C., 1966 b: Sur le polymorphisme des femelles chez quelques Halictinae (Insectes Hyménoptères) paléarctiques. – C. R. Acad. Sc. Paris, 263, 1759-1761.
- Knerer, G. u. Plateaux-Quénu, C., 1966 c: Sur la polygenie chez les Halictinae
 (Insectes Hyménoptères). C. R. Acad. Sc. Paris, 263, 2014-2017.

- Knerer, G. u. Plateaux-Quénu, C., 1967 a: Sur la production continue ou périodique de couvain chez les Halictinae (Insectes Hyménoptères). C. R. Acad. Sc. Paris, 264, 651-653.
- Knerer, G. u. Plateaux-Quénu, C., 1967 b: Sur la production de mâles chez les Halictinae (Insectes, Hyménoptères) sociaux. – C. R. Acad. Sc. Paris, 264, 1096–1099.
- Knerer, G. u. Plateaux-Quénu, C., 1967 c: Usurpation de nids étrangers et parasitisme facultatif chez Halictus scabiosae (Rossi) (Insecte Hyménoptère). Insectes Sociaux, Paris, 14, 47-50.
- Knerer, G. u. Plateaux-Quénu, C., 1967 d: Comparaison de la construction et de l'architecture de quelques nids d'*Evylaeus* (Hym., Halictidae) à rayon de cellules. C. R. Acad. Sc. Paris, 265, 455—458.
- Lieftinck, M. A., 1958: A preliminary account of the Bees of the Canary Islands (Hym., Apoidea). Comment. Biol., 18, 1-34.
- Lehmann, W., 1964: Beiträge zur Verbreitung und Systematik von Halictus aeneidorsum Alfken. Beitr. Ent., 14, 59-61.
- Lepeletier, S. F. A., 1841: Histoire Naturelle des Insectes Hyménoptères. Tome second, Paris (Halictus: 262-289).
- Mavromoustakis, G. A., 1950: On the Bees (Hymenoptera, Apoidea) of Cyprus. Part II. Ann. Mag. Nat. Hist., 12/4, 334-354.
- Mavromoustakis, G. A., 1952: On the Bees of Cyprus. Part III. Ann. Mag. Nat. Hist., 12/5, 814-843.
- Mavromoustakis, G. A., 1954: On the Bees of Cyprus. Part V. Ann. Mag. Nat. Hist., 12/7, 578-588.
- Mavromoustakis, G. A., 1955: On the Bees of Cyprus. Part VII. Ann. Mag. Nat. Hist., 12/10, 321-337.
- Mavromoustakis, G. A., 1957: On the Bees of Cyprus. Part VIII. Ann. Mag. Nat. Hist., 12/10, 843-850.
- Mavromoustakis, G. A., 1959: A contribution to our knowledge of the Bees (Hymenoptera, Apoidea) of the Islands of Rhodos (Greece). Part I. Ann. Mag. Nat. Hist., 13/2, 281-302.
- Michener, C. D., 1951: (Halictidae 1104-1120) in: Muesebeck, Krombein and Townes, Hymenoptera of America North of Mexico (Synoptic Catalogue). US-Dep. of Agriculture, Agric. Monogr. Nr. 2., Washington, DC.
- Michener, C. D., 1958: Hymenoptera of America North of Mexico, First Supplement.
- Michener, C. D., 1965: A classification of the Bees of the Australian and South Pacific regions. Bull. Amer. Mus. Nat. Hist., 130 (Halictinae 161-182).
- Mitchell, B., 1960: Bees of the eastern United States. Tech. Bull. N. C. agric. Exp. Sta., 141 (Halictinae 331-468).
- Morawitz, F., 1869: Die Bienen des Gouverments von St. Petersburg. Hor. Soc. Ent. Ross., 6, 21-22.
- Morawitz, F., 1872: Ein Beitrag zur Bienenfauna Deutschlands. Verh. zool. bot. Ges. Wien, 22, 355-388.
- Morawitz, F., 1873: Die Bienenfauna Daghestans. Hor. Soc. Ent. Ross., 10, 34-46.

- Morawitz, F., 1876: (Halictus 216-254) in: Fedtschenko: Reise nach Turkestan (Mellifera II), St. Petersburg Moskau.
- Morawitz, F., 1878: Nachtrag zur Bienenfauna Kaukasiens. Hor. Soc. Ent. Ross., 14, 90-93.
- Morawitz, F., 1886: Insecta in itinere Cl. N. Przewalskii in Asia Centrali novissime lecta. Hor. Soc. Ent. Ross., 20, 29-32.
- Morawitz, F., 1890: Insecta a Cl. G. N. Potanin in China et in Mongolia novissime lecta. Hor. Soc. Ent. Ross., 24, 15-21.
- Morawitz, F., 1892: Hymenoptera aculeta Rossica nova. Hor. Soc. Ent. Ross., 26, 14-17.
- Morawitz, F., 1894: Supplement zur Bienenfauna Turkestans. Hor. Soc. Ent. Ross., 28, 71-77.
- Morawitz, F., 1895: Beitrag zur Bienenfauna Turkmeniens. Hor. Soc. Ent. Ross., 29, 67-70.
- Nadig, A., 1934: Beitrag zur Kenntnis der Orthopteren- und Hymenopteren- fauna von Sardinien und Korsika. Jber. naturf. Ges. Graubünden, 72, 24-25.
- Pérez, J., 1883: Contribution à la faune des Apiaires de France. Act. Soc. Linn. Bord., 37, 256-262.
- Pérez, J., 1890: Catalogue des Mellifères du Sud-Quest. Act. Soc. Linn. Bord., 44, 177-181.
- Pérez, J., 1895: Sur la prétendue Parthénogenèse des Halictus. Act. Soc. Linn. Bord., 48, 145–157.
- Pérez, J., 1895: Espèces nouvelles de Mellifères de Barbarie (Diagnoses préliminaires). Bordeaux ($Halictus\ 51-56$).
- Pérez, J., 1903: Espèces nouvelles de Mellifères. Extrait des Pròces-Verbaux des séances de la Société Linnéenne de Bordeaux, 58, 41-51.
- Pérez, J., 1911: Espèces nouvelles de Mellifères recueillies en Syrie. Bull. Soc. Rouen, 46, 30-49, 77-85.
- Pillich, F., 1936: Die Hymenopterenfauna Simontornyas (Ungarn) II. Kranchers ent. Jahrbuch, 45, 138–144, 147.
- Pittioni, B., 1950: On the insect fauna of Cyprus. Hymenoptera aculeata I. Comment. Biol., 10, 54-60.
- Plateaux-Quénu, C., 1959: Un nouveau type de société d'insectes: Halictus marginatus Brullé (Hym., Apoidea). — Ann. Biol., 35, 325—444.
- Plateaux-Quénu, C., 1962: Biology of Halictus marginatus Brullé. J. apic. Res., 1, 41-51.
- Saunders, E., 1903: Hymenoptera aculeata collected in Madeira and Tenerife. Trans. Ent. Soc., 1903, 213—215.
- Saunders, E., 1904: Hymenoptera aculeata from Majorca and Spain. Trans. Ent. Soc., 1904, 612–652.
- Saunders, E., 1904: Aculeata Hymenoptera collected in Tenerife. Ent. Month. Mag., 2/15, 230-232.
- Saunders, E., 1904: Halictus fulvicornis, Kirb., distinct from H. frey-gessneri = subfasciatus, Nyl. Ent. Month. Mag., 2/15, 250-251.

- Saunders, E., 1908: Hymenoptera Aculeata collected in Algeria. Trans. Ent. Soc., 1908, 184—193.
- Schenk, A., 1853: Nachtrag zu der Beschreibung nassauischer Bienenarten. Jahrb. Ver. Naturk. Nassau, 9, 141–170.
- Schenk, A., 1859 (1861): Die nassauischen Bienen. Jahrb. Ver. Naturk. Nassau, 14, 264–295.
- Schenk, A., 1867/68 (1870): II. Nachtrag. Jahrb. Ver. Naturk. Nassau, 21/22, 301-312.
- Schenk, A., 1875: Aus der Bienenfauna Nassaus. Deutsche ent. Zeitschr., 19, 321-326.
- Schulz, W. A., 1906: Spolia Hymenopterologica. Paderborn.
- Spooner, G. H., 1929: Halictus angusticeps Perk. Ent. month. Mag., 65, 33-34.
- Stöckhert, E., 1923: Über Entwicklung und Lebensweise der Bienengattung Halictus Latr. und ihrer Schmarotzer. Konowia, 2, 48-64, 146-165, 216-247.
- Stöckhert, F. K., 1933: Die Bienen Frankens. Deutsche ent. Zeitschr., 1932, Beiheft, 1-294.
- Stöckhert, F. K., 1954: Fauna Apideorum Germaniae. Abh. bayer. Akad. Wiss., 65. 1-87.
- Strand, E., 1909: Die paläarktischen *Halictus*-Arten des kgl. Zoologischen Museums zu Berlin, z. T. nach Bestimmungen von J. D. Alfken. Arch. Naturg., 75, I, 1, 1–62.
- Strand, E., 1921: Apidologisches (aus dem Museum Berlin), Gen. Halictus Latr. Arch. Naturg. A, 87, H. 3, 273-314.
- Sustera, O., 1958: Übersicht über das System der paläarktischen und mitteleuropäischen Gattungen der Superfamilie Apoidea. Act. Ent. Mus. Nat. Pragae, 32, 460—463.
- Vachal, J., 1903: Étude sur les Halictus d' Amerique (Hym.). Miscellanea Entomologica, 11, 101.
- Vachal, J., 1905: Halictus in: Kohl, F.: Ergebnisse einer naturwissenschaftlichen Reise zum Erdschias-Dagh (Kleinasien). – Ann. Nat. Hofmus. Wien, 20, H. 2, 3, 1-28.
- Viereck, H. L., 1903: Insects of Beulah, New Mexico. Trans. Am. Ent. Soc., 29, 57-58.

Verzeichnis der Art- und infraspezifischen Namen

aegyptiellum II 31 aeneidorsum II 51 albipes III 92 albomaculatum II 35 alpigenum II 60 alpinus I 172 angusticeps III 120 apostoli II 67 asiaticum III 114 aureimontanum II 66

bavaricum II 59 blüthgeni III 110 brevicorne III 107 breviventre II 41 buccale III 117 calceatum III 93 carinthiacus I 167 clypeare III 120 cochlearitarsis I 159 continentale II 51 convexiusculum III 117 corvinum III 105 costulatum II 36 crassepunctatum III 108

dalmaticum II 34 damascenum III 97 danuvium II 57 denislucum III 108 dolichocephalum III 118 duckei II 50

elegans III 117 euboeense III 93 eurygnathus I 161

fasciatus I 173 fudakowskii II 50 fulvicorne III 99 fulvipes I 160

galilaeus I 167 geminatus I 169 glabriusculum III 125 griseolum III 121

hethiticum II 70 hibernicum II 63

illyricum III 111 intermedium III 123 interruptum III 108

kessleri I 170 kussariense II 37

laeve III 105
laevigatum II 43
langobardicus I 164
laterale II 38
laticeps III 98
lativentre II 42
leucopum II 64
leucozonium II 29
limbellum III 107

lineare III 96 lissonotum II 54 lucidulum III 122

maculatus I 160
major II 36
malachurum III 95
mandibulare III 125
marginatum III 91
marginellum III 111
mesosclerum III 116
minutissimum III 122
minutulum III 104
minutum III 103
montivolans II 69
morbillosum II 29
morio II 49

nigripes III 94 nigrum III 99 nitidiusculum III 103 nitidum II 37

obscuratum III 94

pallens II 39 pannonicus I 165 patellatus I 161 patulum III 109 pauperatum III 108 pauxillum III 97 peregrinum III 115 perkinsi I 172 planulum III 116 podolicum II 53 politum III 124 pollinosus I 174 prasinum II 39 pseudocaspicum II 40 pseudomorbillosum II 30 punctatissimum III 121 puncticolle III 105 pygmaeum III 110 pyrenaeus I 164

quadricinctus I 157 quadrinotatulum III 104 quadrinotatum II 41 quadrisignatum III 111 rubicundus I 158 rufitarse III 102

sajoi I 165 scabiosae I 159 scardicus I 168 scoticum II 61 semilucens III 123 semitectus I 170 setulellum III 98 setulosum III 104 sexcinctus I 159 sexmaculatum II 40 sexnotatulum II 40 sexstrigatum III 124 simplex I 164 smaraadulus I 169 smeathmanellum II 52 sphecodimorphum III 115 subauratus I 168 subfasciatum II 38 subhirtum III 95

subhirtum III 95
tarsatum III 124
tataricus I 173
tirolense II 55
transitorium III 116
trichopygum III 126
tricinctum III 98
truncaticolle III 106
tumulorum I 171

veneticus I 162 vestitus I 173 villosulum III 106 viridiaeneum II 65 xanthopum II 43 zonulum II 35

Berichtigungen zu Teil II

Seite 24, zweite Zeile von oben: Das Wort Tergit ist auf Tergit 1 zu ergänzen.

Seite 35, 5: Die Art hat Lasioglossum albocinctum (Luc.), nicht L. albomaculatum (Luc.) zu heißen; eine Revision der Halictus-Arten von Lucas wird demnächst erscheinen.

Seite 66, vierte Zeile von unten: Sternit 6 statt Sternit 5. Seite 67, zweite Zeile von oben: Figur 60 statt Figur 61.

ZOBODAT - www.zobodat.at

Zoologisch-Botanische Datenbank/Zoological-Botanical Database

Digitale Literatur/Digital Literature

Zeitschrift/Journal: Naturkundliches Jahrbuch der Stadt Linz (Linz)

Jahr/Year: 1971

Band/Volume: 17

Autor(en)/Author(s): Ebmer Andreas Werner

Artikel/Article: Die Bienen des Genus Halictus Latr.s.l. im Großraum von

Linz (Hymenoptera, Apidae) Teil 3. 63-156